



การพัฒนาด้านภาวะวิกฤติการขาดน้ำ และการควบคุมการให้น้ำอัตโนมัติโดย  
เก็บข้อมูลเตอร์

วันวิสาข์ จันทร์

วิทยานิพนธ์นี้เป็นส่วนหนึ่งของความสมบูรณ์ของการศึกษาตามหลักสูตร  
ปริญญาวิทยาศาสตรมหาบัณฑิต สาขาวิชาปฐพีศาสตร์  
บัณฑิตวิทยาลัย มหาวิทยาลัยแม่โจ้

พ.ศ. 2555

ลิขสิทธิ์ของมหาวิทยาลัยแม่โจ้



ใบรับรองวิทยานิพนธ์  
บัณฑิตวิทยาลัย มหาวิทยาลัยแม่โจ้  
ปริญญาวิทยาศาสตร์มหาบัณฑิต สาขาปฐพีศาสตร์

ชื่อเรื่อง

การพัฒนาดัชนีภาวะวิกฤติการขาดน้ำ และการควบคุมการใช้น้ำอัตโนมัติโดย  
เก็บข้อมูลเตอร์

โดย

วันวิสาข์ จันทิกา

พิจารณาเห็นชอบโดย

ประธานกรรมการที่ปรึกษา .....

(อาจารย์ ดร.ธีระภรณ์ อินทสาร)

วันที่ 15 เดือน กุมภาพันธ์ พ.ศ. 2555.

กรรมการที่ปรึกษา .....

(ผู้ช่วยศาสตราจารย์ ดร.ปฏิภาณ สุทธิบุตร)

วันที่ 15 เดือน กุมภาพันธ์ พ.ศ. 2555.

กรรมการที่ปรึกษา .....

(รองศาสตราจารย์สมชาย วงศ์ประเสริฐ)

วันที่ 15 เดือน กุมภาพันธ์ พ.ศ. 2555.

ประธานกรรมการประจำหลักสูตร .....

(อาจารย์ ดร.ธีระภรณ์ อินทสาร)

วันที่ 15 เดือน กุมภาพันธ์ พ.ศ. 2555.

บัณฑิตวิทยาลัยรับรองแล้ว

(ผู้ช่วยศาสตราจารย์ ดร.ชาตรุพงษ์ วาฤทธิ์)

คณบดีบัณฑิตวิทยาลัย

วันที่ 15 เดือน ก.พ. พ.ศ. ๒๕๕๕

ชื่อเรื่อง	การพัฒนาดัชนีภาวะวิกฤติการขาดน้ำ และการควบคุมการให้น้ำอัตโนมัติโดยเท็นซิโอมิเตอร์
ชื่อผู้เขียน	นายวันวิสาห์ จันทิกา
ชื่อปริญญา	วิทยาศาสตร์มหาบัณฑิต สาขาวิชาปฐพีศาสตร์
ประธานกรรมการที่ปรึกษา	อาจารย์ ดร.จีรภรณ์ อินทสาร

### บทคัดย่อ

การเกษตรที่ใช้ปัจจัยต่างๆ รวมถึงน้ำตามความต้องการที่แท้จริงอย่างแม่นยำ (precision agriculture) จะทำให้ดัชนการผลิตและผลกระทบต่อภาวะแวดล้อมลดลง การใช้น้ำอย่างแม่นยำย่อมทำให้ประสิทธิภาพการใช้น้ำสูงขึ้น การกำหนดเวลาการให้น้ำชลประทานอย่างเหมาะสมเป็นองค์ประกอบสำคัญอย่างหนึ่งของการใช้น้ำชลประทานอย่างแม่นยำ เมื่อมีการพัฒนาเทคโนโลยีการวัดอุณหภูมิ โดยการวัดรังสี Infrared ที่แผ่ออกจากวัตถุได้อย่างแม่นยำ ทำให้มีแนวคิดที่จะใช้อุณหภูมิของใบหรือเรือนยอดของพืชเป็นดัชนีความเครียดการขาดน้ำของพืช และกำหนดเวลาให้น้ำจากดัชนีความเครียดการขาดน้ำของพืชนี้ ขณะเดียวกันมีการพัฒนาหน่วยควบคุมการให้น้ำโดยเท็นซิโอมิเตอร์ (Tensiometer Control Unit) ที่สามารถเปิดหรือปิดระบบการให้น้ำอัตโนมัติโดยใช้แรงดันน้ำในห้องระดับต่ำคือ  $0.05 - 0.2 \text{ MPa}$  โดยไม่ต้องใช้ไฟฟ้าซึ่งจะทำให้สามารถนำไปใช้ในพื้นที่การเกษตรที่ห่างไกลได้ การศึกษานี้มีวัตถุประสงค์เพื่อศึกษาดัชนีภาวะวิกฤตจากการขาดน้ำของพืช โดยกล้องภาพถ่ายความร้อนด้วยรังสีอินฟราเรด (infrared thermal images) 2 รุ่น และประเมินประสิทธิภาพของ หน่วยควบคุมการให้น้ำโดยเท็นซิโอมิเตอร์ที่สามารถเปิดระบบการให้น้ำอัตโนมัติโดยไม่ใช้พลังงานไฟฟ้า จากผลการทดลองสรุปได้ว่ากล้อง Thermocamera รุ่น VarioCAMHiRes 384 sl (Infratec, Germany) สามารถใช้วัดอุณหภูมิเรือนยอดของพืช เพื่อหาค่าดัชนีความเครียดของน้ำในพืชคำนวณตามวิธีการที่พัฒนาโดย Jones (1999) ได้อย่างมีประสิทธิภาพดีกว่าความนำของปากใบที่วัดโดย porometer รุ่น SC-1 แต่ไม่มีประสิทธิภาพเท่ากับ Thermocamera รุ่น InfraCAM SD (FLIR, Sweden) ซึ่งมีราคาถูกกว่ามาก อาจจะเนื่องจากพื้นที่ในการศึกษานี้เล็กกว่าที่ Thermocamera รุ่น VarioCAMHiRes 384 sl จะวัดอุณหภูมิได้อย่างมีประสิทธิภาพหน่วยควบคุมการให้น้ำโดยเท็นซิโอมิเตอร์ (Tensiometer Control Unit, TCU) ยังมีปัญหาอยู่บ้าง แต่เมื่อแก้ปัญหาแล้ว การควบคุมการให้น้ำก็ทำได้ดี

<b>Title</b>	Development of Stress Index and Automatic Irrigation
	Control by Tensiometer
<b>Author</b>	Mr. Wanwisa Jantika
<b>Degree of</b>	Master of Science in Soil Science
<b>Advisory Committee Chairperson</b>	Dr. Jiraporn Inthasan

## ABSTRACT

Precision agriculture – agriculture with accurately use production factors based on physiological needs of plants, would result in minimized production cost and environmental effects. Precision water usage will increase water usage efficiency. Optimum irrigation scheduling is one important factor in precision irrigation water usage especially when there is development of infrared thermal camera technology for measuring temperature, by precision measuring of crop water stress index (CWSI) in leaves or canopies including the time scheduling of providing water. At the same time, the development of alternative tensiometer control unit (TCU), was able to provide automatic opening and closing of watering system through low water pressure in the pipe system of about 0.05-0.2 MPa which could be operated without electricity, thus could be used in remote areas. This study was aimed at investigating CWSI of controlled plan measures with 2 versions of infrared thermocameras and evaluating the efficiency of non-electric TCU in controlling irrigation scheduling. It was revealed that canopy temperature of the studied plants measured by an infrared thermo-camera, VarioCAMHiRes 384 sl (Infratec, Germany), could be efficiently used for the calculation of CWSI by using the method developed by Jones (1999). The CWSI was more efficient than stomatal conductance measurement by porometer SC-1 in indicating crop water stress. But the above mentioned thermo-camera was considered less efficient than the much cheaper thermocamera, InfraCAM SD (FLIR, Sweden). The probable explanation might be that the studied area in this study was too small for the VarioCAMHiRes 384 sl camera to measure temperature. Although the newly developed non-electric TCU had some problems, however, after the fixing of the problems, it worked well as expected.

## กิตติกรรมประกาศ

ข้าพเจ้าขอขอบพระคุณอาจารย์ ดร.จีรากร พันธ์ อินทสาร ประธานกรรมการที่ปรึกษา  
วิทยานิพนธ์ ที่ให้คำปรึกษา และแนะนำ ตลอดจนการตรวจเล่มวิทยานิพนธ์ และขอขอบพระคุณ  
รองศาสตราจารย์ สมชาย องค์ประเสริฐ เป็นอย่างยิ่งที่ได้ให้ความรู้ คำปรึกษาและแนะนำโดย  
ตลอดตั้งแต่เริ่มต้นทำวิทยานิพนธ์ จนวิทยานิพนธ์เล่มนี้เสร็จสมบูรณ์ และ ขอขอบพระคุณ ผู้ช่วย  
ศาสตราจารย์ ปฏิภาน สุทธิกุลบุตร กรรมการที่ปรึกษาวิทยานิพนธ์ ที่ให้คำปรึกษาและเสนอ  
แนวความคิดที่เป็นประโยชน์ในการเขียนเล่มวิทยานิพนธ์ให้เสร็จสมบูรณ์

ขอขอบพระคุณ คณาจารย์ และบุคลากรสาขาวิชาทรัพยากรดินและสิ่งแวดล้อมทุก  
ท่านที่กรุณาให้ความช่วยเหลือ และอำนวยความสะดวกในการทำวิทยานิพนธ์ครั้งนี้

ขอขอบพระคุณ Dr. Wolfram Speer และโครงการอัพเพนด์ โปรดเกรน ที่ให้ความรู้  
คำแนะนำทางด้านภาพถ่ายรังสีอินฟราเรด และการแปลงข้อมูลของอุณหภูมิใบพืช และงบประมาณ  
สนับสนุนการทำวิทยานิพนธ์

ขอขอบพระคุณ อาจารย์ วินัย วิริยะอลงกรณ์ ที่ให้ความรู้และความช่วยเหลือใน  
การเก็บข้อมูลต่างๆในการทำวิทยานิพนธ์ครั้งนี้

สุดท้ายนี้ข้าพเจ้าขอกราบขอบพระคุณ คุณพ่อคุณแม่ ที่สนับสนุนด้านค่าใช้จ่ายใน  
การศึกษา และให้กำลังใจมาโดยตลอดที่ผ่านมา

วันวิสาข จันพิกา  
ตุลาคม 2555

## สารบัญ

	หน้า
บทคัดย่อ	(3)
<b>ABSTRACT</b>	(4)
กิตติกรรมประกาศ	(5)
สารบัญ	(6)
สารบัญตาราง	(8)
สารบัญภาพ	(10)
สารบัญตารางผนวก	(13)
<b>บทที่ 1 บทนำ</b>	1
วัตถุประสงค์ของงานวิจัย	2
<b>บทที่ 2 การตรวจเอกสาร</b>	3
ความเครียดจากการขาดน้ำของพืช	3
วิธีวัดความเครียดจากการขาดน้ำของพืช	3
การถ่ายภาพความร้อนด้วยรังสีอินฟราเรด	6
ทฤษฎีการกำหนดค่าวิกฤติของน้ำในพืชจากอุณหภูมิใน	6
การวิจัยในการใช้ดัชนีความเครียดน้ำของพืชในการให้น้ำกับพืชต่างๆ	10
การวัดความชื้นดินโดยใช้ tensiometer	11
ชลประทานอัตโนมัติ (Irrigation Automation)	11
<b>บทที่ 3 คุณภาพและวิธีการ</b>	13
การจัดเตรียมอุปกรณ์พื้นฐานสำหรับการทดลองทุกการทดลอง	13
การวางแผนการทดลองที่ 1 การศึกษาดัชนีภาวะวิกฤตจากการขาดน้ำของ	
ผักบุ้งโดยใช้กล้อง Thermocamera รุ่น InfraCAM SD (FLIR, Sweden)	19
การวางแผนการทดลองที่ 2 การศึกษาดัชนีภาวะวิกฤตจากการขาดน้ำ	
ของผักบุ้งโดยใช้กล้อง Thermocamera รุ่น VarioCAM HiRes 384 sI	
(Infratec, Germany)	22
การวางแผนการทดลองที่ 3 การทดสอบประสิทธิภาพของ Tensiometer	
Control Unit (TCU) ในการควบคุมการให้น้ำ	24

	หน้า
<b>บทที่ 4 ผลการวิจัยและการวิเคราะห์</b>	<b>26</b>
ผลการทดลองที่ 1 การศึกษาดัชนีความเครียดน้ำของพืชของผักบุ้ง <sup>*</sup> โดยใช้กล้อง Thermocamera รุ่น InfraCAM SD (FLIR, Sweden)	26
ผลการทดลองที่ 2 การศึกษาดัชนีความเครียดน้ำของพืชของผักบุ้ง <sup>*</sup> โดยใช้กล้อง Thermocamera รุ่น VarioCAM HiRes 384 sl (InfraTec, Germany)	47
ผลการทดลองที่ 3 การทดสอบประสิทธิภาพของ Tensiometer Control Unit (TCU)	66
<b>บทที่ 5 สรุปผลการวิจัย</b>	<b>75</b>
การทดลองที่ 1 การศึกษาดัชนีความเครียดน้ำของพืชของผักบุ้ง <sup>*</sup> ใช้กล้อง Thermocamera รุ่น InfraCAM SD (FLIR, Sweden)	75
การทดลองที่ 2 การศึกษาดัชนีความเครียดของน้ำในพืชของผักบุ้ง โดยใช้กล้อง Thermocamera รุ่น VarioCAM HiRes 384 sl (InfraTec, Germany)	76
การทดลองที่ 3 การทดสอบประสิทธิภาพของ Tensiometer Control Unit (TCU)	77
บรรณานุกรม	78
ภาคผนวก	81
ภาคผนวก ก ตารางผนวก	82
ภาคผนวก ข ประวัติผู้วิจัย	101

## สารบัญตาราง

ตาราง	หน้า
1 การจำแนกคิน สถานที่เก็บตัวอย่างคิน และประวัติการใช้พื้นที่	13
2 คุณสมบัติทางเคมีของคิน	14
3 คุณสมบัติทางกายภาพที่ความลึก 0-20 ซม.	15
4 ข้อมูลจำเพาะของกล้อง	21
5 สภาพภูมิอากาศในโรงเรือน ระหว่างการทดลองที่ 1	26
6 อุณหภูมิใบและความนำของปากใบของผักบุ้งปลูกในชุดคินน้ำพอง	30
7 อุณหภูมิใบและความนำของปากใบของผักบุ้งปลูกในชุดคินน้ำพาเชิงช้อน	31
8 อุณหภูมิใบและความนำของปากใบของผักบุ้งปลูกในชุดคินคอбыปุบ	32
9 ดัชนีความเครียดของน้ำในพืช (CWSI) จากอุณหภูมิใบ วันที่ 1-3 ของการทดลองที่ 1	33
10 ดัชนีความเครียดของน้ำในพืช (CWSI) จากอุณหภูมิใบ วันที่ 4-6 ของการทดลองที่ 1	34
11 ดัชนีความเครียดของน้ำในพืช (CWSI) จากอุณหภูมิใบ วันที่ 7-9 ของการทดลองที่ 1	34
12 ดัชนีความเครียดของน้ำในพืช (CWSI) จากอุณหภูมิใบ วันที่ 10-12 ของการทดลองที่ 1	35
13 ความนำของปากใบของพืช ( $\text{mmol}/\text{m}^2 \text{s}$ ) วันที่ 1-3 ของการทดลองที่ 1	37
14 ความนำของปากใบของพืช ( $\text{mmol}/\text{m}^2 \text{s}$ ) วันที่ 4-6 ของการทดลองที่ 1	37
15 ความนำของปากใบของพืช ( $\text{mmol}/\text{m}^2 \text{s}$ ) วันที่ 7-9 ของการทดลองที่ 1	38
16 ความนำของปากใบของพืช ( $\text{mmol}/\text{m}^2 \text{s}$ ) วันที่ 10-12 ของการทดลองที่ 1	38
17 ความเครียดเมทริก (metric suction) ของความชื้นดินเป็นรายวันในแปลง ที่ถูกงดให้น้ำ	42
18 สภาพภูมิอากาศระหว่างการทดลองที่ 2	47
19 อุณหภูมิใบและความนำของปากใบของผักบุ้งปลูกในชุดคินน้ำพอง	50
20 อุณหภูมิใบและความนำของปากใบของผักบุ้งปลูกใน ชุดคินตะกอนน้ำพาเชิงช้อน	51

ตาราง	หน้า
21 อุณหภูมิในและความนำของปากใบของผักบูงปลูกในชุดคินดอยปุย	52
22 ค่าดัชนีความเครียดน้ำของพืช (CWSI) วันที่ 1-3 ของการทดลองที่ 2	53
23 ค่าดัชนีความเครียดน้ำของพืช (CWSI) วันที่ 4-6 ของการทดลองที่ 2	53
24 ค่าดัชนีความเครียดน้ำของพืช (CWSI) วันที่ 7-9 ของการทดลองที่ 2	54
25 ความนำของปากใบของพืช ( $\text{mmol/m}^2\text{s}$ ) วันที่ 1-3 ของการทดลองที่ 2	56
26 ความนำของปากใบของพืช ( $\text{mmol/m}^2\text{s}$ ) วันที่ 4-6 ของการทดลองที่ 2	56
27 ความนำของปากใบของพืช ( $\text{mmol/m}^2\text{s}$ ) วันที่ 7-9 ของการทดลองที่ 2	57
28 ความเครียดเมทริก (metric suction) ก่อนให้น้ำ จากแปลงควบคุมและ แปลงวิกฤติ	61
29 ปริมาณน้ำที่ให้ดื่มระบบทดลอง	71
30 น้ำหนักสดของกล้าม	73

## สารบัญภาพ

ภาพ	หน้า	
1	ภาพแผนผังแปลงทดลองค้านบนของแปลงทดลอง	15
2	ภาพค้านข้างแปลงทดลอง และการบรรจุนิรยีงเป็นชั้น ตามธรรมชาติ	15
3	แผนผังการติดระบบน้ำ	17
4	ภาพองค์ประกอบหลักของ TCU	17
5	การควบคุมการให้น้ำด้วย TCU	18
6	ภาพถ่ายกล้องถ่ายรังสีความร้อนทั้ง 2 ชนิด	21
7	การปลูกผักบุ้งเจ็นเป็นพืชทดลองของการทดลองที่ 1 และ 2 (พร้อมตัวชุดเครื่องมือตรวจอากาศ weather station)	23
8	การปลูกกระหลาทดลอง	25
9	การออกแบบการทดลองระบบให้น้ำกระบวนการทดลอง	25
10	ภาพถ่ายของแปลงผักบุ้งในชุดคืนน้ำพอง เมื่อวันที่ 9 กุมภาพันธ์ 2554 เวลา 12.00 น.	27
11	ภาพถ่ายของแปลงผักบุ้งในคืนตะกอนน้ำพาเขิงซ้อน เมื่อวันที่ 12 มีนาคม 2554 เวลา 12.00 น.	28
12	ภาพถ่ายของแปลงผักบุ้งใน ชุดคืนโดยปุ๋ยเมื่อวันที่ 11 มีนาคม 2554 เวลา 12.00 น.	29
13	แนวโน้มของค่าดัชนีความเครียคน้ำของพืชของแปลงที่ให้น้ำเต็มที่เปรียบเทียบ กับแปลงที่หยุดการให้น้ำรายวันเฉลี่ย 3 คืน	36
14	ความนำของปากใบ พีช (Stomata Conductance) ของแปลงที่ให้น้ำเต็มที่ เปรียบเทียบกับแปลงที่หยุดการให้น้ำรายวันเฉลี่ย 3 คืน	39
15	ความสัมพันธ์ ดัชนีความเครียคน้ำของพืช กับ ความนำของปากใบ ในชุดคืนน้ำพอง	40
16	ความสัมพันธ์ ดัชนีความเครียคน้ำของพืช กับ ความนำของปากใบ ในคืนตะกอนน้ำพาเขิงซ้อน	40
17	ความสัมพันธ์ ดัชนีความเครียคน้ำของพืช กับ ความนำของปากใบ ในชุดคืนโดยปุ๋ย	41

ภาค	หน้า
18 ความสัมพันธ์ระหว่าง ดัชนีความเครียดนำของพืช กับ ความเครียดเมททริกของดินแต่ละชุดคิดจากแปลงวิกฤติของ ชุดดินน้ำพอง	43
19 ความสัมพันธ์ระหว่าง ดัชนีความเครียดนำของพืช กับ ความเครียดเมททริกของดินแต่ละชุดคิดจากแปลงวิกฤติของ ดินตะกอนน้ำพาเชิงช้อน	43
20 ความสัมพันธ์ระหว่าง ดัชนีความเครียดนำของพืช กับ ความเครียดเมททริกของดินแต่ละชุดคิดจากแปลงวิกฤติของ ชุดดินคออยปุย	44
21 ความสัมพันธ์ ความนำของปากใบของพืช กับ ความเครียดเมททริกในชุดดินน้ำพอง	45
22 ความสัมพันธ์ ความนำของปากใบของพืช กับ ความเครียดเมททริกในดินตะกอนน้ำพาเชิงช้อน	45
23 ความสัมพันธ์ ความนำของปากใบของพืช กับ ความเครียดเมททริกในชุดดินคออยปุย	46
24 ภาพถ่ายจากกล้อง Thermocamera รุ่น VarioCAM HiRes 384 s1	48
25 แนวโน้มของค่าดัชนีความเครียดนำของพืชของแปลงที่ให้น้ำเต็มที่เปรียบเทียบกับแปลงที่หดดูการให้น้ำเฉลี่ย 3 ดินรายวัน	55
26 ความนำของปากใบ (Stomata Conductance) ของแปลงที่ให้น้ำเต็มที่เปรียบเทียบกับแปลงที่หดดูการให้น้ำรายวันเฉลี่ย 3 ดิน	58
27 ความสัมพันธ์ระหว่าง ดัชนีความเครียดนำของพืชกับความนำปากใบของพืช วิกฤติ ในชุดดินน้ำพอง	59
28 ความสัมพันธ์ระหว่าง ดัชนีความเครียดนำของพืชกับความนำปากใบของพืช ในดินตะกอนน้ำพาเชิงช้อน	59
29 ความสัมพันธ์ระหว่าง ดัชนีความเครียดนำของพืชกับความนำปากใบของพืช ในชุดดินคออยปุย	60
30 ความสัมพันธ์ระหว่าง ดัชนีความเครียดนำของพืชกับความเครียดเมททริกจากแปลงวิกฤติในชุดดินน้ำพอง	62
31 ความสัมพันธ์ระหว่าง ดัชนีความเครียดนำของพืชกับความเครียดเมททริกจากแปลงวิกฤติในดินตะกอนน้ำพาเชิงช้อน	62
32 ความสัมพันธ์ระหว่าง ดัชนีความเครียดนำของพืชกับความเครียดเมททริกจากแปลงวิกฤติในชุดดินคออยปุย	63

ภาค	หน้า
33 ความสัมพันธ์ ความนำของปากใบกับ ความเครียดเมททริก ในชุดคินน้ำพอง	64
34 ความสัมพันธ์ ความนำของปากใบกับ ความเครียดเมททริก ในชุดคินน้ำพองคินตะกอนน้ำพาเชิงซ้อน	64
35 ความสัมพันธ์ ความนำของปากใบกับ ความเครียดเมททริก ในชุดคินน้ำพองชุดคินดอยปุย	65
36 ความเครียดของความชื้นคินและการปิดเปิดประคุน้ำของระบบดอยปุย ระหว่าง 12 -17 มีนาคม 2553	66
37 ความเครียดของความชื้นคินและการปิดเปิดประคุน้ำของระบบดอยปุย ระหว่าง 17 -30 มีนาคม 2553	67
38 ความเครียดของความชื้นคินและการปิดเปิดประคุน้ำของระบบดินดอยปุย ระหว่าง 30 มีนาคม – 8 เมษายน 2553	68
39 ความเครียดของความชื้นคินและการปิดเปิดประคุน้ำของระบบชุดคินน้ำพอง ระหว่าง 17 -30 มีนาคม 2553	69
40 ความเครียดของความชื้นคินและการปิดเปิดประคุน้ำของระบบชุดคินน้ำพอง ระหว่าง 30 มีนาคม – 8 เมษายน 2553	69
41 ปริมาณการใช้น้ำสะสม ระหว่างวันที่ 13 กรกฎาคม – 4 สิงหาคม 2553	72
42 ความเครียดของความชื้นคิน จากการให้น้ำทั้ง 2 ระบบ	74

## สารบัญตารางผนวก

ตารางผนวก	หน้า
1      ค่าความชื้นคินที่วัดได้จาก Tensiometer ก่อนให้น้ำ ช่วงก่อนเกิดวิกฤติ และหลังวิกฤติ ของการทดลองที่ 1	83
2      ค่าความชื้นดินที่วัดได้จาก Tensiometer (เซ็นติบาร์) ก่อนให้น้ำ ของการทดลองที่ 2	85
3      ข้อมูลภูมิอากาศรายวันจาก data logger ที่ติดตั้งไว้ ของการทดลองที่ 1	87
4      ข้อมูลน้ำระเหยจากตาดวัดการคายระเหยรายวันของการทดลองที่ 1	90
5      ข้อมูลภูมิอากาศรายวันจาก data logger ที่ติดตั้งไว้ของการทดลองที่ 2	91
6      ข้อมูลน้ำระเหยจากตาดวัดการคายระเหยรายวันของการทดลองที่ 2	93
7      Analysis Two Factors Factorial ของค่านิความเครียดน้ำของพืชเฉลี่ย ของวันที่ 1-3ของการทดลองที่ 1 โดยมีการให้น้ำ (ควบคุม, วิกฤติ) เป็นปัจจัย A และมีความแตกต่างของชุดคิน (ชุดคินน้ำพอง คินตะกอนน้ำพาเขิงซ้อน และชุดคินคอбыปุย) เป็นปัจจัย B	94
8      Analysis Two Factors Factorial ของค่านิความเครียดน้ำของพืชเฉลี่ย ของวันที่ 4-6ของการทดลอง โดยมีการให้น้ำ (ควบคุม, วิกฤติ) เป็นปัจจัย A และมีความแตกต่างของชุดคิน (ชุดคินน้ำพอง คินตะกอนน้ำพาเขิงซ้อน และชุดคินคอбыปุย) เป็นปัจจัย B	94
9      Analysis Two Factors Factorial ของค่านิความเครียดน้ำของพืชเฉลี่ย ของวันที่ 7-9ของการทดลองที่ 1 โดยมีการให้น้ำ (ควบคุม, วิกฤติ) เป็นปัจจัย A และมีความแตกต่างของชุดคิน (ชุดคินน้ำพอง คินตะกอนน้ำพาเขิงซ้อน และชุดคินคอбыปุย) เป็นปัจจัย B	95
10     Analysis Two Factors Factorial ของค่านิความเครียดน้ำของพืชเฉลี่ย ของวันที่ 10-12 ของการทดลองที่ 1 โดยมีการให้น้ำ (ควบคุม, วิกฤติ) เป็นปัจจัย A และมีความแตกต่างของชุดคิน (ชุดคินน้ำพอง คินตะกอนน้ำพาเขิงซ้อน และชุดคินคอбыปุย) เป็นปัจจัย B	95

ตารางผนวก	หน้า
11 Analysis Two Factors Factorial ของความนำของปากใบของพืชเฉลี่ย ของวันที่ 1-3 ของการทดลองที่ 1 โดยมีการให้น้ำ (ควบคุม, วิกฤติ) เป็นปัจจัย A และมีความแตกต่างของชุดคิน (ชุดคินน้ำพอง ดินตะกอนน้ำพาเชิงซ้อน และชุดคินดอยบุญ) เป็นปัจจัย B	96
12 Analysis Two Factors Factorial ของความนำของปากใบของพืชเฉลี่ย ของวันที่ 4-6 ของการทดลองที่ 1 โดยมีการให้น้ำ (ควบคุม, วิกฤติ) เป็นปัจจัย A และมีความแตกต่างของชุดคิน (ชุดคินน้ำพอง ดินตะกอนน้ำพาเชิงซ้อน และชุดคินดอยบุญ) เป็นปัจจัย B	96
13 Analysis Two Factors Factorial ของความนำของปากใบของพืชเฉลี่ย ของวันที่ 7-9 ของการทดลองที่ 1 โดยมีการให้น้ำ (ควบคุม, วิกฤติ) เป็นปัจจัย A และมีความแตกต่างของชุดคิน (ชุดคินน้ำพอง ดินตะกอนน้ำพาเชิงซ้อน และชุดคินดอยบุญ) เป็นปัจจัย B	97
14 Analysis Two Factors Factorial ของความนำของปากใบของพืชเฉลี่ย ของวันที่ 10-12 ของการทดลองที่ 1 โดยมีการให้น้ำ (ควบคุม, วิกฤติ) เป็นปัจจัย A และมีความแตกต่างของชุดคิน (ชุดคินน้ำพอง ดินตะกอนน้ำพาเชิงซ้อน และชุดคินดอยบุญ) เป็นปัจจัย B	97
15 Analysis Two Factors Factorial ของดัชนีความเครียดน้ำของพืชเฉลี่ย ของวันที่ 1-3 ของการทดลองที่ 2 โดยมีการให้น้ำ (ควบคุม, วิกฤติ) เป็นปัจจัย A และมีความแตกต่างของชุดคิน (ชุดคินน้ำพอง ดินตะกอนน้ำพาเชิงซ้อน และชุดคินดอยบุญ) เป็นปัจจัย B	98
16 Analysis Two Factors Factorial ของดัชนีความเครียดน้ำของพืชเฉลี่ย ของวันที่ 4-6 ของการทดลองที่ 2 โดยมีการให้น้ำ (ควบคุม, วิกฤติ) เป็นปัจจัย A และมีความแตกต่างของชุดคิน (ชุดคินน้ำพอง ดินตะกอนน้ำพาเชิงซ้อน และชุดคินดอยบุญ) เป็นปัจจัย B	98
17 Analysis Two Factors Factorial ของดัชนีความเครียดน้ำของพืชเฉลี่ย ของวันที่ 7-9 ของการทดลองที่ 2 โดยมีการให้น้ำ (ควบคุม, วิกฤติ) เป็นปัจจัย A และมีความแตกต่างของชุดคิน (ชุดคินน้ำพอง ดินตะกอนน้ำพาเชิงซ้อน และชุดคินดอยบุญ) เป็นปัจจัย B	99

ตารางผนวก	หน้า
18 Analysis Two Factors Factorial ของความนำของปากใบของพืชแล่ย ของวันที่ 1-3 ของการทดลองที่ 2 โดยมีการให้น้ำ (ความคุณ, วิกฤติ) เป็นปัจจัย A และมีความแตกต่างของชุดคิน (ชุดคินน้ำพอง คินตะกอนน้ำพาเชิงช้อน และชุดคินดอยบุปย์) เป็นปัจจัย B	99
19 Analysis Two Factors Factorial ของความนำของปากใบของพืชแล่ย ของวันที่ 4-6 ของการทดลองที่ 2 โดยมีการให้น้ำ (ความคุณ, วิกฤติ) เป็นปัจจัย A และมีความแตกต่างของชุดคิน (ชุดคินน้ำพอง คินตะกอนน้ำพาเชิงช้อน และชุดคินดอยบุปย์) เป็นปัจจัย B	100
20 Analysis Two Factors Factorial ของความนำของปากใบของพืชแล่ย ของวันที่ 7-9 ของการทดลองที่ 2 โดยมีการให้น้ำ (ความคุณ, วิกฤติ) เป็นปัจจัย A และมีความแตกต่างของชุดคิน (ชุดคินน้ำพอง คินตะกอนน้ำพาเชิงช้อน และชุดคินดอยบุปย์) เป็นปัจจัย B	100

## บทที่ 1

### บทนำ

ความต้องการใช้น้ำเพื่อกิจกรรมแต่ละสาขามีมากขึ้นเรื่อยๆตามปริมาณประชากร และระดับการพัฒนาที่เพิ่มขึ้น ปัจจุบันสาขาก�行เกษตรเป็นกิจกรรมทางเศรษฐกิจที่ใช้ทรัพยากร่น้ำมากที่สุด โดยคิดเป็นประมาณร้อยละ 70 ของความต้องการน้ำทั้งหมดทำให้มีแนวคิดถึงการเกษตรที่มีการใช้ปัจจัยต่างๆ รวมถึงน้ำตามความต้องการแท้จริงอย่างแม่นยำ (*precision agriculture*) การใช้น้ำอย่างแม่นยำจะทำให้ประสิทธิภาพการใช้สูงขึ้น มีผลให้สามารถขยายพื้นที่ชลประทานได้มากขึ้น ด้วยดินทุนน้ำเท่าเดิม การกำหนดเวลาการให้น้ำชลประทานอย่างเหมาะสมเป็นองค์ประกอบสำคัญหนึ่งของการใช้น้ำชลประทานอย่างแม่นยำ การกำหนดเวลาการให้น้ำแก่พืชอย่างเหมาะสมที่ได้รับการพัฒนาและใช้กันแล้วในประเทศไทยเป็นวิธีกำหนดโดยอ้อมผ่านข้อมูลภูมิอากาศและความชื้นดิน การกำหนดเวลาการให้น้ำจากข้อมูลภูมิอากาศใช้แบบจำลองทางคณิตศาสตร์ (*Mathematical models*) เป็นการประเมินความสมดุลของน้ำ (*water balance*) ระหว่างค่าการคายระเหยจริงของพืช (*Actual crop evapotranspiration*) กับความชุกความชื้นที่เป็นประโยชน์ที่ (*Available moisture capacity*) ในเขตราชพืช เมื่อพบว่าการคายระเหยจริงของพืชมากกว่าความชุกความชื้นที่เป็นประโยชน์ที่ในเขตราชพืช ก็ต้องให้น้ำครั้งใหม่แก่พืช

การวัดสถานะความชื้นดินในเขตราชเป็นอิทธิหนঁในกำหนดเวลาการให้น้ำแก่พืช การวัดสถานะความชื้นดินมีทั้งการวัดเป็นปริมาณความชื้นดิน (*soil moisture content*) และการวัดความเครียดของความชื้น (*soil moisture tension*) ด้วยเครื่องมือต่างๆ เช่น neutron moisture meter, time domain reflectometer และ tensiometer เป็นต้น เมื่อพบว่าระดับความชื้นดินต่ำกว่าหรือระดับความเครียดของความชื้นสูงกว่าระดับหนึ่งที่เหมาะสมกับชนิดพืชที่ปลูกในดินชนิดหนึ่ง ก็ต้องให้น้ำแก่พืชก็จะให้น้ำแก่พืช ซึ่งการประเมินความต้องการน้ำโดยอ้อมผ่านข้อมูลภูมิอากาศและความชื้นดิน อาจจะยังไม่เป็นการกำหนดเวลาให้น้ำอย่างแม่นยำตามแนวทางของ *precision agriculture*

มีความพยายามที่จะกำหนดเวลาให้น้ำอย่างแม่นยำโดยการประเมินระดับความเครียดของน้ำในพืช (*crop water stress*) โดยตรง การวัดระดับความเครียดของน้ำในพืช โดยใช้เครื่องมือ เช่น pressure chamber ซึ่งวิธีที่ต้องทำลายตัวอย่างพืช (*intrusive method*) ที่จะต้องทำให้ร้ากว่าที่จะใช้จริงในการวัดอัตราการคายน้ำของพืชผ่านปากใบ ที่เรียก *leaf water concuctance* ด้วยเครื่องมือ leaf porometer สามารถทำได้เร็วขึ้น แต่ก็ยังต้องวัดที่ละใบ และ *leaf water concuctance* ผ่านแบบแผนของใบที่ได้รับแสงอาทิตย์ต่างกันอย่างยิ่ง เมื่อนี่

การพัฒนาเทคโนโลยีการวัดอุณหภูมิของวัตถุต่างๆ โดยการวัดรังสี Infrared ที่แผ่ออกจาก วัตถุ ได้ อย่างแม่นยำ ทำให้มีแนวคิดที่จะใช้อุณหภูมิของใบหรือเรือนยอดของพืชเป็นดัชนีที่แสดงถึงภาวะ วิกฤตจากการขาดน้ำของพืช โดยมีสมมุติฐานว่าเมื่อพืชมีภาวะวิกฤตจากการขาดน้ำ การคายน้ำผ่าน ปากใบของพืชจะลดลง ทำให้อุณหภูมิใบหรือเรือนยอดโดยเฉลี่ยสูงขึ้นจากการประดิษฐ์

Tensiometer ก็เป็นเครื่องมือวัดความเครียดของน้ำในดินชนิดหนึ่ง ที่สามารถ พัฒนาให้เป็นอุปกรณ์ควบคุมการให้น้ำอัตโนมัติ ตามแนวคิด precision agriculture ได้ กำหนดเวลาการให้น้ำจะแตกต่างกันออกไปตามชนิดของพืช พืชที่ไม่ต่อการขาดน้ำก็จะต้องให้น้ำที่ ความเครียดต่ำกว่าพืชที่ไม่ไวต่อการขาดน้ำ TCU ที่มีการพัฒนาจนสามารถใช้ในไร่นาแล้วเป็น TCU ที่ต้องใช้ไฟฟ้าเป็นพลังงานเพื่อเปิดหรือปิดระบบการให้น้ำอัตโนมัติ ซึ่งสามารถใช้ได้ดีใน พื้นที่การเกษตร ใกล้เมืองที่มีไฟฟ้า สถาบันวิศวกรรมเกษตร คณะเกษตรศาสตร์ มหาวิทยาลัยโซเซน ชาร์ม ประเทศไทย ได้พัฒนาเครื่องต้นแบบของหน่วยควบคุมการให้น้ำโดยเท็นซิโอมิเตอร์ (Tensiometer Control Unit, TCU) ที่สามารถเปิดหรือปิดระบบการให้น้ำอัตโนมัติโดยไม่ใช้ พลังงานไฟฟ้า ซึ่งจะทำให้สามารถนำไปใช้ในพื้นที่การเกษตรห่างไกลได้

### วัตถุประสงค์ของงานวิจัย

1. เพื่อศึกษาดัชนีภาวะวิกฤตจากการขาดน้ำของพืชโดยภาพถ่ายความร้อนด้วย รังสีอินฟราเรด (infrared thermal images)
2. เพื่อประเมินประสิทธิภาพของหน่วยควบคุมการให้น้ำโดยเท็นซิโอมิเตอร์ (Tensiometer Control Unit, TCU) ที่สามารถเปิดระบบการให้น้ำอัตโนมัติโดยไม่ใช้พลังงานไฟฟ้า

## บทที่ 2

### การตรวจเอกสาร

#### ความเครียดจากการขาดน้ำของพืช (Crop water stress)

ความเครียดจากการขาดน้ำของพืชเกิดขึ้นเนื่องจากความต้องการการค้าบระเหยน้ำของอากาศมากกว่าอัตราการคูณน้ำของรากพืช ส่งผลให้การค้าบระเหยน้ำของเรือนยอดของพืชลดลง เพราะว่าการเคลื่อนที่ของน้ำทางกายภาพใน xylem ถูกจำกัด (Giuliani et al., 2001) อีกนัยหนึ่งการขาดน้ำหมายถึงภาวะที่ศักย์ของน้ำ (water potential) ของเซลล์ เนื้อเยื่อ หรืออวัยวะของพืชลดลงต่ำกว่าค่าอ้างอิง (reference value) ของศักย์เท่ากับศูนย์ (zero potential) ที่ศักย์ของน้ำในพืชเท่ากับศูนย์ เซลล์แต่ละเซลล์จะต่างเดิมที่ (Slatyer, 1969) การขาดน้ำทำให้ปากใบพืชเปิดแผลลง หรือปิด เพื่อลดการคายน้ำ ขณะเดียวกันก็ทำให้กระบวนการสังเคราะห์แสงลดลง การขาดน้ำของพืชจึงส่งผลให้การเผาผลาญและสรีรวิทยาของพืชถูกรบกวนทำให้การเจริญเติบโต (growth) และพัฒนาการ (development) ของพืชลดลง ความเครียดน้ำของพืชมีผลอย่างมากต่อการเจริญเติบโต และการให้ผลผลิตของพืช ถ้าพืชขาดน้ำในช่วงออกดอกจะทำให้ผลผลิตพืชลดลงเนื่องจากพืชออกดอกได้น้อยลง และพืชบางส่วนอาจจะเหี่ยวจึงส่งผลให้ผลผลิตลดลง (Metin et al., 2005) ถ้าหากพืชเกิดการขาดน้ำในช่วงที่พืชมีการพัฒนาของหัวจะทำให้ผลผลิตของพืชลดลง 50 % (Theodore et al., 2005)

#### วิธีวัดความเครียดจากการขาดน้ำของพืช

วิธีวัดหรือแสดงความเครียดจากการขาดน้ำของพืช มีหลายวิธี เช่น วัดศักย์ของน้ำในพืชโดยตรง วัดสัมประสิทธิ์การเปิดปิดปากใบของพืช และวัดอุณหภูมิในหรือเรือนยอดของพืช เป็นต้น

#### การวัดศักย์ของน้ำในพืชโดยตรง

วัดศักย์ของน้ำในพืชโดยตรงโดย Pressure chamber เป็นวิธีมาตรฐานในการวัดความเครียดน้ำของพืชบางครั้งถูกใช้ในการกำหนดการให้น้ำแก่พืช แต่วิธีนี้เป็นวิธีที่ต้องทำลายตัวอย่างพืชที่ทดสอบ และใช้เวลามาก (Smart et al., 2004 Cited by Grant et al., 2006) แต่วิธีที่นิยมใช้ในปัจจุบันคือวิธีใช้ท่อความดัน (Pressure chamber) ซึ่งไม่จำเป็นต้องมีการควบคุมอุณหภูมิและ

ทำการวัด จึงใช้ได้ดีในสภาพแเปล่งทดลอง เทคนิคของวิธีนี้คือ นำยอดหรือใบพืชจะถูกใส่ในท่อความดันและปลายก้านใบจะโผล่ขึ้นมาเหนืออุกรายหงที่อุดฝ่าท่อความดันความดันในท่อความดันจะถูกเพิ่มขึ้นช้าๆ โดยใช้ก้าช ในต่อเจนซึ่งบรรจุในท่อจนกระทั้งน้ำในพืช (sap) ถูกดันออกมากจากก้านใบวิธีนี้จะทำการวัดได้เร็วคือประมาณ 20-30 ตัวอย่างคือชั่วโมงการสังเกต้น้ำที่ถูกขับออกจากก้านใบนิยมใช้กล้องจูลทรรศน์หรือเลนส์ขยายส่องคู และการใช้ท่อความดันนี้ต้องการความพิถีพิถันในการวัดดังต่อไปนี้คือป้องกันการสูญเสียน้ำจากใบพืชทางการคายน้ำโดยคลุมใบพืชด้วยแผ่นพลาสติกบางๆป้องกันการรั่วของก้าชออกจากท่อความดันซึ่งนักจะพนในการใช้ท่อความดันที่เก่าควรตัดใบหรือก้านใบเพียงครึ่งเดียวเพื่อไม่ทำให้เกิดรอยตัดช้ำและเพื่อลดความคลาดเคลื่อนในการวัดไม่ควรใช้ก้านใบหรือใบที่ขาวเกินไปจะทำให้ค่าที่ได้ต่ำกว่าค่าที่ถูกต้องดังนั้นเพื่อความถูกต้องอัตราความดันที่ใช้ควรควบคุมให้อยู่ระหว่าง 0.003 ถึง 0.005 MPa ต่อวินาที (สาขัณฑ์, 2537)

### การวัดความนำพาใบ

การวัดความนำพาใบของพืชโดย Leaf diffusion porometers เป็นการตรวจสอบการเปิดปิดปากใบของพืชสามารถแสดงถึงความเครียดนำของพืชได้คือเมื่อพืชเครียดค่าสัมประสิทธิ์การเปิดปิดปากใบก็จะน้อย แต่ถ้าไม่เครียดเรื่องยอดของพืชก็จะเปิดปิดใบมากค่าความนำของปากใบจะสูง (Fuchs, 1990) ในบางครั้งวัดความนำของปากใบของพืชถูกใช้ในการควบคุมระยะเวลาการให้น้ำของพืชในการผลิตพืชที่มีคุณภาพสูง เช่น อุ่น แต่อย่างไรก็ตามวิธีแบบเดิมในวัดความนำของปากใบนี้ต้องใช้เวลาและแรงงานมากในการวัดแต่ละครั้ง (Dry et al., 2001)

### การวัดอุณหภูมิพืชด้วย Thermal infrared thermometer

อุณหภูมิใบหรืออุณหภูมิเรือนยอดของพืชโดยรวมสามารถใช้เป็นดัชนีแสดงความเครียดของน้ำในพืช โดยสมมุติฐานที่ว่า การคายน้ำของใบพืชมีผลให้อุณหภูมิใบลดลงต่ำกว่าอุณหภูมิอากาศ แต่เมื่อพืชมีความเครียดจากการขาดแคลนน้ำ การคายน้ำของพืชลดลง อุณหภูมิใบหรือเรือนยอดของพืชโดยรวมจะสูงขึ้นกว่าพืชที่ไม่มีความเครียดจากการขาดแคลนน้ำแนะนำการใช้ Thermo camera ในการวัดอุณหภูมิบริเวณทรงพุ่ม หรืออุณหภูมิใบ ซึ่งในสภาพฯลฯ ค่าน้ำของพืช อุณหภูมิของใบ หรือทรงพุ่มจะสูงขึ้น และอุณหภูมิที่สูงขึ้นนี้จะสัมพันธ์กับค่า ศักย์ของน้ำในใบที่ลดลงด้วย ดังนั้นจึงสามารถใช้เครื่องมือนี้ในการวัดอุณหภูมิของใบพืชเพื่อคำนวณหาค่า CWSI ของ

พืชที่ขาดน้ำในช่วงฤดูปลูกเพื่อที่จะกำหนดการให้น้ำแก่พืชได้เมื่อค่า CWSI ถึงค่าวิกฤตของการขาดน้ำของพืช และเครื่องมือนี้เป็นเครื่องมือที่ใช้ได้สะดวกและรวดเร็วในสภาพแเปล่งปลุก

การปิดทองปากใบภายใต้การขาดน้ำทำให้การหายน้ำขึ้นอย่าง อุณหภูมิใบพืชซึ่งสูงขึ้นดังนั้นอุณหภูมิใบพืช หรืออุณหภูมิเรือนยอดของพืชซึ่งสามารถใช้เป็นค่าวบ่งชี้ความเครียดน้ำของพืชและการปิดเปิดปากใบของพืช นอกจากนี้ภาพถ่ายความร้อนทำให้เก็บข้อมูลอุณหภูมิใบหรือเรือนยอดของพืช ได้รวดเร็วและทั่วพื้นที่ (Grant et al., 2006) วิธีนี้จึงมีความน่าเชื่อถือและได้รับการยอมรับมานานแล้วเนื่องจากไม่มีการตัดหรือรบกวนพืชในการวัดเหมือนการวัดศักย์ของน้ำในพืช และเป็นการวัดในพื้นที่เพียงไม่กี่จุดจากการถ่ายภาพข้อด้อยของวิธีนี้คือในพื้นที่ใหญ่ๆจะมีความแปรปรวนของน้ำในคืนและความหนาแน่นของพืชสูงในการวัดในพื้นที่แค่ในปัจจุบันข้อจำกัดเหล่านี้ได้รับการแก้ไขเพื่อให้สามารถใช้ในพื้นที่การเกษตร ได้อย่างง่ายๆและได้รับการยอมรับมากขึ้น (Evans et al., 2000 Cited by Alchanatis et al., 2010) ภาพถ่ายความร้อนได้ถูกพัฒนาโดยนักวิจัยที่เชี่ยวชาญทำให้แยกอุณหภูมิใบพืชได้แม่นขึ้น อย่างไรก็ตามการทดสอบภาพถ่ายความร้อนกับวิธีทางสรีริวิทยาแบบเดิมภายใต้สภาพพื้นที่ชั้งคงด้องจำเป็นสำหรับชนิดพืชที่แตกต่างกัน ความสัมพันธ์ระหว่างอุณหภูมิใบหรืออุณหภูมิเรือนยอดต่ออุณหภูมิพื้นที่ผิวอ้างอิงจะมีความแปรปรวนของอุณหภูมิอากาศ การแผรังสี และความเร็วลม ดังนั้นความแปรปรวนของสภาพแวดล้อมจึงส่งผลต่อการเพิ่มน้ำหรือลดลงของการปิดเปิดปากใบ (Jones, 1999)

มีความพยายามที่วัดอุณหภูมิใบพืชด้วยวิธีการต่างๆ เช่น ใช้ Thermocouple Psychrometer มากกว่าหนึ่งศตวรรษแล้ว แต่ด้วยข้อจำกัดของวิธีที่วัดต้องแยกเป็นใบๆ ทำให้ไม่สามารถใช้วิธีวัดอุณหภูมิใบเป็นวิธีแสดงภาวะขาดน้ำของพืชได้ เมื่อมีการพัฒนาวิธีวัดอุณหภูมิจาก การแผรังสีอินฟราเรด ซึ่งสามารถวัดอุณหภูมิเรือนยอด จึงสามารถพัฒนาวิธีแสดงภาวะการขาดน้ำของพืชจากอุณหภูมิของใบหรือเรือนยอดของพืช (Tanner, 1963)

### การถ่ายภาพความร้อนด้วยรังสีอินฟราเรด (Infrared thermo-immage)

การถ่ายภาพความร้อนด้วยรังสีอินฟราเรด (Infrared thermo-immage) เป็นเครื่องมือที่สามารถใช้วัดอุณหภูมิในหรืออุณหภูมireือนของพืชได้อย่างมีประสิทธิภาพกว่าเทอร์โมมิเตอร์ต่างๆ โดยสามารถวัดอุณหภูมิในแต่ละใบหรือเรือนของพืชโดยรวม โดยไม่ต้องสัมผัสด้วยตรง หรือวัดได้จากระยะไกล (remote sensing) กล้องถ่ายความร้อนรังสีอินฟราเรดวัดปริมาณรังสีที่แผ่จากพื้นผิวต่ำๆ ซึ่งปริมาณรังสีนี้ความสัมพันธ์กับอุณหภูมิของผิวต่ำๆ ตามกฎ the Stefan-Boltzmann blackbody law (Jackson, 1982)

$$R = \sigma T^4$$

เมื่อ R คือ ปริมาณรังสีที่แผ่จากพื้นผิว ( $\text{W m}^{-2}$ )

$\sigma$  คือ emissivity ของพื้นผิว หรือ Stefan-Boltzmann constant ( $5.674 \times 10^{-8} \text{ W m}^{-2} \text{ K}^{-4}$ )

T คือ อุณหภูมิของพื้นผิว ( $^\circ\text{K}$ )

วัตถุต่างๆ ที่มีอุณหภูมิสูงกว่า  $0^\circ\text{K}$  ต่างมีการแผ่รังสีในย่านความยาวคลื่น 8 ถึง  $13 \mu\text{m}$  ซึ่งเป็นย่านของรังสีอินฟราเรด (infraredradiation) ปริมาณรังสีที่วัดถูกแผ่นน้ำออกผันแปรตามอุณหภูมิ เมื่อแปลงภาพที่ถ่ายด้วยรังสีอินฟราเรดเป็นภาพของรังสีที่มองเห็น (visible spectrum) โดยทั่วไปนักทำเป็นภาพสีเดียว (monochrome) แต่ปัจจุบันนิยมทำเป็นภาพสีเทียม (pseudo-color) โดยส่วนที่อุณหภูมิสูงของภาพแสดงเป็นสีขาว ส่วนที่อุณหภูมิปานกลางแสดงเป็นสีเหลือง และส่วนที่อุณหภูมิต่ำแสดงเป็นสีฟ้า

ทฤษฎีของการกำหนดค่าวิกฤติของน้ำในพืชจากอุณหภูมิใน

Idso et al. (1981) และ Jackson et al. (1981) ได้ตั้งสูตรสำหรับคำนวณกำหนดค่าวิกฤติของน้ำในพืชจากอุณหภูมิใบพืช ซึ่งสูตรประเภท empirical formular ไว้ดังนี้

$$\text{CWSI} = \frac{(T_s - T_{base})}{(T_{max} - T_{base})}$$

เมื่อกำหนดให้

$T_s$  คือค่าอุณหภูมิเรือนยอดพืชที่วัดได้ตามสภาพแวดล้อมหนึ่งๆ

$T_{max}$  คือค่าอ้างอิงอุณหภูมิสูงสุดของเรือนยอดที่เป็นไปได้ตามสภาพแวดล้อมหนึ่งๆ เมื่อใบพืชไม่คายหน้าได้เลย

$T_{base}$  คือค่าอุณหภูมิอ้างอิงต่ำสุดของเรือนยอดที่เป็นไปได้ตามสภาพแวดล้อมหนึ่งๆ เมื่อใบพืชคายหน้าได้เต็มที่ คือปากใบเปิดมากที่สุดและไม่มีภาวะความเครียดของน้ำในพืช

Jones (1999) ได้พัฒนาสูตรคำนวณแบบ empirical formula ขึ้นดังต่อไปนี้ โดยเสริมทฤษฎีสมดุลพลังงานและ aerodynamics ของการเคลื่อนที่ของไอน้ำในอากาศ โดยถ้าแทนอุณหภูมิอ้างอิงของพืชที่ได้รับน้ำดี ใช้เป็นพื้นผิวที่เปียก นำมาสร้างสมการสมดุลพลังงานพื้นฐานเพื่อคำนวณความต้านทานของทรงพุ่มต่อการคายหน้า ค่าตามทฤษฎีของอุณหภูมิใน หรืออุณหภูมิผิวอ้างอิงสามารถคำนวณได้โดยใช้สมการปรับปรุงใหม่ของสมดุลพลังงานของใบ

$$T_l - T_a = \frac{r_{HR}(r_{aw} + r_{lw})\gamma R_{ni}}{\rho C_p [\gamma(r_{aw} + r_{lw}) + S r_{HR}]} - \frac{r_{HR}\delta_e}{\gamma(r_{aw} + r_{lw}) + S r_{HR}} \quad (2)$$

เมื่อกำหนดให้

$T_l - T_a$  คือ ความแตกต่างระหว่างอุณหภูมิใบกับอุณหภูมิอากาศ

$r_{lw}$  คือ ความต้านทานของใบต่อการคายหน้า

$r_{aw}$  คือ ความต้านทานของ leafboundary layer ต่อการคายหน้า

$R_{ni}$  คือ net isothermal radiation

$\delta_e$  คือ การขาดความดันไอของอากาศ

$r_{HR}$  คือ ความต้านทานในแนวนานา ต่อความร้อนและการถ่ายเทการแผ่รังสี

$\gamma$  คือ psychrometric constant

$\rho$  คือ ความหนาแน่นของอากาศ

$C_p$  คือ ความจุความร้อนจำเพาะของอากาศ

$S$  คือ ความชันของกราฟความสัมพันธ์ของความดัน ไออิมตัวกับอุณหภูมิ

สำหรับการวิเคราะห์ leaf boundary layer resistance ต่อการถ่ายโอนความร้อน ( $r_{aH}$ ) เป็นการประมาณโดยใช้สมการ

$$r_{aH} = 100 \sqrt{\left(\frac{d}{U}\right)} \quad (3)$$

เมื่อความด้านท่านาณ superficely นหน่วย s/m และ d คือความเร็วลม (m/s)

สำหรับผิวที่แห้งคุณสมบัติการแพร่รังสีและการไหหลงอากาศจะเหมือนกับการสูญเสียความร้อนที่เหมาะสมซึ่งจะเท่ากับการคูคูชั่นรังสีสุทธิ ดังนั้นใช้หลักการของ net isothermal radiation สามารถประมาณ  $T_{dry}$  จากสมการ

$$T_{max} - T_a = \frac{r_{HR} R_{ni}}{\rho C_p} \quad (4)$$

อุณหภูมิของผิวเปียกกี้เหมือนกัน ( $T_{wet}$ ) สามารถคำนวณได้จากสมการที่ 2 โดยกำหนด  $r_{lw}$  เท่ากับ 0 จะช่วยให้

$$T_{wet} - T_a = \frac{r_{HR} r_{aw} \gamma R_{ni}}{\rho C_p [\gamma(r_{aw}) + S r_{HR}]} - \frac{r_{HR} \delta_e}{\gamma r_{aw} + S r_{HR}} \quad (5)$$

สมการ 4 ลบสมการ 5 และหารโดยความแตกต่างระหว่างสมการ 2 และ 4 ได้สมการ

$$\frac{T_{dry} - T_{wet}}{T_{dry} - T_l} = \frac{r_{lw} + r_{aw} + \left(\frac{S}{\gamma}\right) r_{HR}}{r_{aw} + \left(\frac{S}{\gamma}\right) r_{HR}} \quad (6)$$

ซึ่งสามารถจัดสมการความด้านท่านาณของใบใหม่เป็นสมการ

$$r_{lw} = (r_{aw} + \left(\frac{S}{\gamma}\right) r_{HR}) \frac{(T_l - T_{wet})}{(T_{dry} - T_l)} \quad (7)$$

คุณลักษณะที่สำคัญของสมการ 7 คือ  $r_{lw}$  สามารถพิจารณาได้จากการรวมกันของการวัดอุณหภูมิของใบและเทบกับอุณหภูมิผิวที่เปียกและแห้ง และส่วนนั้นจะขึ้นอยู่กับความต้านทานต่อความร้อน และน้ำที่สูญเสียผ่าน leaf boundary layer เป็นที่น่าสังเกตว่าตัวคูณในสมการนี้เป็นอิสระจากผลกระทบซึ่งรังสีสุทธิหรือการขาดความดันไอน์ของอากาศ และขึ้นอยู่กับอุณหภูมิอย่างอ่อนๆ เพราะว่าส่วน ( $T_{dry} - T_l$ ) ในสมการนี้มีแนวโน้มค่อนข้างน้อย และเป็นความแตกต่างระหว่างสองปริมาณที่ค่อนข้างแปรปรวนในเขตข้อมูล ทำให้สมการนี้ค่อนข้างเสถียรดังนั้นจึงเป็นที่นิยมใช้ในทั่วไป, leaf conductance ( $g_{lw}$ )

$$g_{lw} = \frac{(T_{dry} - T_l)}{\{(T_l - T_{wet})(r_{aw} + (\frac{s}{r})r_{HR})\}} \quad (8)$$

ส่วนมากเราจะใช้การซักน้ำมากกว่าความต้านทานเพื่อวัดรายการระเหยสัมพันธ์กับการซักน้ำอย่างใกล้ชิด นอกจากราดซันพื้นฐานที่กำหนดไว้ในสมการ 1 แล้วสามารถกำหนดโดยใช้สมการอื่น ความเป็นไปได้นั่นคือ ใช้ดัชนีที่คล้ายจาก CWSI แต่แทน  $T_{dry}$  ใน  $T_{max}$  และ  $T_{wet}$  สำหรับ  $T_{base}$

$$CWSI = \frac{(T_l - T_{wet})}{(T_{dry} - T_{wet})} \quad (9)$$

สมการการคำนวณ CWSI ที่ 9 นี้จะเป็นสมการที่ใช้ในการคำนวณดัชนีความเครียดจากการขาดน้ำในการทดลองนี้ (Jackson et al., 1988)

โดย

$T_l$  คือค่าอุณหภูมิเรือนยอดพืชที่วัดได้ตามสภาพแวดล้อมหนึ่งๆ

$T_{wet}$  คือค่าอุณหภูมิต่ำสุดของเรือนยอดที่เป็นไปได้ตามสภาพแวดล้อมหนึ่งๆ เมื่อมีการระเหยน้ำอย่างเต็มที่บนเรือนยอดของพืช ในทางปฏิบัติคือมีการพ่นน้ำเป็นละอองให้เปียกเรือนยอดทั้งหมด

$T_{dry}$  คือค่าอุณหภูมิสูงสุดของเรือนยอดที่เป็นไปได้ตามสภาพแวดล้อมหนึ่งๆ เมื่อใบพืชไม่คายน้ำได้เลยในทางปฏิบัติคือคือใบพืชถูกเคลือบด้วยวารสีนีปิดกั้นการระเหยน้ำโดยสมบูรณ์

## การวิจัยการใช้ดัชนีความเครียดน้ำของพืช(CWSI)ในการให้น้ำกับพืชต่างๆ

Pinter and Reginato (1982) พบความสัมพันธ์ที่ดีขึ้นระหว่าง CWSI ที่คำนวณจากคำนวณจากอุณหภูมิใบพืช อุณหภูมิอากาศ และ vapor pressure deficit กับ ความเครียดของน้ำในไชเดิม (xylem) ของใบฝ่ายที่ปลูกในรัฐอริโซนา สหรัฐอเมริกา อุณหภูมิเรือนยอดวัดโดยกล้องรังสีอินฟราเรดแบบมือถือ ( $10.5 - 12.5 \mu\text{m}$  band) ความเครียดของน้ำในไชเดิม (xylem) ของใบฝ่ายวัดโดยเครื่องมือ pressure bomb จากความสัมพันธ์ที่ดีดังกล่าว Pinter and Reginato (1982) จึงเสนอให้ใช้ค่า CWSI เป็นดัชนีกำหนดเวลาให้น้ำแก่ฝ่ายที่ปลูกในพื้นที่ ซึ่งใช้วิธีกำหนดเวลาให้น้ำโดยใช้ข้อมูลภูมิอากาศ

Yuan et al. (2004) พบว่าสูตรของ Idso et al. (1981) และ Jackson et al. (1981) ซึ่งสูตรประเภท empirical formula ไม่เหมาะสมกับที่จะใช้ข้าวสาลีที่ปลูกในภาคเหนือของประเทศไทยเนื่องจากมีความผันแปรสูง จน CWSI ออกนอกช่วง 0.0-1.0

ข้อมูลจากการทดลองในไร่กับ Runner bean ที่ปลูกในดินร่วนปนทราย ในประเทศไทย ยังกุณ Jones (1999) พบว่าการปรับปรุงสูตรให้ใช้  $T_{wet}$  และ  $T_{dry}$ แทน  $T_{max}$  และ  $T_{base}$  ซึ่งนอกจากจะวัดได้มากกว่าแล้วยังลดความคลาดเคลื่อนจากการนับและระยะสั้นของ  $T_{max}$  และ  $T_{base}$  ได้ด้วย

จากการทดลองในแปลงใหญ่กับฝ่ายในประเทศไทยอิสราเอล Alchanatis (2010) ใช้สูตรการคำนวณ CWSI ของ Jone (1999) พบว่าช่วงเวลาใกล้ๆ เที่ยงวันเป็นช่วงเวลาที่เหมาะสมกับการวัดอุณหภูมิใบพืชเพื่อการคำนวณ CWSI มากที่สุดและกล้องถ่ายภาพความร้อนด้วยรังสีอินฟราเรดที่มี resolution ต่ำสามารถใช้ทำแผนที่แสดงศักย์ของน้ำในพืช (leaf water potential) ได้ดีเท่ากับกล้องที่มี resolution สูง เมื่อมีวิธีกำหนด  $T_{wet}$  และ  $T_{dry}$  ที่เหมาะสมกับกล้องที่มี resolution ต่ำ

Zia et al. (2010) ทดลองในโรงเรือนที่สามารถควบคุมความเร็วลมและความเข้มของแสงต่างมีผลต่ออุณหภูมิใบพืช โดยแม้มีลมพัดอ่อนๆ ก็จะทำให้อุณหภูมิใบลดลง ทำให้ประเมินดัชนีความเครียดจากการขาดน้ำได้ต่ำกว่าที่ควรจะเป็น ขณะที่แสงที่เข้มขึ้นจะทำให้อุณหภูมิใบสูงขึ้นจะประเมินดัชนีความเครียดจากการขาดน้ำได้สูงกว่าที่ควรจะเป็น ดังนั้นการประเมินดัชนีความเครียดจากการขาดน้ำโดยอุณหภูมิใบต้องมีค่าปรับผลกระทบของความเร็วลมและความเข้มของแสงด้วย

Alon et al. (2009) ทดลองการใช้การประเมิน CWSI เพื่อกำหนดเวลาให้น้ำแก่มะกอกโอลีฟในอิสราเอล โดยใช้ภาพถ่ายความร้อนด้วยรังสีอินฟราเรดระยะไกลต้นมะกอกแต่ละต้น (Remote thermal images of individual trees) พบว่าวิธีการคำนวณ CWSI ทั้งวิธีของ Jone (1999) และวิธีที่เป็น empirical ต่างให้ค่า CWSI ที่มีสหสัมพันธ์ที่ดีกับวิธีกำหนดเวลาให้น้ำที่ใช้

ข้อมูลความชื้นดินและพืชที่เคยใช้อุ่ง แสดงให้เห็นว่าการประเมิน CWSI ด้วยภาพถ่ายความร้อน ด้วยรังสีอินฟราเรดจะสามารถใช้เป็นวิธีสำคัญในการกำหนดเวลาให้น้ำแก่น้ำกอกโอลิฟ ในระดับสวนได้ โดยวิธีการคำนวณ CWSI ของ Jone (1999) มีข้อได้เปรียบบางประการเหนือกว่าวิธี empirical และแนะนำว่าควรนิยงานวิจัยด่อไปในสภาพภูมิอากาศที่หลากหลาย สำหรับการหาเวลาที่เหมาะสมกับการหาค่า CWSI พนว่าควรเป็นเวลาที่เกิดความเครียดของความชื้นในพืชมากที่สุดในรอบวันคือเวลาเริ่มจะป่าย (early afternoon)

### การวัดความชื้นดินโดยใช้ Tensiometer

Tensiometer เป็นเครื่องมือวัดความเครียดเมคริก (metric suction) ของความชื้นในดิน ที่ใช้กันอย่างแพร่หลายเพื่อกำหนดตารางและปริมาณการให้น้ำชลประทานแก่พืชและชั่งสามารถใช้ศึกษาทดลองเกี่ยวกับความชื้นในดินได้อย่างกว้างขวางความเครียดเมคริกของความชื้นในดินเกิดจากการที่อนุภาคของดินดูดซึ่งความชื้นไว้ที่ผิวของอนุภาคและในช่องว่างขนาดเล็กในดิน (Capillary pores) จึงทำให้ความชื้นในดิน (ขณะดินแห้งไม่อิ่มน้ำด้วยน้ำ) อยู่ในสถานะที่ไม่อิสระซึ่งจะมีผลถึงความยากลำบากในการที่รากพืชจะดูดน้ำไปใช้จากดินที่ระดับความชื้นหนึ่งหากล้าวคือพืชจะต้องใช้พลังงานคือหนึ่งหน่วยปริมาตรของน้ำอย่างน้อยเท่ากับความเครียดของน้ำในดินซึ่งจะดูดน้ำไปใช้ได้ การบอกรปริมาณน้ำในดินเพียงอย่างเดียวเป็นการไม่เพียงพอ เพราะเราไม่ทราบว่าเราจะนำน้ำในดินขณะนี้มีระดับความเป็นประทible มากต่อพืชมากน้อยแค่ไหนแต่ถ้าเราบอกรเป็นระดับความเครียดของน้ำในดินก็เท่ากับบอกให้ทราบถึงระดับความเป็นประทible ของน้ำในดินต่อพืชในขณะนั้นๆ ซึ่งระดับความเครียดเมทริกของน้ำในดินสามารถวัดโดย Tensiometer (อิทธิสุนทร, 2544)

### ชลประทานอัตโนมัติ (Irrigation Automation)

การให้น้ำชลประทานอัตโนมัติ เป็นองค์ประกอบสำคัญของการหนึ่งของ การเกษตรที่มีการใช้ปัจจัยด่างๆ อย่างแม่นยำ (precision agriculture) การให้น้ำชลประทานอัตโนมัติ จะมีประสิทธิภาพก็ต่อเมื่อมีเครื่องตรวจสถานะของน้ำในพืชหรือในดินที่แม่นยำ เครื่องตรวจสถานะของน้ำในพืชหรือในดินมีหลายชนิด ในด้านสถานะของน้ำในดิน มีเครื่องมือ เช่น gypsum resistance blocks (Shull and Dylla, 1980), Time domain reflectometer (TDR probe) และ tensiometer (Alharthi and Lanje, 1987) ในด้านสถานะของน้ำในพืช มีผู้พยายามพัฒนาวิธีการกำหนดเวลาให้น้ำอัตโนมัติโดยเครื่องวัดอุณหภูมิเรือนยอดของพืช (Wanjura et al., 1995)

Smajstrla and Locascio (1994) รายงานว่าการควบคุมการให้น้ำโดย switching tensiometer ที่ฝังในดินลึก 6 นิ้ว และตั้งค่าความเครียดของน้ำในดินที่ 10 -15 kPa ในดินทรายละเอียดของรัฐฟลอริดา สหรัฐอเมริกา สามารถลดการใช้น้ำของแม่น้ำเทศลงได้ 40-50 % โดยที่ผลผลิตพืชไม่ลดลง

Li et al. (1998) พบว่า tensiometer สามารถใช้ได้ประสบความสำเร็จในการกำกับการให้น้ำแม่น้ำเทศด้วยตนเองในดิน calcareous gravelly soil จากการศึกษาพบว่าการให้น้ำที่ดีที่สุดที่ความเครียดของดิน 10 kPa จะทำให้ผลผลิตเพิ่มขึ้น คุณภาพของผลดีขึ้น และ ลดการชะล้างธาตุอาหารในดิน

อย่างไรก็ตามเครื่องมือกำหนดวิธีการให้น้ำจะประทันอัตโนมัติ ที่กล่าวมาทั้งหมดคือเป็นเครื่องมือที่ต้องใช้พลังงานไฟฟ้า และประกอบด้วยองค์ประกอบที่ละเอียดอ่อน ต้องการดูแลโดยผู้ชำนาญ สถาบันวิศวกรรมเกษตร คณะเกษตรศาสตร์ มหาวิทยาลัยโภเศษราษฎร์ ประเทศเยอร์มัน ได้พัฒนาเครื่องคั้นแบบของ TCU ที่สามารถเปิดหรือปิดระบบการให้น้ำอัตโนมัติ โดยไม่ใช้พลังงานไฟฟ้า ซึ่งจะทำให้สามารถนำไปใช้ในพื้นที่การเกษตรห่างไกลได้ (Pinmanee et al., 2010)

### บทที่ 3

## อุปกรณ์และวิธีการ

### การจัดเตรียมอุปกรณ์พื้นฐานสำหรับการทดลองทุกการทดลอง

#### 1. สถานที่

โรงเรือนพลาสติก สาขาวิชาไม้ผล คณะพลิตกรรมการเกษตร มหาวิทยาลัยแม่โจ้ จังหวัดเชียงใหม่ โรงเรือนเป็นโรงเรือนโครงเหล็ก กว้าง 5 เมตร ยาว 23.5 เมตร สูง 4 เมตร หลังคา โถงคุณด้วยพลาสติกชนิด 150 ไมครอน ติดพัดลมระบบอากาศใต้หลังคา ด้านข้างเปิดโล่งสูงจากพื้น 2 เมตร ทั้ง 4 ด้าน

#### 2. ดินและวิธีเก็บ

ดินที่ใช้ในการทดลองเป็นดินชุดน้ำพอง (Nam Pong Series) ดินชุดดอยปุย (Doi Pui Series) (Acrisol) และดินตะกอนน้ำพาเชิงซ้อน (Alluvial complex) ซึ่งการจำแนกดิน สถานที่เก็บตัวอย่างดิน และประวัติการใช้พื้นที่ แสดงในตาราง 1

ตาราง 1 การจำแนกดิน สถานที่เก็บตัวอย่างดิน และประวัติการใช้พื้นที่

ดินชุด	ระบบการจำแนก		สถานที่	การใช้พื้นที่
	Soil Taxonomy	European		
น้ำพอง	Isohyperthermic Ustoxic Quartzipsammets	Rgosols	คณะสัตวศาสตร์ มหาวิทยาลัยแม่โจ้ อำเภอ สันทราย จังหวัดเชียงใหม่	ไร่ผู้อาหาร สัตว์
ดอยปุย	Yperthermic isohyperthermic or thermic Kandic Palehumults	Acrisols	ศูนย์พัฒนาโครงการ หลวงแม่สายใหม่ ตำบล โปงแขง อำเภอแม่ริม จังหวัดเชียงใหม่	แปลงทดลอง ปลูกพืช (ข้าวโพด)
ตะกอนน้ำพา เชิงซ้อน		Vertisols	แปลงผลิตมันฝรั่งนายบุญ ศรี ใจปีง อำเภออย จังหวัดเชียงใหม่	แปลงผลิตมัน ฝรั่ง

เก็บตัวอย่างดินแยกเป็น 2 ชั้น คือชั้น 0-20 ซม. เก็บดินชุดคิดละ 1.8 ม.<sup>3</sup> และชั้น 20 – 90 ซม. เก็บดินชุดคิดละ 5.4 ม.<sup>3</sup> โดยเก็บไส้กระสอบฯ ละ 20 กก. เมื่อขันส่งถึงโรงเรือนได้ผึ่งตัวอย่างดินในร่ม ถ้าสำหรับดินเหนียวตะกอนน้ำพาเชิงช้อนที่เก็บมาเป็นก้อนโต ได้ทุบตัวอย่างดินให้มีขนาดเล็กกว่า 1 ซม.

### 3. การสร้างแปลง (กระบวนการ) ทดลอง

สร้างกระบวนการปลูกให้สามารถบรรจุดินที่มีความลึกเลียนแบบหน้าดัดดินในธรรมชาติประมาณ 1 เมตร ขนาดกว้าง 1 เมตร ยาว 8 เมตร และสูง 1 เมตร 3 กระบวนการ ภายในที่โรงเรือนพลาสติก ด้วยอิฐบล็อก ฉาบปูน ที่ขอบด้านข้างติดกับพื้นเจาะระบายน้ำทุกระยะ 1 เมตร ที่กระบวนการไส้หินขนาด 1 ซม. เป็นชั้นหนา 5 ซม. เพื่อให้สะดวกในการระบายน้ำ บรรจุดินที่เก็บมาแต่ละชุดคิดลงในแต่ละกระบวนการที่สร้างไว้โดยบรรจุดินชั้น 20-90 ซม. ก่อนพายาน้ำดัดดินให้แน่นจนได้ความลึก 70 ซม. เท่ากับที่บุคคล จากนั้นบรรจุดินชั้น 0-20 ซม. พายาน้ำดัดดินให้แน่นจนได้ความลึก 20 ซม. เท่ากับที่บุคคล เมื่อบรรจุดินเรียบร้อยมีดินอยู่ต่ำกว่าขอบกระบวนการ 5 ซม.

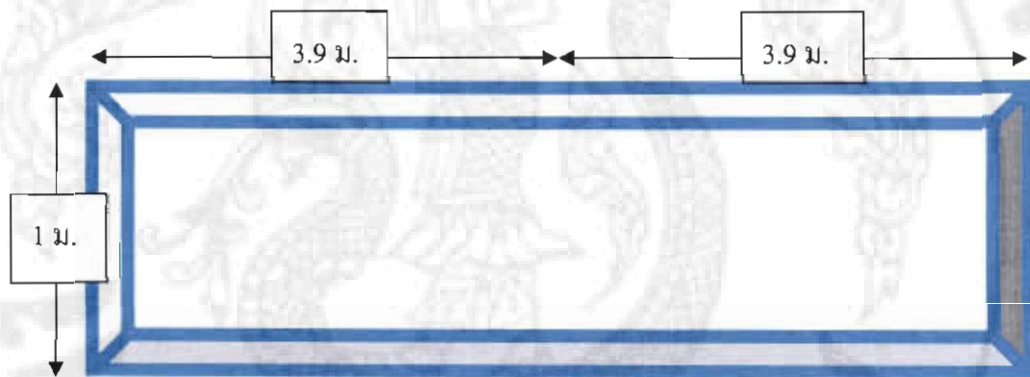
สมบัติทางเคมีและกายภาพของดินที่ความลึก 0-15 และ 15-30 ซม. ของแต่ละชุดคิดที่บรรจุในกระบวนการทดลองแล้ว แสดงในตาราง 2 และตาราง 3 ตามลำดับ ภาพแผนผังและการตัดขวางแปลงทดลอง แสดงในภาพ 1 และ 2 ตามลำดับ

ตาราง 2 คุณสมบัติทางเคมีของดิน

สมบัติของดิน	ชุดคิดน้ำพา	ดินตะกอนน้ำพาเชิงช้อน	ชุดคิดอยปุย
ความเป็นกรด-ด่าง	7.46	6.44	6.07
อินทรีย์ตู, %	1.30	3.8	2.73
ฟอสฟอรัสที่เป็นประโยชน์, (มก./กก.)	60	128	124
โพแทสเซียมที่แลกเปลี่ยนได้, (มก./กก.)	59	338	96
แคลเซียมที่แลกเปลี่ยนได้, (มก./กก.)	1,924	3,936	2,056
แมกนีเซียมที่แลกเปลี่ยนได้, (มก./กก.)	161	332	107
สัดส่วนแคลเซียมต่อแมกนีเซียม	12	11.9	19.2

ตาราง 3 คุณสมบัติทางกายภาพที่ความลึก 0-20 ซม.

สมบัติของดิน	ชุดดินน้ำพอง	ดินตะกอนน้ำพาเชิงช้อน	ชุดดินดอยปุย
ความหนาแน่นรวม, (กรัม/ซม. <sup>3</sup> )	1.18	1.09	1.00
ความชื้นเมื่ออิ่มน้ำด้วยน้ำ, (%) โดยน้ำหนัก	31.1	52.0	51.0
ความชื้นที่ความชุกสาม, (%) โดยน้ำหนัก	17.1	38.1	26.1
ความชื้นที่จุดเที่ยว平衡, (%) โดยน้ำหนัก	10.2	20.3	17.5
อนุภาคทราย, (%) โดยน้ำหนัก	66	25	43
อนุภาคทรายละเอียด, (%) โดยน้ำหนัก	24	24	13
อนุภาคเนื้อเยื่า, (%) โดยน้ำหนัก	10	51	44



ภาพ 1 ภาพแผนผังแปลงทดลองด้านบนของแปลงทดลอง



ภาพ 2 ภาพด้านข้างแปลงทดลอง แสดงการบรรจุดินเรียงเป็นชั้น ตามธรรมชาติ

#### 4. การแบ่งแปลง และปลูกพืช และการวางแผนให้น้ำในแต่ละระบบ

ในแต่ละระบบแบ่งเป็นแปลงปลูกพืช 2 แปลง ยาวแปลงละ 3.9 เมตร โดยมีแนวกันชนระหว่างแปลง 0.2 เมตร ระหว่างแปลงทั้งสอง (ภาพ 1)

#### 5. ระบบการให้น้ำ

ใช้น้ำโดยระบบน้ำหยด ที่ประกอบด้วยท่อแขนง (lateral pipes) ขนาด 20 มม. ยาว 3.9 เมตร 3 ห่อ ที่ห่อแขนงแต่ละห่อติดหัวน้ำหยด (ยี่ห้อ Netafim รุ่น Patented) ซึ่งให้น้ำอัตรา 2 ลิตร/ชั่วโมง จำนวน 15 หัว โดยมีระยะระหว่างหัวเท่ากับ 12.5 ซม. ท่อแขนงทั้ง 3 ต่อ กับท่อประปา (main pipe) ขนาด 20 มม. ซึ่งต่อ กับประตูน้ำ (valve) และมาตรวัดน้ำ (flow meter) ก่อนต่อ กับแหล่งน้ำ

#### 6. การควบคุมกำหนดเวลาให้น้ำ

ในระบบปลูกพืชเพื่อให้ดินโดยพร้อมสำหรับการทดลอง และการให้น้ำตามคำรับ ควบคุม คือให้น้ำเมื่อความเครียดของความชื้นดินที่ระดับความลึก 5 ซม. สูงขึ้นถึง 15 kPa (15 cbar หรือ 150 mbar)

#### 7. การวัดความเครียดของความชื้นดิน

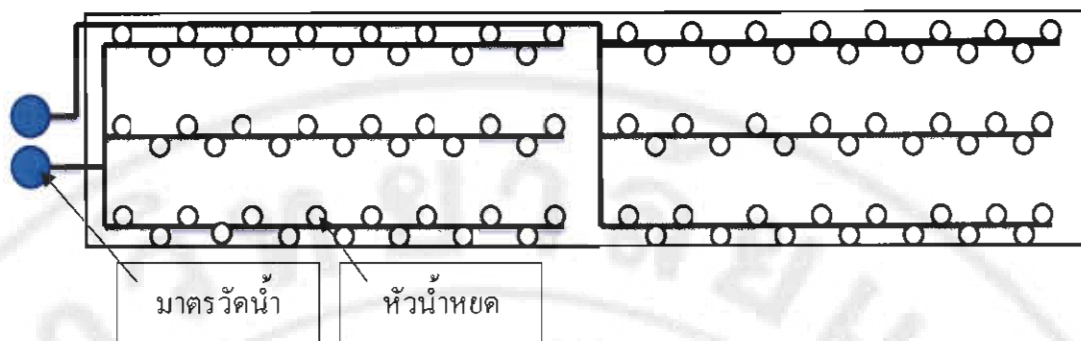
วัดความเครียดของความชื้นดินโดยเทืนซิโอมิเตอร์ (Tensiometers) ฝังไว้ในดินแต่ละแปลงทดลองที่ระดับความลึก 5 ซม. ติดตั้ง Tensiometer จำนวน 2 อัน ตำแหน่งกลางแปลงปลูก ระหว่างหัวน้ำหยดสองหัว ที่ระดับความลึก 5 ซม.

#### 8. พืชทดลอง

พืชที่ใช้ทดลองทุกการทดลองได้แก่พักนุ่งจีน (*Ipomoea aquatica* Forsk) เปอร์เซ็นต์ความชื้น 85% อายุการเก็บเกี่ยว 28 วันถึง 40 วัน

#### 9. การวัดข้อมูลสภาพอากาศในโรงเรือน

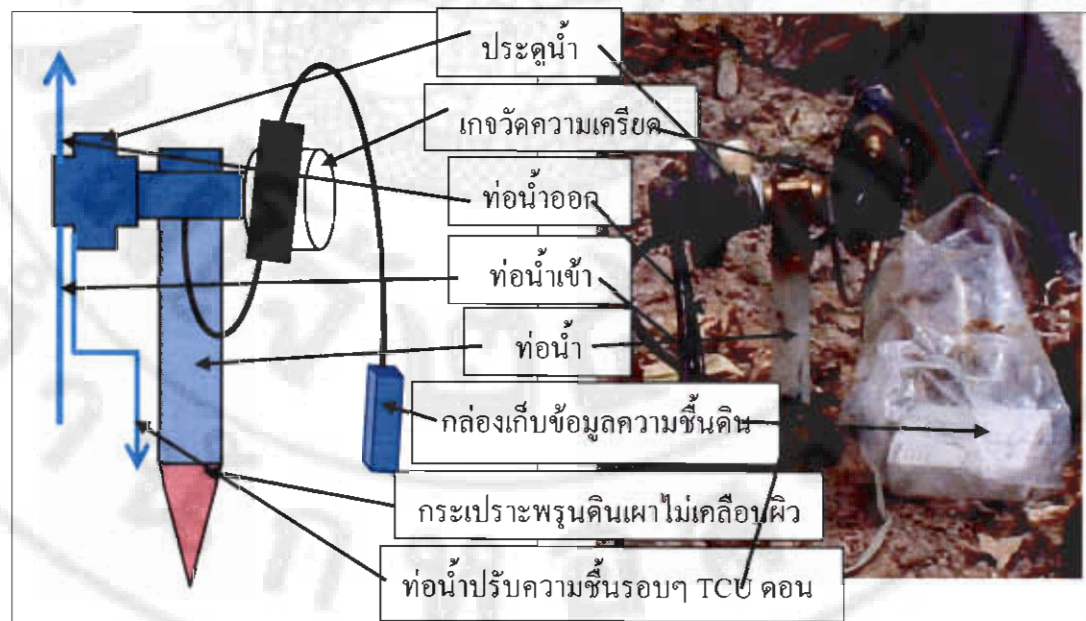
ได้ติดตั้ง Weather station ภายในโรงเรือน โดยจะเก็บข้อมูลสภาพอากาศภายในโรงเรือนได้แก่ อุณหภูมิ สูงสุด ต่ำสุด ความชื้นสัมพัทธ์ของอากาศ และความเร็วลม ซึ่งข้อมูลจะถูกบันทึกไว้ใน Data logger และวัดการระเหยน้ำ โดย American Class A pan



ภาพ 3 แผนผังการติดระบบน้ำ

#### 10. หลักการทำงานและส่วนประกอบของ TCU

ส่วนประกอบหลักของ TCU แสดงในภาพ 4 ประกอบด้วย ceramic bulb ที่ไม่เคลือบผิว ทำหน้าที่ให้น้ำภายในเคลื่อนที่เข้าออกคู่กับความเครียดของความชื้นที่ภายนอก, tensiometer body เป็นที่บรรจุน้ำให้เดิมหรือเก็บเดิมลดเวลา และถ่ายทอดความเครียดสู่ membrane, membrane เป็นตัวรับแรงดึงจากน้ำใน tensiometer body ไปกระตุ้นให้ Valve เปิด



ภาพ 4 องค์ประกอบหลักของหน่วยควบคุมการให้น้ำโดยเทินซิโอมิเตอร์ TCU

### 10.1 การควบคุมการให้น้ำด้วย TCU ประกอบด้วย

- ใช้ TCU เปิด ประตูน้ำเมื่อความเครียดของน้ำในดิน ณ จุดที่ TCU ปักอยู่ขึ้นถึง -150 mbar และปิดเมื่อเปิดแล้ว 30 นาที
- ประตูปิดเปิดน้ำอัตโนมัติที่ควบคุมด้วย timer ให้เปิดน้ำได้วันละ 4 ช่วงเวลา ช่วงละ 30 นาที คือ 05.00-05.30 น., 11.00 – 11.30 น., 17.00 – 17.30 น. และ 23.00 – 23.30 น.

ด้วยระบบที่มีประตูน้ำ 2 ชั้นนี้ การให้น้ำจะเกิดขึ้นเมื่อเท้าเงื่อนไขของทั้ง 2 ประดุจพร้อมกัน หากวันใดที่พืชใช้น้ำน้อย แม้ว่าประตูที่ควบคุมด้วย timer จะเปิดประตู แต่ประตู TCU ก็ไม่เปิด เพื่อให้สามารถบันทึกความเครียดของความชื้นดินที่ TCU ทำงาน จึงได้ต่อ sensor วัดความเครียดของน้ำใน TCU และบันทึกด้วย data logger ระบบควบคุมการปิดเปิดน้ำจึงประกอบด้วย TCU, มาตรวัดน้ำ และ timer switch (ภาพ 5)



ภาพ 5 การควบคุมการให้น้ำด้วย TCU

## 11. การทดลองปลูกผักบุ้งจีน

หลังจากทดลองปลูกกระถางเมื่อวันที่ 12 มกราคม และเก็บเกี่ยวผลผลิตเมื่อวันที่ 20 เมษายน 2553 แล้ว ได้ปลูกกระถางเพื่อทดลองซ้ำเป็นครั้งที่ 2 เมื่อวันที่ 7 พฤษภาคม 2553 พบว่าอุณหภูมิอากาศในโรงเรือนสูงมากจนกระถางไม่โต แม้ว่าจะได้เปลี่ยนเป็นพันธุ์ทนร้อนแล้วก็ตาม จึงต้องเปลี่ยนเป็นใช้ผักบุ้งจีนเป็นพืชทดลองปลูกผักบุ้งจีนในวันที่ 4 กรกฎาคม 2553 และเก็บเกี่ยวผลผลิตเมื่อวันที่ 6 สิงหาคม 2553 (ภาพ 8)

การวางแผนการทดลองที่ 1 การศึกษาดัชนีภาวะวิกฤตจากการขาดน้ำของผักบุ้งโดยใช้กล้อง

Thermocamera รุ่น InfraCAM SD (FLIR, Sweden)

### แผนการทดลอง

วางแผนการทดลองแบบ 2x3 factorial in CRD

**Factor A** วิธีการให้น้ำสองวิธี:

A1 ต้มรับความคุณ ให้น้ำโดยเปิดให้น้ำเอง เมื่อความเครียดของความชื้นดินที่ระดับ  
ความลึก 5 ซม. สูงขึ้นถึง 10 kPa

A2 ต้มรับเกิดวิกฤติ งดการให้น้ำโดยสิ้นเชิงเพื่อชักนำให้เกิดภาวะวิกฤตจากการ  
ขาดน้ำ หลังจากที่พืชโตเต็มที่แล้วเมื่อผักบุ้งมีอายุได้ 28 วัน นับจากวันออก

**Factor B** ชนิดดินแต่ละดินที่ต้องกันสามชนิด:

B1 ดินชุดน้ำพอง

B2 ดินชุดดอยปุย

B3 ดินตะกอนน้ำพา เชิงซ้อน (Clayey soil)

### การปลูกพืชทดลอง

ปลูกผักบุ้งในแปลงทดลองทั้ง 6 แปลง โดยใช้เมล็ดพันธุ์ แปลงละ 200 กรัม เมื่อวันที่ 8 มกราคม 2554 พืชออกเมื่อวันที่ 11 มกราคม 2554 ให้น้ำด้วยระบบน้ำหยดเมื่อความเครียดของความชื้นดินที่ระดับความลึก 5 ซม. สูงขึ้นถึง 10 kPa จำนวน 45 ลิตรต่อครั้ง

### การวัดภาวะความเครียดของพืช

เมื่อหลังจากพืชในดำรับเกิดวิกฤติถูกงดน้ำ ได้วัดภาวะความเครียดของพืช โดยวัดอุณหภูมิของใบพืชการถ่ายภาพโดยโดยเครื่อง Thermocamara ช่วง 12.00 – 14.00 น. ทุกวันโดยกล้องรุ่น FLIR InfraCAM SD ข้อมูลจำเพาะของกล้องแสดงไว้ในตาราง 4 และวัดการเปิดปิดของปากใบด้วยเครื่อง Porometer รุ่น SC-1 leaf porometer ช่วง 12.00 – 14.00 น. ทุกวัน โดยวัดกับใบผักบุ้งที่โคนเดดโดยตรง ที่ละใบ จำนวน 5 ใบในแต่ละชั้องแต่ละวิธีการให้น้ำ ช่วง 12.00 – 14.00 น. ทุกวัน

### การเก็บข้อมูลอื่นๆ

1. บันทึกการให้น้ำ และค่าความเครียดของชื้นดินเมื่อก่อนให้น้ำจาก Tensiometer ทุกวัน
2. เก็บข้อมูลภูมิอากาศรายวันจาก data logger ที่ติดตั้งไว้
3. เก็บข้อมูลน้ำระเหยจากภาควัดการคายระเหยรายวัน

### การคำนวณดัชนีความเครียดจากการขาดน้ำ

คำนวณ ดัชนีความเครียดจากการขาดน้ำโดยสูตร

$$CWSI = \frac{(T_1 - T_{wet})}{(T_{dry} - T_{wet})}$$

เมื่อ

$T_1$  คือค่าอุณหภูมิเรือนยอดพืชที่วัดได้ตามสภาพแวดล้อมหนึ่งๆ

$T_{wet}$  คือค่าอุณหภูมิต่ำสุดของเรือนยอดที่เป็นไปได้ เมื่อมีการพ่นน้ำเป็นลงทะเบียนให้เปลี่ยนเรือนยอดทั้งหมด

$T_{dry}$  คือค่าอุณหภูมิสูงสุดของเรือนยอดที่เมื่อใบพืชไม่คายน้ำได้เลยคือคือใบพืชถูกเคลือบด้วยวัสดุนิ่น ปิดกั้นกระรเหยน้ำโดยสมบูรณ์

ตาราง 4 ข้อมูลจำเพาะของกล้อง

คุณสมบัติ	FLIR InfraCAM SD (การทดลองที่ 1)	Infratec Variocam 384sl (การทดลองที่ 2)
ความละเอียด (pixels)	120x120	384x288
Autofocus:	ไม่มี	มี
ภาพสีจริง	ไม่มี	มี
น้ำหนัก(กรัม)	550	1,300
ความละเอียดของอุณหภูมิ (องศาเคลวิน)	0.1	0.05
หน้าจอ(นิ้ว)	3.5	-
แบตเตอรี่(ชั่วโมง)	7	3
ราคาโดยประมาณ (ยูโร)	5,000	25,000

ก. FLIR InfraCAM SD

ข. Infratec Variocam 384sl



ภาพ 6 ภาพถ่ายกล้องถ่ายรังสีความร้อนทั้ง 2 ชนิด

การวางแผนการทดลองที่ 2 การศึกษาดัชนีภาวะวิกฤตจากการขาดน้ำของผักบุ้งโดยใช้กล้อง Thermocamera รุ่น VarioCAMHiRes 384 sl (Infratec, Germany)

#### แผนการทดลอง

วางแผนการทดลองแบบ  $2 \times 3$  factorial in CRD

**Factor A** วิธีการให้น้ำสองวิธี:

A1 ตารับความคุณ ให้น้ำโดยเปิดให้น้ำเอง เมื่อความเครียดของความชื้นดินที่ระดับความลึก 5 ซม.สูงขึ้นถึง 10 kPa

A2 ตารับเกิดวิกฤติ งดการให้น้ำโดยสิ้นเชิงเพื่อซักกัน้ำให้เกิดภาวะวิกฤตจากการขาดน้ำ หลังจากที่พืชได้เติบโตแล้วเมื่อผักบุ้งมีอายุได้ 28 วัน นับจากวันออก

**Factor B** ชนิดของดินแตกต่างกันสามชนิด:

B1 ดินชุคน้ำพอง

B2 ดินชุคดอยปุ่ย

B3 ดินตะกอนน้ำพาเชิงซ้อน (Clayey soil)

#### การปลูกพืชทดลอง

ปลูกผักบุ้งในแปลงทดลองทั้ง 6 แปลง โดยใช้เมล็ดพันธุ์ แปลงละ 200 กรัม เมื่อวันที่ 28 มีนาคม 2554 พืชออกเมื่อวันที่ 1 เมษายน 2554 ให้น้ำด้วยระบบหัวหยดเมื่อความเครียดของความชื้นดินที่ระดับความลึก 5 ซม.สูงขึ้นถึง 10 เซ็นติเมตรจำนวน 45 ลิตรต่อครั้ง

#### การวัดภาวะความเครียดของพืช

เมื่อหลังจากพืชในตารับเกิดวิกฤติถูกงดน้ำ ได้วัดภาวะความเครียดของพืชโดยวัดอุณหภูมิของใบพืชการถ่ายภาพโดยเครื่อง Thermocamara ช่วง 12.00 – 14.00 น. ทุกวันข้อมูลจำเพาะของกล้องแสดงไว้ในตาราง 4 และ วัดการเปิดปิดของปากใบด้วยเครื่อง Porometer รุ่น SC-leaf porometer ช่วง 12.00 – 14.00 น. ทุกวัน

### การเก็บข้อมูลอื่นๆ

1. บันทึกการให้น้ำ และค่าความเครียดของชั้นดินเมื่อก่อนให้น้ำจาก Tensiometer ทุกวันโดยผ่านให้กระแสเท็นซิโอมิเดอร์อยู่ในชั้นดินที่ความลึก 5 ซม.
2. เก็บข้อมูลภูมิอากาศรายวันจาก data logger ที่ติดตั้งไว้
3. เก็บข้อมูลน้ำระเหยจากถ้าดวัดการคายระเหยรายวัน



ภาพ 7 การปลูกผักบุ้งจีนเป็นพืชทดลองของการทดลองที่ 1 และ 3 (พร้อมคัวบชุดเครื่องมือตรวจอากาศ weather station)

หมายเหตุ อากาศในโรงเรือนเดือนพฤษภาคม-มิถุนายน ร้อนมากจนกระหลาไม่โต

**การวางแผนการทดลองที่ 3 การทดสอบประสิทธิภาพของหน่วยควบคุมการให้น้ำโดยเท็นซิโอมิเตอร์ (Tensiometer Control Unit, TCU)**

**พื้นที่ทดลอง**

**1. ภูมิภาคปัลสี**

ปลูกกระหลาบทดลองในระบบห้อง 3 เมื่อวันที่ 12 มกราคม 2553 โดยแต่ละระบบปลูก 3 แตกต่างกัน 16 ต้น ในระยะแรกให้น้ำแบบตั้งรอด เก็บเกี่ยวเมื่อ 20 เมษายน 2553 (ภาพ 6)

**2. ผักบุ้งจีน**

ปลูกผักบุ้งในแปลงทดลองห้อง 6 แปลง โดยใช้มีดีพันธุ์ แปลงละ 200 กรัม เมื่อวันที่ 6 กันยายน 2553 พืชออกเมื่อวันที่ 10 กันยายน 2553 ให้น้ำด้วยระบบหัวหยดเมื่อความเครียดของความชื้นดินที่ระดับความลึก 5 ซม. สูงขึ้นถึง 10 kPa จำนวน 45 ลิตรต่อครั้ง

**การออกแบบการทดลองระบบให้น้ำระบบทดลอง**

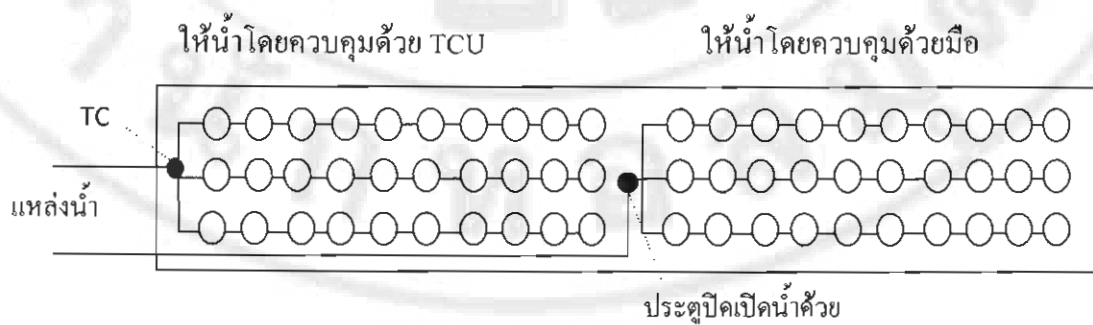
เพื่อให้ในแต่ละระบบ ที่ใช้ติดตั้งชนิดกันสามารถทดลองเปรียบเทียบการให้น้ำที่ควบคุมด้วย หน่วยควบคุมการให้น้ำโดยเท็นซิโอมิเตอร์ (หน่วยควบคุมการให้น้ำโดยเท็นซิโอมิเตอร์ Control) กับการควบคุมด้วยมือ (Manual Control) จึงแบ่งพื้นที่ในแต่ละระบบเป็น 2 ส่วน เท่าๆ กันส่วนละ 4 เมตร ส่วนแรกให้น้ำโดยควบคุมโดย หน่วยควบคุมการให้น้ำโดยเท็นซิโอมิเตอร์ ส่วนที่สองให้น้ำโดยควบคุมด้วยมือ แต่ละส่วนปลูกกระหลาบ 3 แตกๆ ละ 8 ต้น ระยะปลูก 0.4 X 0.4 เมตร แต่ละส่วนต่อ กับแหล่งน้ำแยกอิสระจากกัน แต่ละแฉ้มีท่อแขวนที่มีหัวน้ำหยดสำหรับกระหลาบแต่ละด้าน หัวน้ำหยดมีอัตราการให้น้ำ 2 ลิตร/ชั่วโมง ที่ความดันประมาณ 1 บาร์ ดังภาพ 7



ภาพ 8 การปลูกกะหล่ำปลีดลอง

#### การเก็บข้อมูล

1. ความเครียดของความชื้นดินที่บันทึกอัตโนมัติโดย TCU และ data logger
2. ปริมาณการให้น้ำ
3. ความเครียดของความชื้นดินที่วัดโดยเท็นซิโอมิเดอร์
4. น้ำหนักสดของพืชเมื่อก่อนให้น้ำจาก Tensiometer ทุกวัน



ภาพ 9 การออกแบบการทดลองระบบให้น้ำกระบวนการทดลอง

## บทที่ 4

### ผลการทดลอง

ผลการทดลองที่ 1 การศึกษาดัชนีความเครียดของน้ำในพืชของผักบุ้ง

โดยใช้กล้อง Thermocamera รุ่น InfraCAM SD

(FLIR, Sweden)

ภูมิอากาศในโรงเรือนระหว่างการทดลอง

ภูมิอากาศในโรงเรือนระหว่างการทดลองได้แก่ ภูมิอากาศ ความชื้นสัมพัทธ์ของ  
อากาศ ความรุ่มลุม และการระเหยน้ำ แสดงในตาราง 5 พบว่า

ตาราง 5 สภาพภูมิอากาศในโรงเรือนระหว่างการทดลองที่ 1

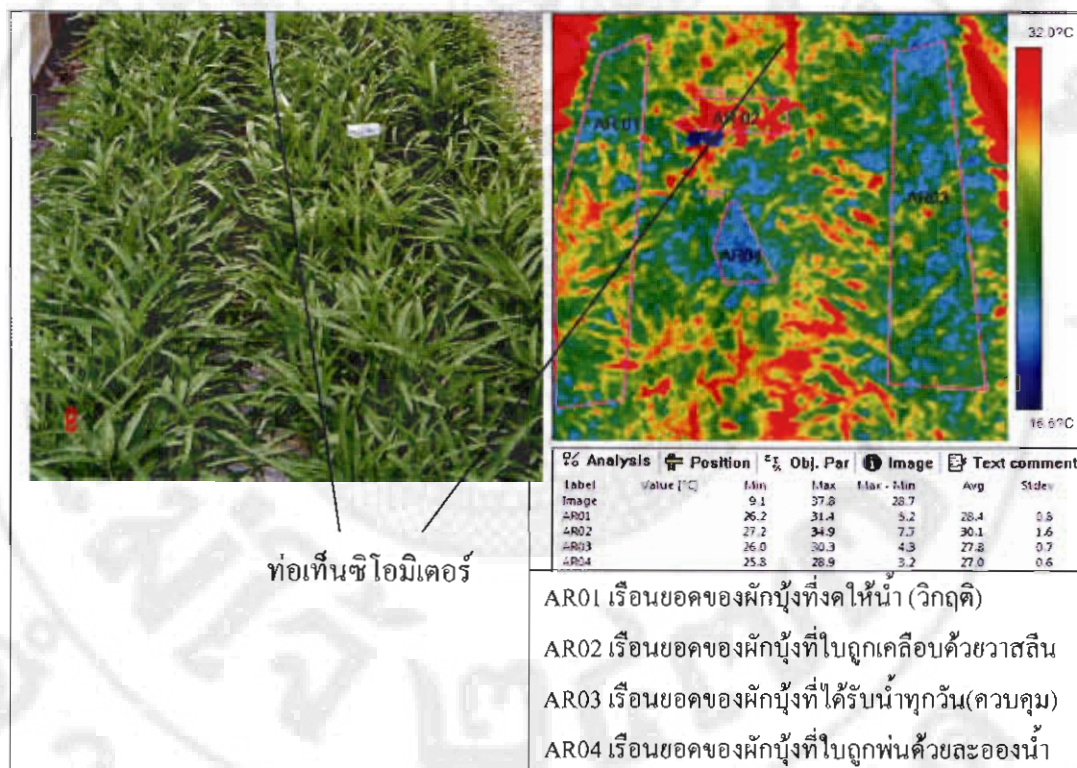
วันที่ทดลอง (วันที่)	อุณหภูมิ, (°ช)			ความชื้นสัมพัทธ์, (%)			ความรุ่มลุม <sup>1</sup> , (ม/วินาที)	การระเหย น้ำ <sup>2</sup> , (มม/วัน)
	สูงสุด	ต่ำสุด	เฉลี่ย	สูงสุด	ต่ำสุด	เฉลี่ย		
1 (9/2/54)	36.20	14.70	23.29	89.00	24.00	63.29	0.03	3.72
2 (10/2/54)	38.90	15.00	24.10	87.00	28.00	63.79	0.00	3.18
3 (11/2/54)	36.30	16.90	24.25	82.00	34.00	66.00	0.01	4.59
4 (12/2/54)	38.00	16.50	25.28	90.00	34.00	64.63	0.00	4.58
5 (13/2/54)	37.80	15.80	25.15	83.00	36.00	62.13	0.03	3.93
6 (14/2/54)	35.40	17.50	24.43	83.00	36.00	65.96	0.07	3.37
7 (15/2/54)	36.70	15.00	24.13	86.00	32.00	61.92	0.05	4.86
8 (16/2/54)	38.80	14.50	24.42	85.00	29.00	61.33	0.00	4.48
9 (17/2/54)	38.60	16.90	24.96	81.00	32.00	63.33	0.00	4.83
10 (18/2/54)	32.00	19.60	24.27	92.00	52.00	75.08	0.00	4.23
11 (19/2/54)	39.70	18.70	26.58	93.00	32.00	66.67	0.01	4.16
12 (20/2/54)	41.70	17.90	27.20	80.00	27.00	58.50	0.00	4.09

หมายเหตุ <sup>1</sup>วัดจาก ชุดเครื่องมือตรวจน้ำอากาศ weather station

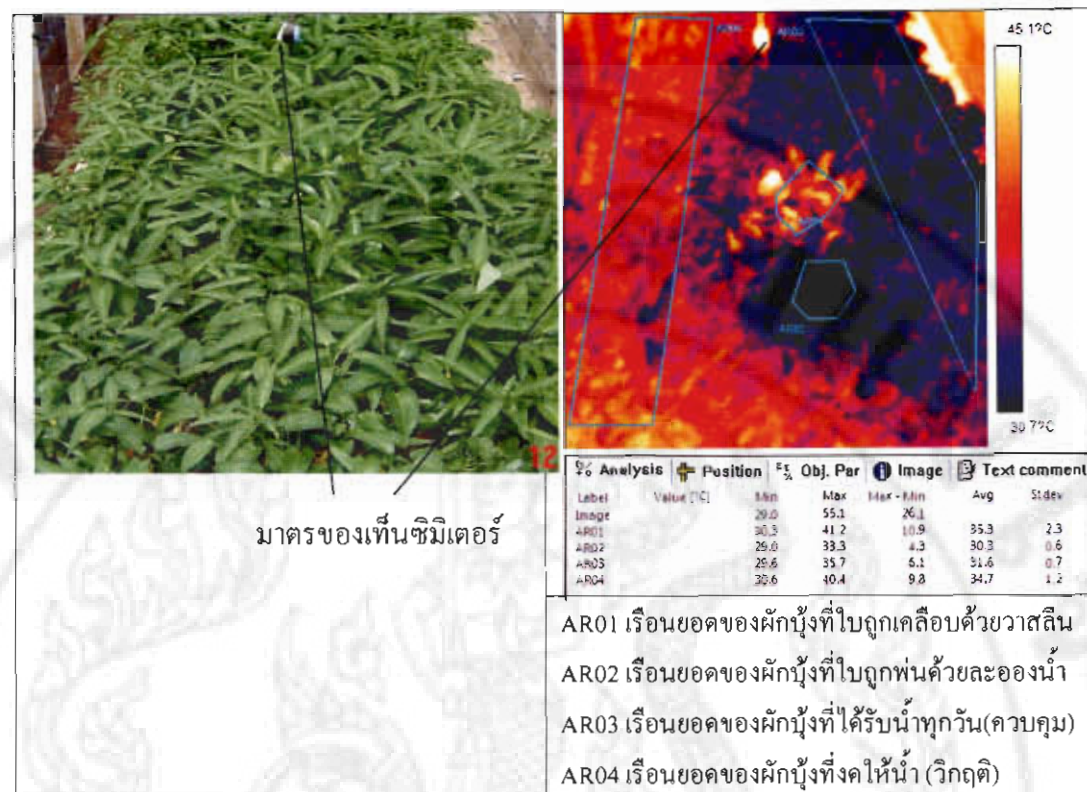
<sup>2</sup>วัดจาก American Class A pan

### ถ่ายภาพความร้อนด้วยรังสีอินฟราเรด

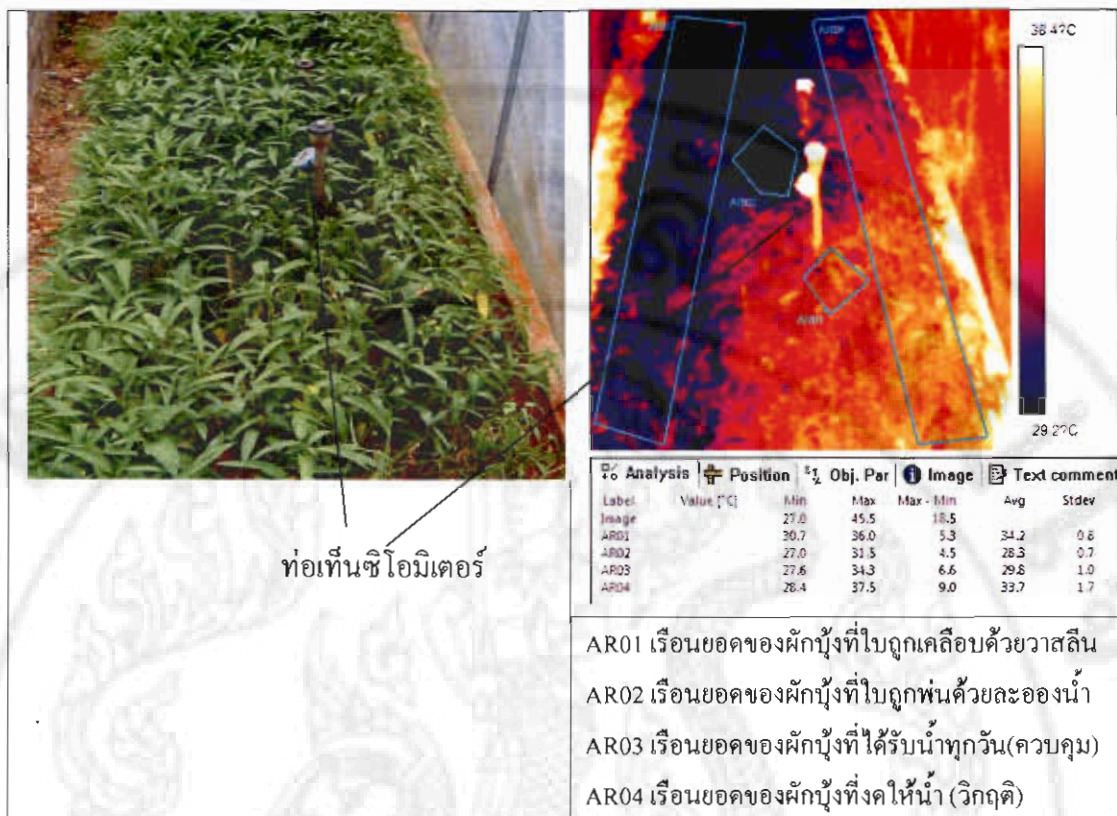
ตัวอย่างภาพถ่ายความร้อนด้วยรังสีอินฟราเรดของวันหนึ่งของการทดลอง ของแต่ละคืนทั้ง 3 ชุดคืนพร้อมกับภาพถ่ายสีปกติเมื่อเวลาเดียวกัน ของแปลงผักบุ้งที่แสดงในภาพ 10-12 ในภาพถ่ายความร้อนด้วยรังสีอินฟราเรดแต่ละภาพมีพื้นที่ใน 4 พื้นที่ที่ได้รับการจัดการต่างกัน คือ เรือนยอดของผักบุ้งทั้งคืนให้น้ำ (วิกฤติ) เรือนยอดของผักบุ้งที่ใบถูกเคลือบด้วยวารสารินเรือนยอดของผักบุ้งที่ได้รับน้ำทุกวัน (ควบคุม) และ เรือนยอดของผักบุ้งที่ใบถูกพ่นด้วยละอองน้ำที่มีสีซึ่งแสดงระดับอุณหภูมิต่างกัน



ภาพ 10 ภาพถ่ายของแปลงผักบุ้งในชุดคืนน้ำพอง เมื่อวันที่ 9 กุมภาพันธ์ 2554 เวลา 12.00 น.



ภาพ 11 ภาพถ่ายของแปลงผักกุ้งในเดือนตุลาคม พ.ศ. ๒๕๕๔ เมื่อวันที่ ๑๒ มี.ค. ๒๕๕๔ ๑๒.๐๐ น.



ภาพ 12 ภาพถ่ายของแปลงผักบุ้งใน ชุดคินคอบญุญเมื่อวันที่ 11 มี.ค. 2554 12.00 น.

### อุณหภูมิใบพืชและความนำของปากใบ

อุณหภูมิใบพืชที่ได้รับการจัดการต่างกัน 4 แบบ ได้แก่ ใบทึ่งคงให้น้ำ (วิกฤติ) ในถุงเคลือบด้วยวารสีนใบพืชที่ได้รับน้ำทุกวัน (ควบคุม) และ ที่ใบถูกพ่นด้วยละอองน้ำและความนำของปากใบของใบทึ่งคงให้น้ำ (วิกฤติ) และใบพืชที่ได้รับน้ำทุกวันเป็นรายวันของเดือนที่ใช้ในการทดลองแสดงในตาราง 6 – 8

ตาราง 6 อุณหภูมิใบและความนำของปากใบของผักบุ้งปลูกในชุดคืนน้ำพอง

วันที่ทดลอง (วันที่)	อุณหภูมิใบพีช		อุณหภูมิพีชทดลอง (°ช)		ความนำของปากใบ (mmol m <sup>-2</sup> s <sup>-1</sup> )		ดัชนีความเครียดนำของพีช (CWSI)	
	อ้างอิงคำสูตร (°ช)	อ้างอิงสูงสุด (°ช)	ควบคุม	เกิดวิกฤติ	ควบคุม	เกิดวิกฤติ	ควบคุม	เกิดวิกฤติ
1(9/2/54)	21.6	31.1	23.2	24.6	348	513	0.21	0.35
2 (10/2/54)	25.8	34.9	28.4	27.8	321	256	0.29	0.22
3(11/2/54)	25.4	34.1	26.7	28.3	350	506	0.15	0.33
4(12/2/54)	27.4	34.7	28.7	30.5	577	285	0.18	0.42
5 (13/2/54)	25.6	29.7	26.3	28.4	703	307	0.17	0.68
6 (14/2/54)	24.8	28.5	25.3	28.0	775	287	0.14	0.86
7 (15/2/54)	25.8	31.1	27.6	30.9	468	136	0.34	0.96
8(16/2/54)	24.6	29.8	26.0	29.3	219	148	0.27	0.90
9(17/2/54)	24.3	32.9	26.2	31.9	429	194	0.22	0.88
10 (18/2/54)	24.6	27.0	25.4	26.8	438	513	0.33	0.92
11 (19/2/54)	-	-	-	-	-	-	-	-

หมายเหตุ \*ในชุดคืนน้ำพองสามารถเก็บข้อมูลได้เพียง 10 วันเนื่องจากผักบุ้งเที่ยวนากจนไม่สามารถเก็บข้อมูลได้แล้ว

ตาราง 7 อุณหภูมิใบและความนำของปากใบของผักบูร็อกในชุดคืนน้ำพาเชิงช้อน

วันที่ทดลอง (วันที่)	อุณหภูมิใบพืช		อุณหภูมิพืชทดลอง		ความนำของปากใบ		ดัชนีความเครียดน้ำของพืช (CWSI)	
	อ้างอิงคำสูด (°ฯ)	อ้างอิงสูงสุด (°ฯ)	อุณหภูมิพืชทดลอง (°ฯ)	ควบคุม	เกิดวิกฤติ	ควบคุม	เกิดวิกฤติ	ควบคุม
1 (9/2/54)	23.6	28.5	25.3	25.6	689	742	0.35	0.41
2 (10/2/54)	23.4	27.5	25.1	25.6	543	523	0.41	0.54
3 (11/2/54)	24.0	28.5	25.9	27.0	556	441	0.42	0.67
4 (12/2/54)	26.1	29.3	27.2	28.1	411	351	0.34	0.63
5 (13/2/54)	23.0	25.8	24.5	24.7	285	252	0.54	0.61
6 (14/2/54)	26.4	29.6	28.6	27.7	575	878	0.69	0.41
7 (15/2/54)	25.6	30.0	27.6	28.7	711	710	0.45	0.70
8 (16/2/54)	24.6	27.5	26.5	27.0	487	288	0.66	0.83
9 (17/2/54)	26.0	30.1	28.2	28.6	381	258	0.56	0.63
10(18/2/54)	26.5	30.8	29.0	30.4	622	370	0.58	0.91
11 (19/2/54)	28.0	32.2	30.4	32.2	564	307	0.57	1.00
12 (20/2/54)	28.0	34.1	30.9	34.1	649	220	0.48	1.00

ตาราง 8 อุณหภูมิใบและความนำของปากใบของผักบุ้งปลูกในชุดคิดดอยปุย

วันที่ทดลอง (วันที่)	อุณหภูมิใบพืช		อุณหภูมิพืชทดลอง (°ช)		ความนำของปากใบ (mmol m <sup>-2</sup> s <sup>-1</sup> )		ดัชนีความเครียดนำของพืช (CWSI)	
	อ้างอิงต่ำสุด (°ช)	อ้างอิงสูงสุด(°ช)	ควบคุม	เกิดวิกฤติ	ควบคุม	เกิดวิกฤติ	ควบคุม	เกิดวิกฤติ
1 (9/2/54)	28.4	32.3	29.2	29.5	618	435	0.21	0.28
2 (10/2/54)	27.3	33.8	30.8	30.7	472	407	0.53	0.52
3 (11/2/54)	26.5	29.7	28.3	28.3	678	661	0.56	0.56
4(12/2/54)	30.9	33.6	31.9	31.4	528	546	0.37	0.19
5 (13/2/54)	28.5	31.4	29.3	30.2	653	509	0.28	0.59
6 (14/2/54)	29.9	33.8	31.7	32.0	505	297	0.46	0.54
7 (15/2/54)	26.8	33.0	29.0	30.9	1096	521	0.35	0.66
8 (16/2/54)	28.0	33.8	30.4	33.3	454	293	0.41	0.91
9 (17/2/54)	29.4	34.1	30.7	33.8	872	653	0.28	0.94
10 (18/2/54)	30.1	35.1	31.3	34.6	717	383	0.21	0.80
11 (19/2/54)	28.3	34.2	29.8	33.7	462	309	0.25	0.92
12 (20/2/54)	30.4	37.6	32.4	36.8	509	285	0.28	0.89

### ดัชนีความเครียดของน้ำในพืช (Crop Water Stress Index) จากอุณหภูมิในเฉลี่ยราย 3 วัน

ค่าดัชนีความเครียดของน้ำในพืชเมื่อวันที่ 1 - 3 หลังจากเริ่มงดให้น้ำ (วันที่ 9-11 กุมภาพันธ์ 2554) แสดงในตาราง 9 ผลการวิเคราะห์ความแปรปรวน (analysis of variance, ตาราง ผนวก 1) แสดงให้เห็นว่าทั้งปัจจัยการให้น้ำและชนิดคินที่ปลูกพืชต่างมีผลต่อดัชนีความเครียดของน้ำในพืช โดยการงดให้น้ำให้ทำให้ผักบุ้งมีความเครียดของน้ำเฉลี่ยใน 3 วันแรกสูงขึ้นกว่าที่ได้รับน้ำตามปกติ ขณะเดียวกันความเครียดของน้ำเฉลี่ยก็แಡกต่างกันระหว่างชนิดคินที่ปลูกพืช โดยผักบุ้งที่ปลูกในคินตะกอนลำนา水流มีความเครียดสูงสุด และผักบุ้งที่ปลูกในคินน้ำพองความเครียดสูงสุด

ตาราง 9 ดัชนีความเครียดของน้ำในพืช (CWSI) จากอุณหภูมิใน วันที่ 1-3 ของการทดลองที่ 1

การให้น้ำ	ชนิดคินที่ปลูกพืช				เฉลี่ย
	ชุดคินน้ำพอง	คินตะกอนน้ำพา เชิงซ้อน	ชุดคินดอยปุ่ย	เฉลี่ย	
ให้น้ำปกติ (ควบคุม)	0.25	0.42	0.42	0.36A	
งดให้น้ำ (เกิดวิกฤติ)	0.29	0.56	0.42	0.42B	
เฉลี่ย	0.27c	0.49a	0.42b	0.39	

หมายเหตุ \* ค่าเฉลี่ยในแนวตั้งที่กำกับด้วยอักษรตัวพิมพ์ใหญ่เหมือนกัน แตกต่างกันทางสถิติที่ความน่าจะเป็น 0.05 เมื่อเทียบด้วย Duncan's Multiple range Test

\*\* ค่าเฉลี่ยในแนวตั้งที่กำกับด้วยอักษรตัวพิมพ์เล็กเหมือนกัน แตกต่างกันทางสถิติที่ความน่าจะเป็น 0.05 เมื่อเทียบด้วย Duncan's Multiple range Test

ค่าดัชนีความเครียดของน้ำในพืชเมื่อวันที่ 4-6 หลังจากเริ่มงดให้น้ำ (วันที่ 12-14 กุมภาพันธ์ 2554) แสดงในตาราง 10 ผลการวิเคราะห์ความแปรปรวน (analysis of variance, ตาราง ผนวก 6) แสดงให้เห็นว่าทั้งปัจจัยการให้น้ำและชนิดคินที่ปลูกพืชต่างไม่มีผลต่อดัชนีความเครียดของน้ำในผักบุ้งในช่วงวันที่ 4 – 6 หลังจากการงดให้น้ำ แต่ค่าความเครียดเมทริกของคินวัดได้จากเห็นซิโอมิคเตอร์จะสูงกว่าวันที่ 1-3 ซึ่งค่าความเครียดเมทริกที่วัดได้จากเห็นซิโอมิคเตอร์ของคินตะกอนน้ำพา สูงกว่าชุดคินดอยปุ่ย และชุดคินน้ำพอง

ตาราง 10 ดัชนีความเครียดของน้ำในพืช (CWSI) จากอุณหภูมิใน วันที่ 4-6 ของการทดลองที่ 1

การให้น้ำ	คืนที่ปลูกพืช			เฉลี่ย
	ชุดดินน้ำพอง	คืนตะกอนน้ำพา	ชุดดินดอยบุข	
ควบคุม	0.26	0.36	0.39	0.34
วิกฤติ	0.66	0.48	0.44	0.52
เฉลี่ย	0.46	0.42	0.41	0.43

ค่าดัชนีความเครียดของน้ำในพืชเมื่อวันที่ 7-9 หลังจากเริ่มงดให้น้ำ (วันที่ 15-17 กุมภาพันธ์ 2554) แสดงในตาราง 11 ผลการวิเคราะห์ความแปรปรวน (ตารางผนวก 7) แสดงให้เห็นว่าทั้งปัจจัยการให้น้ำพืชมีผลต่อดัชนีความเครียดของน้ำในผักบุ้งโดยการงดให้น้ำให้ทำให้ผักบุ้งมีความเครียดของน้ำเฉลี่ยใน 3 วันแรกสูงขึ้นกว่าที่ได้รับน้ำทุกวันตามปกติ

ตาราง 11 ดัชนีความเครียดของน้ำในพืช (CWSI) จากอุณหภูมิใน วันที่ 7-9 ของการทดลองที่ 1

การให้น้ำ	คืนที่ปลูกพืช			เฉลี่ย
	ชุดดินน้ำพอง	คืนตะกอนน้ำพา	ชุดดินดอยบุข	
ควบคุม	0.39	0.50	0.42	0.44B
วิกฤติ	0.78	0.69	0.70	0.73A
เฉลี่ย	0.59	0.60	0.56	0.58

หมายเหตุ \* ค่าเฉลี่ยในแนวตั้งที่กำกับด้วยอักษรตัวใหญ่ต่างกัน แตกต่างกันทางสถิติที่ระดับความน่าจะเป็น 0.05 ด้วย Duncan's multiple range test

ค่าดัชนีความเครียดของน้ำในพืชเมื่อวันที่ 10-12 หลังจากเริ่มงดให้น้ำ (วันที่ 18-20 กุมภาพันธ์ 2554) แสดงในตาราง 12 ผลการวิเคราะห์ความแปรปรวน (ตารางผนวก 8) แสดงให้เห็นว่าทั้งปัจจัยการให้น้ำพืชมีผลต่อดัชนีความเครียดของน้ำในผักบุ้งโดยการงดให้น้ำให้ทำให้ผักบุ้งมีความเครียดของน้ำเฉลี่ยใน 3 วันแรกสูงขึ้นกว่าที่ได้รับน้ำทุกวันตามปกติ

ตาราง 12 ดัชนีความเครียดของน้ำในพืช (CWSI) จากอุณหภูมิใบ วันที่ 10-12 ของการทดลองที่ 1

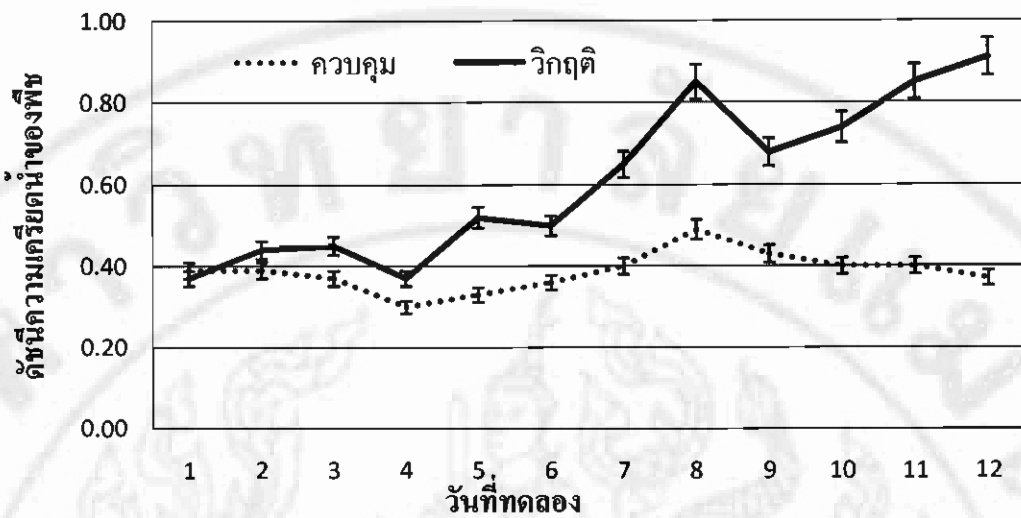
การให้น้ำ	คืนที่ปลูกพืช				เฉลี่ย
	ชุดคืนน้ำพอง	คืนตะกอนน้ำพา เชิงช้อน	ชุดคืนคออบบุญ		
ควบคุม	0.53	0.47	0.35		0.45B
วิกฤติ	0.75	0.88	0.81		0.81A
เฉลี่ย	0.64	0.67	0.58		0.63

หมายเหตุ \* ค่าเฉลี่ยในแต่ตั้งที่กำกับด้วยอักษรดัวพิมพ์ใหญ่เหมือนกัน แตกต่างกันทางสถิติที่ความน่าจะเป็น 0.05 เมื่อเทียบด้วย Duncan's Multiple range Test

เมื่อพิจารณาค่าเฉลี่ยราย 3 วัน ของข้อมูลตลอดช่วงการทดลอง 12 วันพบว่าผักบุ้งที่อยู่ในภาวะวิกฤติ คือถูกงดให้น้ำ มีดัชนีความเครียดของน้ำในพืช (CWSI) จากอุณหภูมิใบที่วัดด้วยกล้อง Thermocamera รุ่น InfraCAM SD (FLIR, Sweden) มากกว่าผักบุ้งที่อยู่ได้รับน้ำตามปกติวันละครึ่ง ตั้งแต่ระยะ 3 วันแรกของการคน้ำ จนเสร็จสิ้นการทดลอง ยกเว้นเพียงช่วงวันที่ 4-6 ของการทดลอง ส่วนปัจจัยด้านชนิดที่ใช้ปลูกพืชไม่มีผลให้ดัชนีความเครียดของน้ำในพืช (CWSI) ต่างกัน ยกเว้นเพียงช่วงวันที่ 4-6 ของการทดลอง

#### ค่าเฉลี่ยรายวันของดัชนีความเครียดของน้ำในพืช (Crop Water Stress Index)

แนวโน้มของค่าเฉลี่ยรายวันของดัชนีความเครียดของน้ำในพืช จากการทดลองในทั้ง 3 ชุดคืนแสดงในภาพ 13 เห็นได้ว่าค่าเฉลี่ยรายวันของดัชนีความเครียดของน้ำในใบผักบุ้งที่ได้รับน้ำทุกวันค่อนข้างคงที่อยู่ที่ประมาณ 0.40 ขณะที่ค่าเฉลี่ยรายวันของดัชนีความเครียดของน้ำในใบผักบุ้งที่ถูกงดให้น้ำมีแนวโน้มเพิ่มขึ้นเกือบตลอดเวลาของการทดลอง 12 วัน ทำให้ความแตกต่างของค่าเฉลี่ยรายวันของดัชนีความเครียดของน้ำในใบพืชระหว่างพืชที่ให้น้ำทุกวันและที่ถูกงดให้น้ำแตกต่างกันมากขึ้นตามระยะเวลาการทดลอง ทั้งหมดแสดงให้เห็นว่ากล้องถ่ายภาพรังสีความร้อน Thermocamera รุ่น InfraCAM SD (FLIR, Sweden) มีประสิทธิภาพสูงในระดับที่สามารถใช้วัดอุณหภูมิใบพืช เพื่อประเมินดัชนีความเครียดของน้ำในพืชได้ดี



ภาพ 13 แนวโน้มของค่าดัชนีความเครียดน้ำของพืชของแปลงที่ให้น้ำเดือนที่เปรียบเทียบกับแปลงที่หยุดการให้น้ำรายวัน (เฉลี่ย 3 ดิน)

#### ความนำของปากใบ (Stomata Conductance) ค่าเฉลี่ยราย 3 วัน

ความนำของปากใบเมื่อวันที่ 1-3 หลังจากเริ่มคงให้น้ำ (วันที่ 9-11 กุมภาพันธ์ 2554) แสดงในตาราง 13 ผลการวิเคราะห์ความแปรปรวน (analysis of variance, ตารางภาคผนวกที่ 9) และแสดงให้เห็นว่าทั้งปัจจัยการให้น้ำและชนิดดินที่ปลูกพืชต่างไม่มีผลต่อความนำของปากใบของผักบุ้งในช่วงวันที่ 1 – 3 หลังจากการคงให้น้ำ

ตาราง 13 ความนำของปากใบของพีช ( $\text{mmol m}^{-2} \text{s}^{-1}$ ) วันที่ 1-3 ของการทดลองที่ 1

การให้น้ำ	คืนที่ปลูกพีช			เฉลี่ย
	ชุดคินน้ำพอง	คืนตะกอนน้ำ พาเชิงช้อน	ชุดคินดอยบุป	
ควบคุม	449.46	549.64	533.59	510.90
วิกฤติ	435.68	559.54	521.45	505.56
เฉลี่ย	442.57	554.59	527.52	508.23

ความนำของปากใบของพีช เมื่อวันที่ 4-6 หลังจากเริ่มคงให้น้ำ (วันที่ 12-14 กุมภาพันธ์ 2554) แสดงในตาราง 14 ผลการวิเคราะห์ความแปรปรวน (analysis of variance, ตาราง ผนวก 10) แสดงให้เห็นว่าทั้งปัจจัยการให้น้ำและชนิดคืนที่ปลูกพีชต่างไม่มีผลต่อความนำของปากใบของพักน้ำในช่วงวันที่ 4 – 6 หลังจากการคงให้น้ำ

ตาราง 14 ความนำของปากใบของพีช ( $\text{mmol m}^{-2} \text{s}^{-1}$ ) วันที่ 4-6 ของการทดลองที่ 1

การให้น้ำ	คืนที่ปลูกพีช			เฉลี่ย
	ชุดคินน้ำพอง	คืนตะกอนน้ำพา เชิงช้อน	ชุดคินดอยบุป	
ควบคุม	585.45	425.19	546.33	518.99
วิกฤติ	372.31	424.27	507.66	434.75
เฉลี่ย	478.88	424.73	527.00	476.87

ความนำของปากใบของพีชเมื่อวันที่ 7-9 หลังจากเริ่มคงให้น้ำ (วันที่ 15-17 กุมภาพันธ์ 2554) แสดงในตาราง 15 ผลการวิเคราะห์ความแปรปรวน (analysis of variance, ตาราง ผนวก 11) แสดงให้เห็นว่าชนิดคืนที่ปลูกพีชมีผลต่อความนำของปากใบของ พักน้ำในช่วงวันที่ 7 – 9 หลังจากการคงให้น้ำ

ตาราง 15 ความนำของปากใบของพืช ( $\text{mmol m}^{-2} \text{s}^{-1}$ ) วันที่ 7-9 ของการทดลองที่ 1

การให้น้ำ	คินที่ปลูกพืช				เฉลี่ย
	ชุดคินน้ำพอง	คินตะกอนน้ำพา เชิงซ้อน	ชุดคินดอยบุญ		
ควบคุม	410.74	530.20	813.61	584.85	
วิกฤติ	317.49	459.55	565.70	447.58	
เฉลี่ย	364.11b	494.88ab	689.66a	516.21	

หมายเหตุ \* ค่าเฉลี่ยในแนวนอนที่กำกับด้วยอักษรตัวพิมพ์เล็กเหมือนกัน แสดงต่างกันทางสถิติที่  
ความน่าจะเป็น 0.05 เมื่อเทียบด้วย Duncan's Multiple range Test

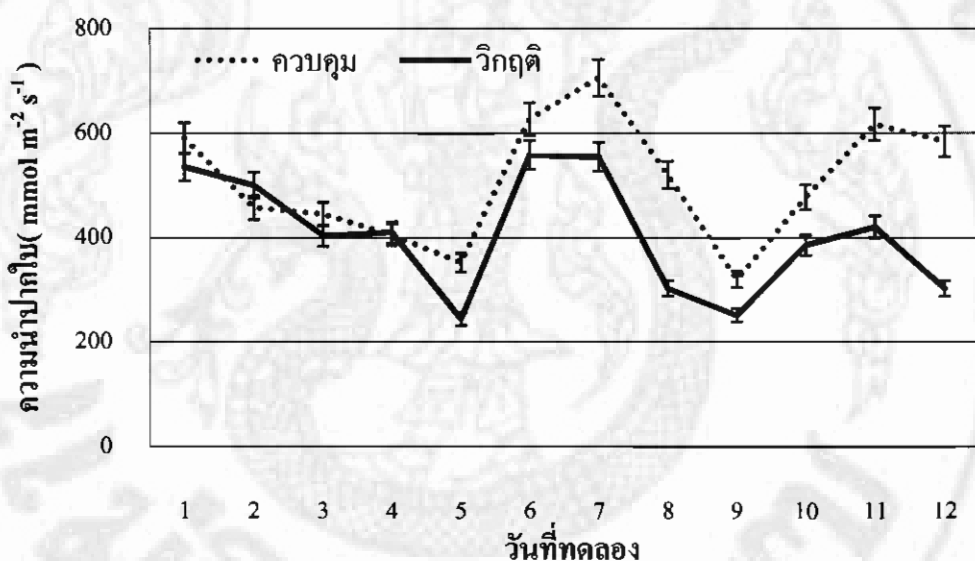
ความนำของปากใบของพืชเมื่อวันที่ 10-12 หลังจากเริ่มงดให้น้ำ (วันที่ 18-20  
กุมภาพันธ์ 2554) แสดงในตาราง 16 ผลการวิเคราะห์ความแปรปรวน (analysis of variance, ตาราง  
ผนวก 12) แสดงให้เห็นว่าทั้งปัจจัยการให้น้ำพืช และชนิดของคินต่างไม่มีผลต่อความนำของปาก  
ใบของพักน้ำในช่วงวันที่ 10 – 12 หลังจากการงดให้น้ำ

ตาราง 16 ความนำของปากใบของพืช ( $\text{mmol m}^{-2} \text{s}^{-1}$ ) วันที่ 10-12 ของการทดลองที่ 1

การให้น้ำ	คินที่ปลูกพืช				เฉลี่ย
	ชุดคินน้ำพอง	คินตะกอนน้ำพา เชิงซ้อน	ชุดคินดอยบุญ		
ควบคุม	256.04	597.07	657.51	503.54	
วิกฤติ	201.68	405.87	436.75	348.10	
เฉลี่ย	228.86	501.47	547.13	425.82	

### ค่าเฉลี่ยรายวันความนำของป่ากใบ (Stomata Conductance)

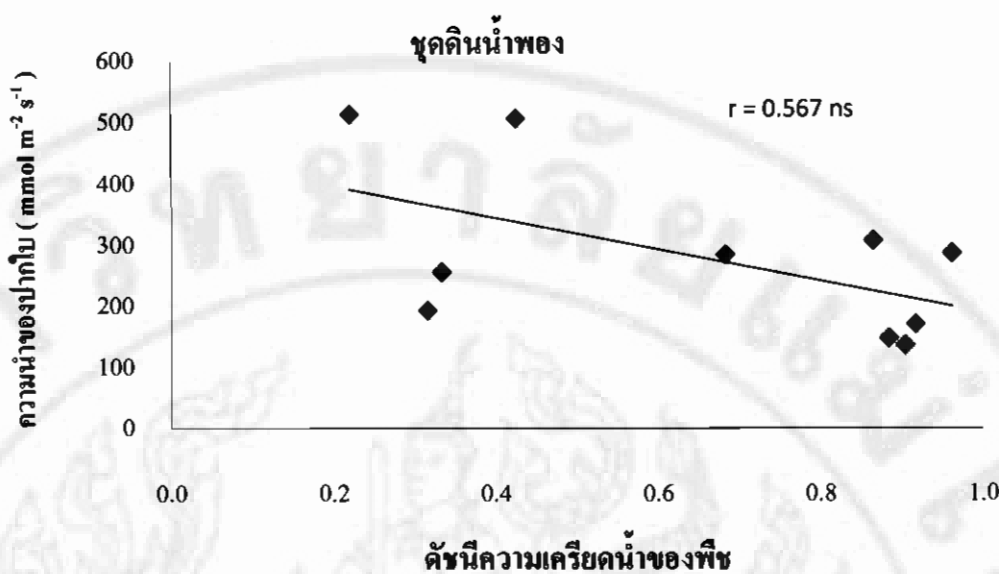
แนวโน้มของค่าเฉลี่ยรายวันของความนำของป่ากใบ จากการทดลองในทั้ง 3 ชุด คืนทดสอบในภาพ 14 เห็นได้ว่า ค่าเฉลี่ยรายวันของความนำของป่ากใบของผักบุ้งที่ให้น้ำทุกวันและที่ถูกดูดน้ำให้น้ำไกล์เคียงกันมากในช่วง 6 วันแรกของการทดลอง และเริ่มแตกต่างกันเล็กน้อย (อย่างไม่มีนัยสำคัญทางสถิติ) ในช่วง 6 วันหลังของการทดลอง แต่ความแตกต่างนี้ยังน้อยกว่าความผันแปรของค่าเฉลี่ยรายวันที่ผันแปรระหว่างวันต่อวัน แสดงให้เห็นว่า ความนำของป่ากใบที่วัดโดย porometer รุ่น SC-1 กับใบผักบุ้งที่โคนแคดโดยตรง ที่จะในจำนวน 5 ใบในแต่ละชั้นของแต่ละวิธีการ ให้น้ำนั้นผันแปรตาม microclimate ของอากาศในโรงเรือนแต่ละวันมากกว่าความเครียดของน้ำในพืช



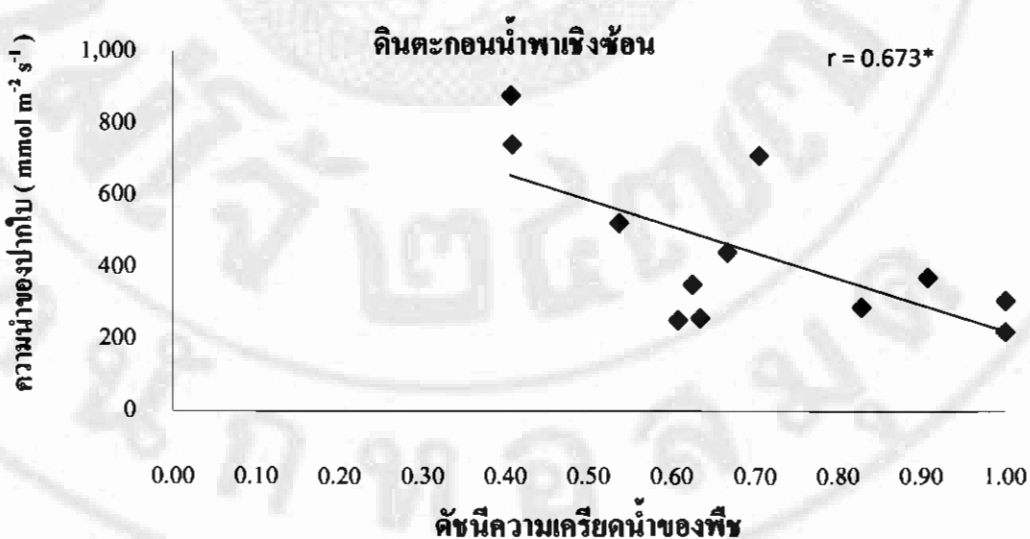
ภาพ 14 ความนำของป่ากใบ (Stomata Conductance) ของแปลงที่ให้น้ำเต็มที่เปรียบเทียบกับแปลงที่หยุดการให้น้ำรายวัน (เฉลี่ย 3 คืน)

### ความสัมพันธ์ ดัชนีความเครียดน้ำของพืช กับ ความนำของป่ากใบ

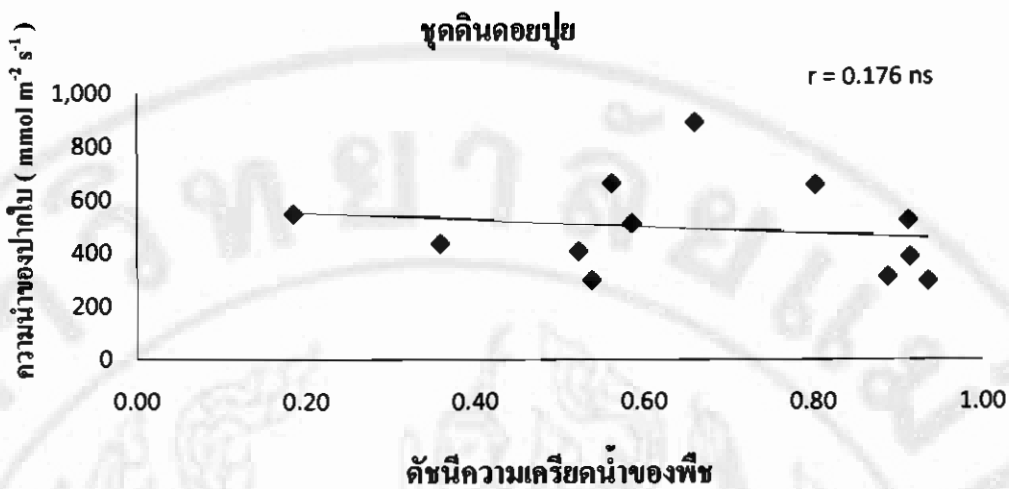
ภาพ 15–17 แสดงความสัมพันธ์ระหว่างดัชนีความเครียดน้ำของพืชกับความนำของป่ากใบของใบผักบุ้งในแต่ละชุดคืน พบร่วมกันว่าความสัมพันธ์ระหว่างดัชนีความเครียดน้ำของพืชกับความนำของป่ากใบของใบผักบุ้งในคืนทั้ง 3 ชุดคืน ไม่มีนัยสำคัญทางสถิติเลย



ภาพ 15 ความสัมพันธ์ ตัวอย่างความเครียดค่าน้ำของพืช กับ ความนำของป่ากใบในชุดคินน้ำพอง ( $ns =$  ความสัมพันธ์ไม่มีนัยสำคัญทางสถิติ)



ภาพ 16 ความสัมพันธ์ ตัวอย่างความเครียดค่าน้ำของพืช กับ ความนำของป่ากใบในดินตะกอนน้ำพาราเชิงซ้อน (\* = ความสัมพันธ์มีนัยสำคัญทางสถิติที่ระดับความน่าจะเป็น 0.95)



ภาพ 17 ความสัมพันธ์ ตัวชี้วัดความเครียดนำ้ของพืช กับ ความนำ้ของปากใบในชุดคิดดอยปุย ( $ns =$  ความสัมพันธ์ไม่มีนัยสำคัญทางสถิติ)

#### ความเครียดเเมททริกของความชื้นดินในแปลงถูกงดให้น้ำ

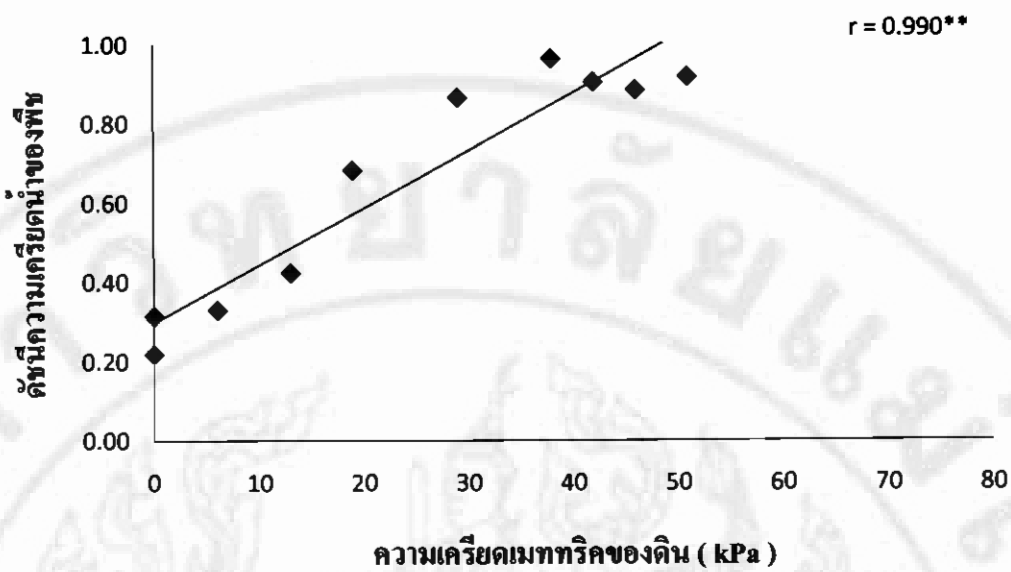
ความเครียดเเมททริกของความชื้นดินในแปลงถูกงดให้น้ำ (วิกฤติ) ของคินทั้ง 3 ชุดคินแสดงเป็นรายวันในตาราง 17 และภาพ 13 แสดงแนวโน้มการเปลี่ยนแปลงของความเครียดเเมททริกของความชื้นดินของคินทั้ง 3 ชุดคิน เมื่อระยะเวลาการงดให้น้ำนานขึ้นความเครียดของความชื้นดินทั้ง 3 ชุดคินเพิ่มขึ้นอย่างสม่ำเสมอ

ตาราง 17 ความเครียดเมททริกของความชื้นดินรายวันในแปลงถูกงดให้น้ำ (วิกฤติ) (kPa)

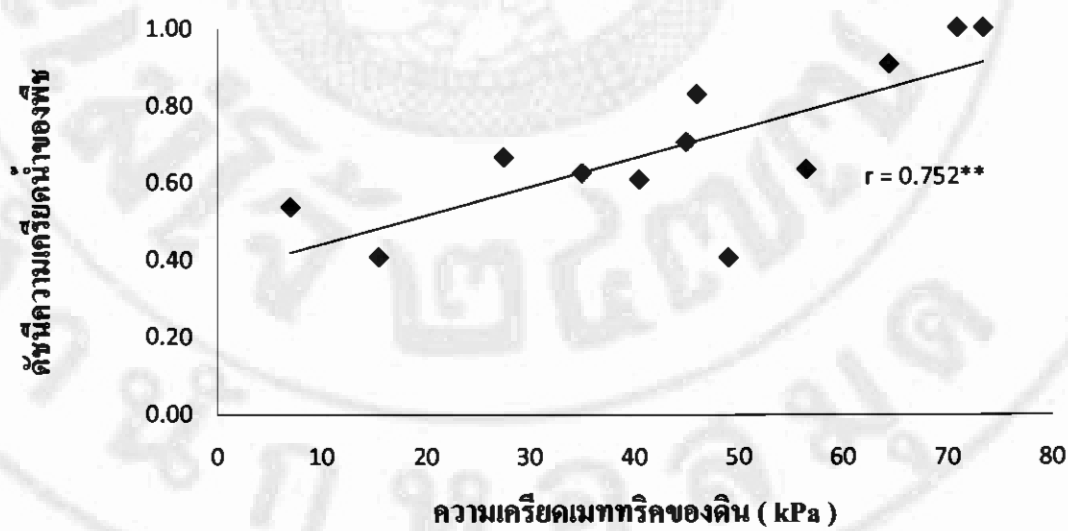
วันที่ทดลอง (วันที่)	ชุดคินน์พอง	คินตะกอนน้ำพา		ชุดคินดอยบุย
		เชิงซ้อน	เชิงผ่าน	
1( 9/2/54)	0	10		5
2(10/2/54)	1	10		6
3(11/2/54)	7	15		11
4(12/2/54)	21	38		30
5(13/2/54)	34	51		43
6(14/2/54)	55	69		62
7(15/2/54)	64	76		70
8(16/2/54)	71	82		77
9(17/2/54)	72	83		78
10(18/2/54)	77	85		81
11(19/2/54)	79	85		82
12(20/2/54)	80	85		83

ความสัมพันธ์ ดัชนีความเครียดนำของพืชกับ ความเครียดเมททริก (metric suction)

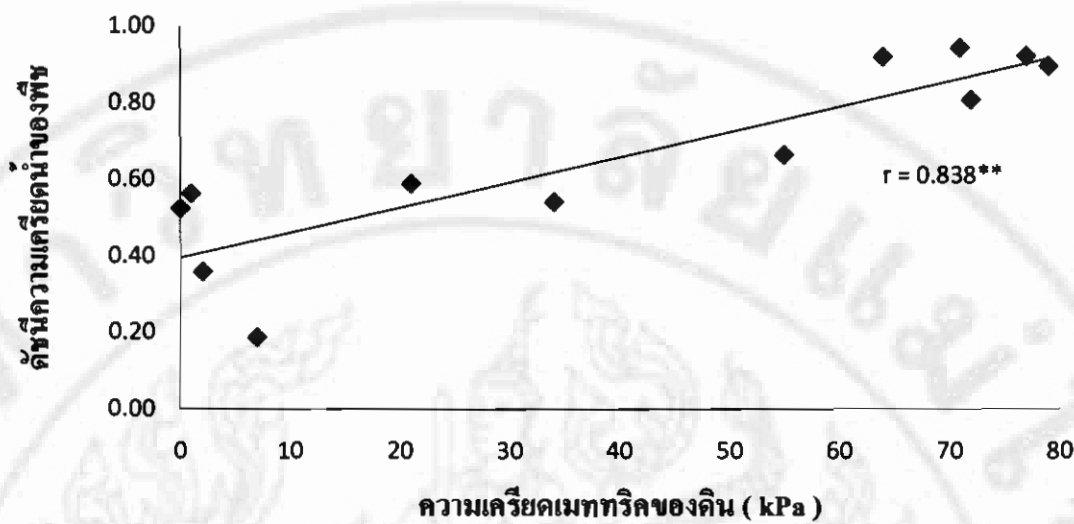
ภาพ 18-20 แสดงความสัมพันธ์ระหว่างดัชนีความเครียดนำของพืชกับความเครียดเมททริกของดินในแต่ละชุดคิน พบร่วม ความสัมพันธ์ระหว่างดัชนีความเครียดนำของพืชกับความเครียดเมททริกของดินในดินทั้ง 3 ชุดคินมีนัยสำคัญทางสถิติเลข



ภาพ 18 ความสัมพันธ์ระหว่าง ดัชนีความเครียดน้ำของพืช กับ ความเครียดเมกกะกริคของดินจาก แปลงวิกฤติของ ชุดดินน้ำพอง (\*\* = ความสัมพันธ์มีนัยสำคัญทางสถิติที่ระดับความน่าจะ เป็น 0.99)



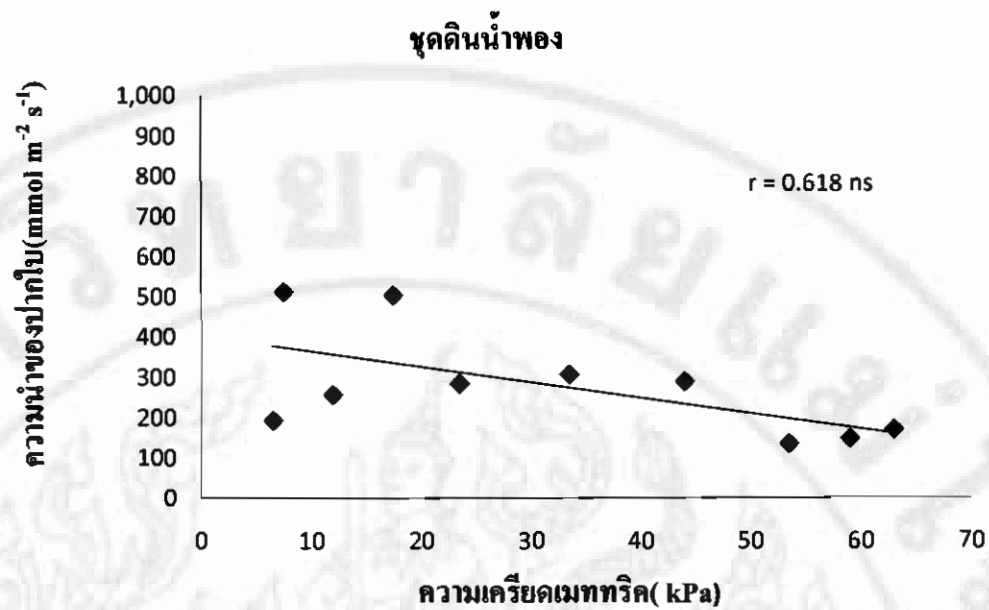
ภาพ 19 ความสัมพันธ์ระหว่าง ดัชนีความเครียดน้ำของพืช กับ ความเครียดเมกกะกริคของดินจาก แปลงวิกฤติ ของชุดดินตะกอนน้ำพาเชิงซ้อน (\*\* = ความสัมพันธ์มีนัยสำคัญทางสถิติที่ ระดับความน่าจะเป็น 0.99)



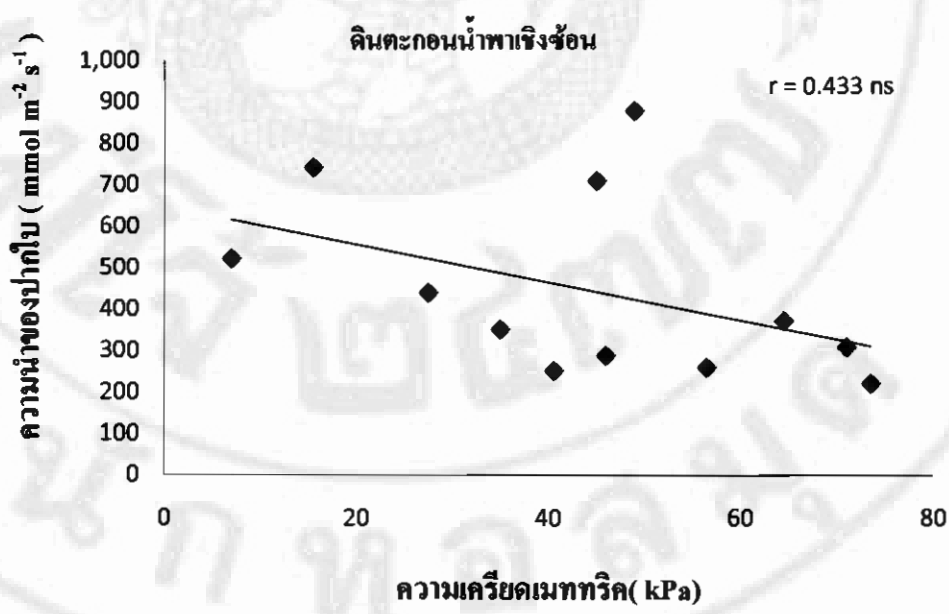
ภาพ 20 ความสัมพันธ์ระหว่าง ตัวนีความเครียดน้ำของพืช กับ ความเครียดเมททริกของดินจาก แปลงวิกฤติ ของชุดคินตอนบน (\*\* = ความสัมพันธ์มีนัยสำคัญทางสถิติที่ระดับความน่าจะ เป็น 0.99)

#### ความสัมพันธ์ ความนำของปากใบของพืชกับ ความเครียดเมททริก (metric suction)

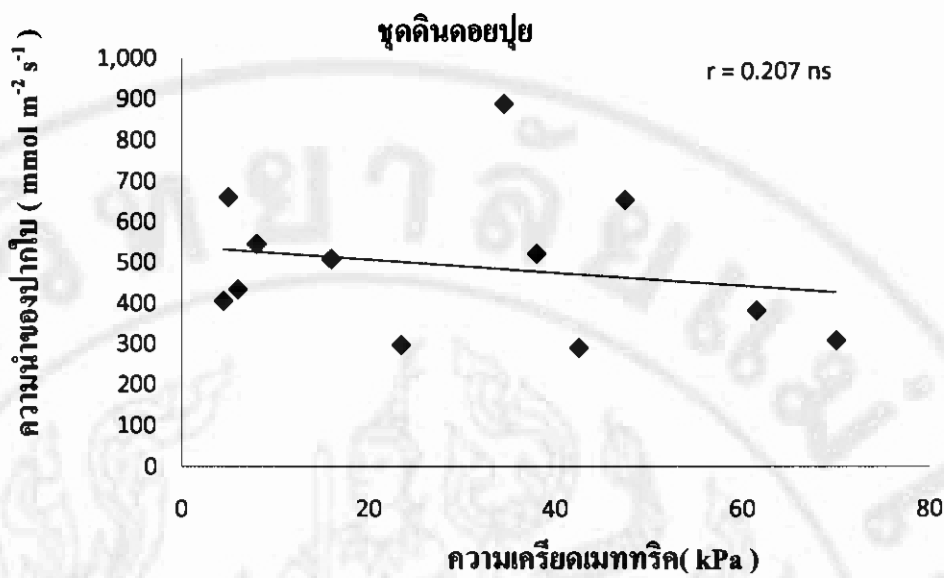
ภาพ 21-23 แสดงความสัมพันธ์ระหว่างความนำของปากใบของพืชกับความเครียด เมททริกของดินในแต่ละชุดคิน พนบว่า ความสัมพันธ์ระหว่างความนำของปากใบของพืชกับ ความเครียดเมททริกของดินในคินทั้ง 3 ชุดคินไม่มีนัยสำคัญทางสถิติเลย



ภาพ 21 ความสัมพันธ์ ความนำของปูกลในของพืชกับ ความเครียดเมททริก ในชุดคินน้ำพอง ( $ns =$  ความสัมพันธ์ไม่มีนัยสำคัญทางสถิติ)



ภาพ 22 ความสัมพันธ์ ความนำของปูกลในของพืช กับ ความเครียดเมททริก ในดินตะกอนน้ำพานำเข้าช้อน ( $ns =$  ความสัมพันธ์ไม่มีนัยสำคัญทางสถิติ)



ภาพ 23 ความสัมพันธ์ ความนำของปากใบของพืช กับ ความเครียดเมททริก ในชุดคินคอยบุญ ( $ns =$  ความสัมพันธ์ไม่มีนัยสำคัญทางสถิติ)

## ผลการทดลองที่ 2 การศึกษาดัชนีความเครียดของน้ำในพืชของ

ผักบุ้งโดยใช้กล้อง Thermocamera รุ่น

VarioCAMHiRes 384 sI

(Infratec, Germany)

### ภูมิอากาศในโรงเรือนระหว่างการทดลอง

ภูมิอากาศในโรงเรือนระหว่างการทดลอง ได้แก่ ภูมิอากาศ ความชื้นสัมพัทธ์ของอากาศ ความเร็วลม และการระเหยน้ำ แสดงในตารางที่ 18 พบว่า อุณหภูมิอากาศเฉลี่ยของอากาศ มีแนวโน้มเพิ่มขึ้น ตั้งแต่ช่วง วันที่ 3 ของการทดลอง ที่อุณหภูมิอากาศเฉลี่ย เพิ่มขึ้นจาก  $19.81^{\circ}\text{C}$  เป็น  $25.05^{\circ}\text{C}$  ขณะที่ความชื้นสัมพัทธ์เฉลี่ยของอากาศก็ไม่มีแนวโน้มลดลง แต่การระเหยน้ำมีแนวโน้มเพิ่มขึ้น

### ตาราง 18 สภาพภูมิอากาศระหว่างการทดลองที่ 2

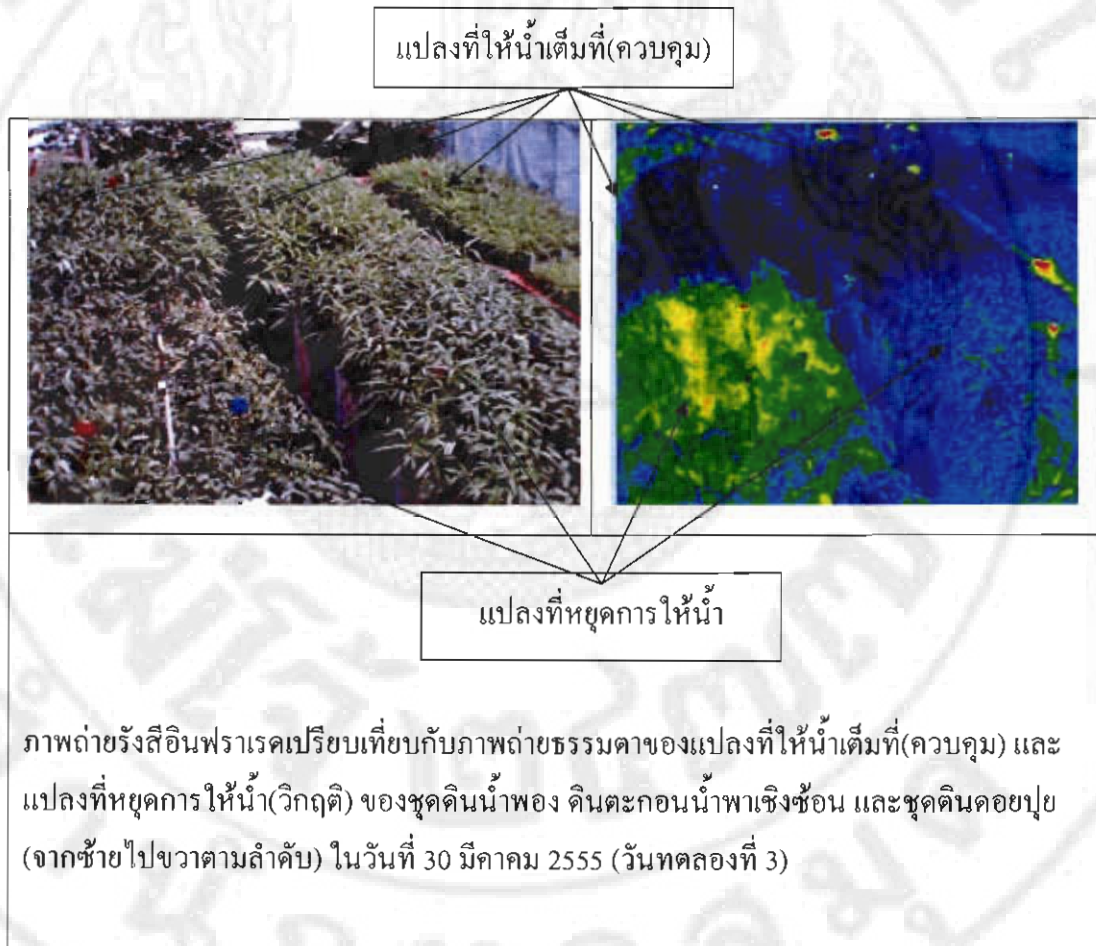
วันที่ทดลอง (วันที่)	อุณหภูมิ, ( $^{\circ}\text{C}$ )			ความชื้นสัมพัทธ์, (%)			ความรื่น ลม <sup>1</sup> , (ม./ วินาที)	การ ระเหย น้ำ <sup>2</sup> , (มม./วัน)
	สูงสุด	ต่ำสุด	เฉลี่ย	สูงสุด	ต่ำสุด	เฉลี่ย		
1 (28/3/54)	25.20	19.90	21.92	77.00	59.00	69.38	0.00	2.1
2 (29/3/54)	21.50	19.10	19.81	72.00	66.00	70.67	0.00	2.45
3 (30/3/54)	30.30	19.60	25.05	81.00	46.00	60.60	0.08	1.87
4 (31/4/54)	33.80	16.30	24.30	90.00	41.00	67.71	0.14	2.54
5 (1/4/54)	36.50	18.90	26.93	91.00	35.00	67.21	0.03	5.42
6 (2/4/54)	38.20	21.80	28.61	87.00	34.00	65.79	0.01	4.1
7 (3/4/54)	38.30	20.30	27.89	89.00	34.00	66.63	0.07	4.23
8 (4/4/54)	41.10	20.00	28.24	87.00	27.00	62.21	0.03	4.77
9 (9/4/54)	36.50	22.50	27.75	92.00	55.00	76.67	0.05	5.3
10 (10/4/54)	34.70	22.30	28.32	90.00	55.00	74.46	0.05	3.6
11 (11/2/54)	38.90	23.20	28.65	93.00	47.00	72.67	0.04	1.5

หมายเหตุ <sup>1</sup>วัดจาก ชุดเครื่องมือตรวจอากาศ (weather station)

<sup>2</sup>วัดจาก American Class A pan

### ถ่ายภาพความร้อนด้วยรังสีอินฟราเรด

ตัวอย่างภาพถ่ายความร้อนด้วยรังสีอินฟราเรดของวันหนึ่งของการทดลอง คืนที่ 3 ชุดคินพร้อมกับภาพถ่ายสีปกติเมื่อเวลาเดียวกัน ของแปลงผักบุ้งที่แสดงในภาพ 24 ในภาพถ่ายความร้อนด้วยรังสีอินฟราเรดแต่ละภาพมีพื้นที่ใบ ที่ได้รับการจัดการค่างกัน คือ เรือนยอดของผักบุ้งที่ดัดให้น้ำ (วิกฤติ) เรือนยอดของผักบุ้งที่ใบถูกเคลือบด้วยยาสีนีเรือนยอดของผักบุ้งที่ได้รับน้ำทุกวัน (ควบคุม) และ เรือนยอดของผักบุ้งที่ใบถูกพ่นด้วยละอองน้ำที่มีสีซึ่งแสดงระดับอุณหภูมิค่างกัน



ภาพ 24 ภาพถ่ายจากกล้อง Thermocamera รุ่น VarioCAMHiRes 384 sl (Infratec, Germany)

### อุณหภูมิใบพืชที่ได้รับการจัดการต่างกัน 4 แบบ ได้แก่ ใบทึ่งคให้น้ำ (วิกฤติ) ในฤดูกาลเมืองคัวบากในพืชที่ได้รับน้ำทุกวัน (ควบคุม) และ ที่ใบถูกพ่นคัวบลดลงน้ำและความนำของปากใบของใบทึ่งคให้น้ำ (วิกฤติ) และใบพืชที่ได้รับน้ำทุกวันเป็นรายวันของแต่ละเดือนที่ใช้ในการทดลองแสดงในตาราง 19-21

ตาราง 19 อุณหภูมิใบและความนำของป่ากใบของผักบุ้งปลูกในชุดคินน้ำพอง

วันที่ทดลอง (วันที่) ต่อสุด (°ช)	อุณหภูมิใบ พืชสำเร็จ อ้างอิงสูงสุด (°ช)	อุณหภูมิใบพืช อ้างอิงสูงสุด (°ช)	อุณหภูมิพืชทดลอง (°ช)		ความนำของป่ากใบ (mmol m <sup>-2</sup> s <sup>-1</sup> )		ดัชนีความเครียดนำของพืช (CWSI)	
			ควบคุม	เกิดวิกฤติ	ควบคุม	เกิดวิกฤติ	ควบคุม	เกิดวิกฤติ
1 (28/4/54)	25.6	27.1	26.0	26.3	242	263	0.33	0.47
2 (29/4/54)	29.8	31.4	30.3	30.4	174	365	0.30	0.40
3 (30/4/54)	30.4	34.9	31.3	33.6	1,000	878	0.21	0.71
4 (2/4/54)	30.1	32.1	31.3	31.0	458	510	0.63	0.49
5 (3/4/54)	32.9	38.8	34.0	36.7	313	197	0.21	0.72
6 (4/4/54)	27.9	31.1	28.6	30.6	783	576	0.21	0.84
7 (9/4/54)	28.3	30.4	28.7	30.4	168	476	0.2	0.98
8 (10/4/54)	26.9	28.6	27.4	28.4	193	157	0.26	0.85
9 (11/4/54)	32.0	41.3	33.5	41.3	416	304	0.15	0.99

ตาราง 20 อุณหภูมิใบและความนำของปากใบของพักน้ำปูกในดินตะกอนน้ำพาเชิงซ้อน

วันที่ทดลอง (วันที่)	อุณหภูมิใบพีช		อุณหภูมิใบพีช		อุณหภูมิพีชทดลอง (°ช)		ความนำของปากใบ (mmol m <sup>-2</sup> s <sup>-1</sup> )		ดัชนีความเครียดนำของพีช (CWSI)	
	อ้างอิงค่าสุด (°ช)	อ้างอิงสูงสุด (°ช)	อ้างอิงค่าสุด (°ช)	อ้างอิงสูงสุด (°ช)	ความคุณ	เกิดวิกฤติ	ความคุณ	เกิดวิกฤติ	ความคุณ	เกิดวิกฤติ
1 (28/4/54)	25.5	27.9	25.9	26.1	239	202	0.16	0.25		
2 (29/4/54)	28.0	33.1	28.7	29.5	143	266	0.14	0.30		
3 (30/4/54)	32.2	35.5	32.9	32.8	596	620	0.23	0.19		
4 (2/4/54)	32.2	35.2	33.1	31.5	504	413	0.66	0.60		
5 (3/4/54)	32.9	41.1	33.7	38.5	287	308	0.10	0.66		
6 (4/4/54)	27.3	29.5	28.1	29.1	858	786	0.36	0.80		
7 (9/4/54)	28.6	29.5	29.1	29.4	136	299	0.56	0.87		
8 (10/4/54)	27.3	28.4	27.4	28.1	233	143	0.10	0.72		
9 (11/4/54)	31.8	41.2	33.0	39.3	251	241	0.13	0.79		

ตาราง 21 อุณหภูมิใบและความนำของปากใบของผักบุ้งปลูกในชุดดินคอนบุญ

วันที่ทดลอง (วันที่)	อุณหภูมิใบพืช		อุณหภูมิพืชทดลอง		ความนำของปากใบ		ดัชนีความเครียดนำของพืช (CWSI)	
	อ้างอิงค่าสูด (°ซ)	อ้างอิงสูงสุด (°ซ)	อุณหภูมิพืชทดลอง (°ซ)	ความคุณ	เกิดวิกฤติ	ความคุณ	เกิดวิกฤติ	ความคุณ
1 (28/4/54)	27.1	28.6	27.7	27.5	208	202	0.40	02.6
2 (29/4/54)	28.6	33.7	29.9	31.3	172	185	0.35	0.45
3 (30/4/54)	33.0	36.8	34.7	34.4	623	479	0.36	0.44
4 (2/4/54)	31.9	33.3	32.5	33.1	346	344	0.40	0.88
5 (3/4/54)	30.1	41.7	31.6	40.1	218	189	0.13	0.86
6 (4/4/54)	28.0	31.3	29.0	31.0	577	503	0.31	0.92
7 (9/4/54)	28.8	29.7	28.9	29.4	122	141	0.15	0.64
8 (10/4/54)	26.8	28.7	27.5	28.4	231	198	0.40	8.86
9 (11/4/54)	32.2	39.9	24.6	38.2	128	210	0.32	0.78

### ค่าดัชนีความเครียดน้ำของพืช (CWSI)

ค่าดัชนีความเครียดของน้ำในพืชเมื่อวันที่ 1-3 หลังจากเริ่มงดให้น้ำ (วันที่ 28 มีนาคม – 1 เมษายน 2554) แสดงในตาราง 22 ผลการวิเคราะห์ความแปรปรวน (analysis of variance, ตารางผนวก 15) แสดงให้เห็นว่าทั้งปัจจัยการให้น้ำและชนิดเดินที่ปลูกพืชต่างไม่มีผลต่อ ดัชนีความเครียดของน้ำในผักบุ้งในช่วงวันที่ 1 – 3 หลังจากการงดให้น้ำ

ตาราง 22 ค่าดัชนีความเครียดน้ำของพืช (CWSI) วันที่ 1-3 ของการทดลองที่ 2

การให้น้ำ	คืนที่ปลูกพืช			เฉลี่ย
	ชุดเดินน้ำพอง	คืนตะกอนน้ำพา เชิงซ้อน	ชุดเดินดอยบุข	
ควบคุม	0.38	0.35	0.53	0.42
วิกฤติ	0.41	0.30	0.36	0.36
เฉลี่ย	0.39	0.33	0.45	0.39

ค่าดัชนีความเครียดของน้ำในพืชเมื่อวันที่ 4-6 หลังจากเริ่มงดให้น้ำ (วันที่ 2-4 เมษายน 2554) แสดงในตาราง 23 ผลการวิเคราะห์ความแปรปรวน (analysis of variance, ตารางผนวก 16) แสดงให้เห็นว่าทั้งปัจจัยการให้น้ำและชนิดเดินที่ปลูกพืชต่างไม่มีผลต่อ ดัชนีความเครียด ของน้ำในผักบุ้งในช่วงวันที่ 4 – 6 หลังจากการงดให้น้ำ

ตาราง 23 ค่าดัชนีความเครียดน้ำของพืช (CWSI) วันที่ 4-6 ของการทดลองที่ 2

การให้น้ำ	คืนที่ปลูกพืช			เฉลี่ย
	ชุดเดินน้ำพอง	คืนตะกอนน้ำพา เชิงซ้อน	ชุดเดินดอยบุข	
ควบคุม	0.44	0.56	0.45	0.49
วิกฤติ	0.58	0.59	0.65	0.61
เฉลี่ย	0.51	0.58	0.55	0.55

ค่าดัชนีความเครียดของน้ำในพืชเมื่อวันที่ 7-9 หลังจากเริ่มงดให้น้ำ (วันที่ 9-11 เมษายน 2554) แสดงในตาราง 24 ผลการวิเคราะห์ความแปรปรวน (analysis of variance, ตาราง พนวก 17) แสดงให้เห็นว่าทั้งปัจจัยการให้น้ำและชนิดเดินที่ปลูกพืชต่างมีผลต่อดัชนีความเครียดของน้ำในพักบูร์ในช่วงวันที่ 7 – 9 หลังจากการงดให้น้ำ

ตาราง 24 ค่าดัชนีความเครียดน้ำของพืช (CWSI) วันที่ 7-9 ของการทดลองที่ 2

การให้น้ำ	ดินที่ปลูกพืช				เฉลี่ย
	ชุดคินน้ำพอง	ดินตะกอนน้ำพา เชิงซ้อน	ชุดคินดอยปุย	เฉลี่ย	
ควบคุม	0.59	0.72	0.66	0.66B	
วิกฤติ	0.88	0.81	0.59	0.76A	
เฉลี่ย	0.73a	0.77a	0.63b	0.71	

หมายเหตุ \* ค่าเฉลี่ยในแนวตั้งที่กำกับด้วยอักษรดัวใหญ่ดังกัน แตกต่างกันทางสถิติที่ระดับความน่าจะเป็น 0.05 ด้วย Duncan's multiple range test

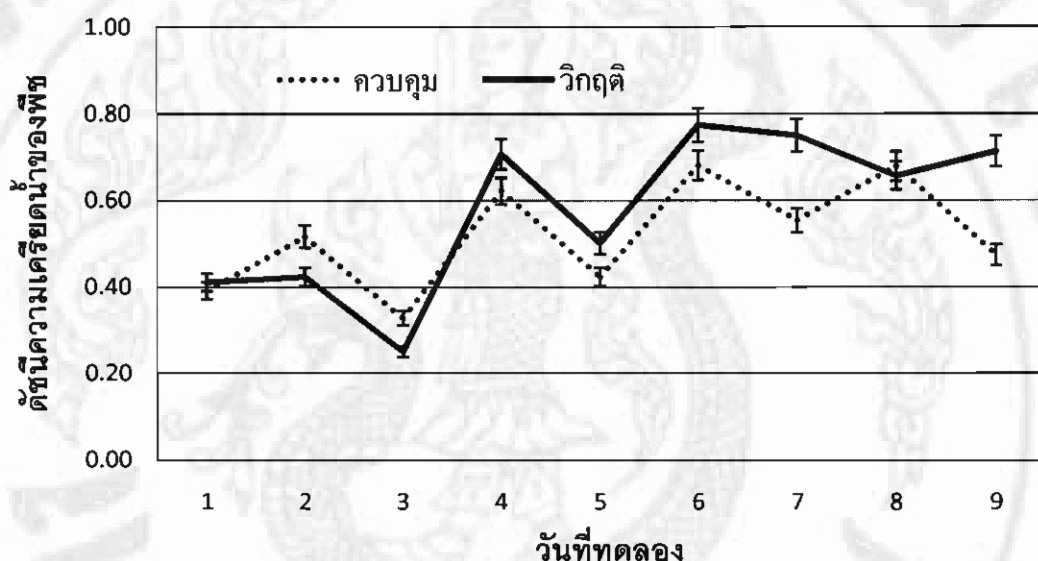
\*\* ค่าเฉลี่ยในแนวโน้มที่กำกับด้วยอักษรดัวเล็กดังกัน แตกต่างกันทางสถิติที่ระดับความน่าจะเป็น 0.05 ด้วย Duncan's multiple range test

เมื่อพิจารณาค่าเฉลี่ยราย 3 วัน ของข้อมูลตลอดช่วงการทดลอง 12 วันพบว่าพักบูร์ที่อยู่ในภาวะวิกฤติ คือถูกงดให้น้ำ มีดัชนีความเครียดของน้ำในพืช (CWSI) จากอุณหภูมิในที่วัดโดยกล้อง Thermocamera รุ่น VarioCAMHiRes 384 s1 (Infratec, Germany) มากกว่าพักบูร์ที่อยู่ได้รับน้ำตามปกติวันละครึ่ง ตั้งแต่ระยะ 3 วันแรกของการทดลอง จนเสร็จสิ้นการทดลอง ยกเว้นเพียงช่วงวันที่ 1-3 ของการทดลอง ส่วนปัจจัยด้านชนิดเดินที่ใช้ปลูกพืชไม่มีผลให้ดัชนีความเครียดของน้ำในพืช (CWSI) ต่างกัน ยกเว้นเพียงช่วงวันที่ 7-9 ของการทดลอง

#### ค่าเฉลี่ยรายวันของดัชนีความเครียดของน้ำในพืช (Crop Water Stress Index)

แนวโน้มของค่าเฉลี่ยรายวันของดัชนีความเครียดของน้ำในพืช จากการทดลองในทั้ง 3 ชุดคิน แสดงในภาพ 25 เห็นได้ว่าค่าเฉลี่ยรายวันของดัชนีความเครียดของน้ำในใบพักบูร์ที่ได้รับน้ำทุกวันอยู่ที่ประมาณ 0.25 - 0.68 ขณะที่ค่าเฉลี่ยรายวันของดัชนีความเครียดของน้ำในใบ

ผักบุ้งที่ถูกงดให้น้ำมีแนวโน้มเพิ่มขึ้นเกือบทลอดเวลาของการทดลอง 9 วัน ทำให้ความแตกต่างของค่าเฉลี่ยรายวันของดัชนีความเครียดของน้ำในใบพิชระห่างพิชที่ให้น้ำทุกวันและที่ถูกงดให้น้ำแตกต่างกันมากขึ้นตามระยะเวลาการทดลอง ทั้งหมดแสดงให้เห็นว่ากล้องถ่ายภาพรังสีความร้อน Thermocamera รุ่น VarioCAMHiRes 384 sl (Infratec, Germany) มีประสิทธิภาพในระดับที่สามารถใช้วัดอุณหภูมิใบพิชในระดับหนึ่ง เพื่อประเมินดัชนีความเครียดของน้ำในพิชได้ดี



ภาพ 25 แนวโน้มของค่าดัชนีความเครียดน้ำของพิชของแปลงที่ให้น้ำเดือนที่เปรียบเทียบกับแปลงที่หยุดการให้น้ำเฉลี่ย 3 คืนรายวัน

### ความนำของปากใบของพิช

ความนำของปากใบของพิชเมื่อวันที่ 1-3 หลังจากเริ่งดให้น้ำ (วันที่ 28มีนาคม -1 เมษายน 2554) แสดงในตาราง 25 ผลการวิเคราะห์ความแปรปรวน (analysis of variance, ตารางผนวก 18) แสดงให้เห็นว่าปัจจัยนิดเดียวที่ปลูกพิชมีผลต่อความนำของปากใบของผักบุ้งในช่วงวันที่ 1 – 3 หลังจากการดให้น้ำ

ตาราง 25 ความนำของป่ากใบของพืช ( $\text{mmol m}^{-2} \text{s}^{-1}$ ) วันที่ 1-3 ของการทดลองที่ 2

การให้น้ำ	คินที่ปูกลพืช			เฉลี่ย
	ชุดคินน้ำพอง	คินตะกอนน้ำพา เชิงซ้อน	ชุดคินดอยบุข	
ควบคุม	471.96	325.95	333.98	377.29
วิกฤติ	501.76	362.5	288.82	384.36
เฉลี่ย	486.86a	344.22b	311.4b	380.83

หมายเหตุ \* ค่าเฉลี่ยในแนวนอนที่กำกับด้วยอักษรตัวเล็กต่างกัน แตกต่างกันทางสถิติที่ระดับความน่าจะเป็น 0.05 ด้วย Duncan's multiple range test

ความนำของป่ากใบของพืชเมื่อวันที่ 4-6 หลังจากเริ่มงดให้น้ำ (วันที่ 2-4 เมษายน 2554) แสดงในตาราง 26 ผลการวิเคราะห์ความแปรปรวน (analysis of variance, ตารางผนวก 19) แสดงให้เห็นว่าปัจจัยชนิดเดียวที่ปูกลพืชมีผลต่อความนำของป่ากใบผักบุ้งในช่วงวันที่ 4 – 6 หลังจากงดให้น้ำ

ตาราง 26 ความนำของป่ากใบของพืช ( $\text{mmol m}^{-2} \text{s}^{-1}$ ) วันที่ 4-6 ของการทดลองที่ 2

การให้น้ำ	คินที่ปูกลพืช			เฉลี่ย
	ชุดคินน้ำพอง	คินตะกอนน้ำพา เชิงซ้อน	ชุดคินดอยบุข	
ควบคุม	421.23	426.92	305.91	384.69
วิกฤติ	416.38	464.28	277.65	386.1
เฉลี่ย	418.8a	445.6a	291.78b	385.39

หมายเหตุ \* ค่าเฉลี่ยในแนวนอนที่กำกับด้วยอักษรตัวเล็กต่างกัน แตกต่างกันทางสถิติที่ระดับความน่าจะเป็น 0.05 ด้วย Duncan's multiple range test

ความนำของปากใบของพืชเมื่อวันที่ 7-9 หลังจากเริ่งดให้น้ำ (วันที่ 9-11เมษายน 2554) แสดงในตาราง 27 ผลการวิเคราะห์ความแปรปรวน (analysis of variance, ตารางผนวก 20) แสดงให้เห็นว่าปัจจัยการให้น้ำพืชมีผลต่อความนำของปากใบผักบุ้งในช่วงวันที่ 7-9 หลังจากการดให้น้ำ

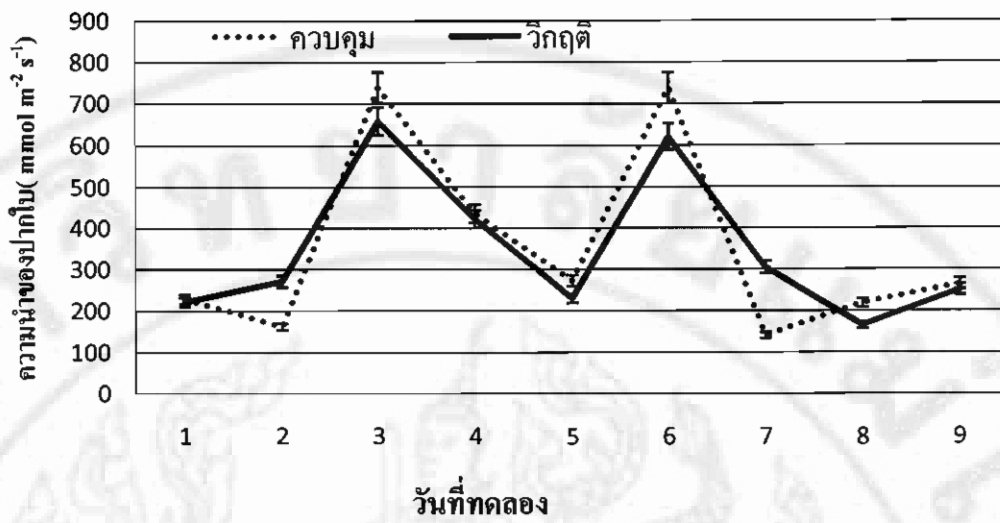
ตาราง 27 ความนำของปากใบของพืช ( $\text{mmol m}^{-2} \text{s}^{-1}$ ) วันที่ 7-9 ของการทดลองที่ 2

การให้น้ำ	คินที่ปลูกพืช			เฉลี่ย
	ชุดคินน้ำพอง	คินตะกอนน้ำพา เขิงช้อน	ชุดคินดอยบุข	
ควบคุม	472.15	377.35	321.1	390.2A
วิกฤติ	209.54	355.23	315.24	293.33B
เฉลี่ย	340.84	366.29	318.17	341.77

หมายเหตุ \* ค่าเฉลี่ยในแนวตั้งที่กำกับด้วยอักษรดัวในกลุ่มต่างกัน แยกค่างกันทางสถิติที่ระดับความน่าจะเป็น 0.05 ด้วย Duncan's multiple range test

### ความนำของปากใบ (Stomata Conductance) รายวัน

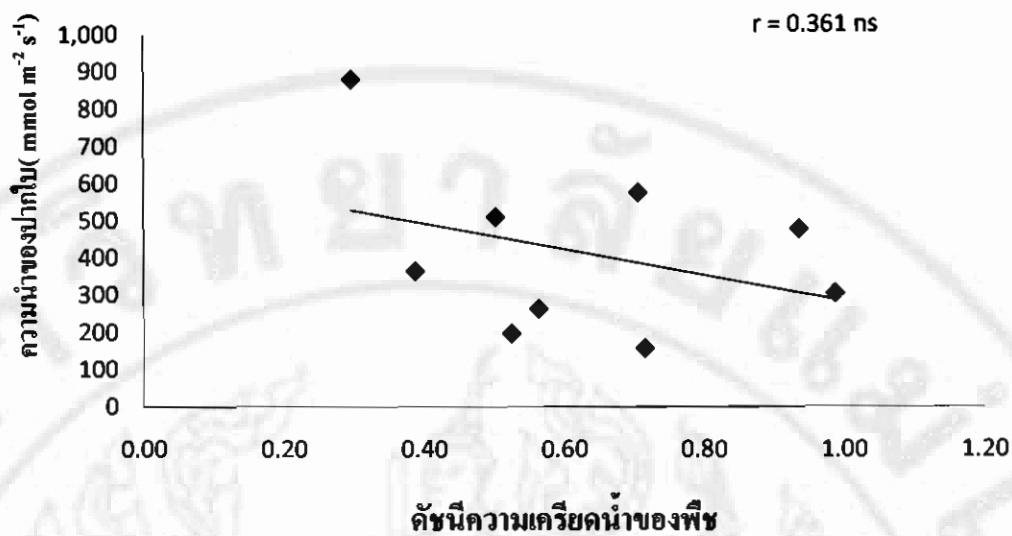
แนวโน้มของค่าเฉลี่ยรายวันของความนำของปากใบ จากการทดลองในทั้ง 3 ชุดคินแสดงในภาพที่ 26 เห็นได้ว่า ค่าเฉลี่ยรายวันของความนำของปากใบของผักบุ้งที่ให้น้ำทุกวันและที่ถูกดให้น้ำไกคลีเคียงกันมากในช่วง 6 วันแรกของการทดลอง และเริ่มแยกค่างกันเด่นอย (อย่างไม่มีนัยสำคัญทางสถิติ) ในช่วง 6 วันหลังของการทดลองแต่ความแตกต่างนี้ยังน้อยกว่าความผันแปรของค่าเฉลี่ยรายวันที่ผันแปรระหว่างวันค่าวัน แสดงให้เห็นว่า ความนำของปากใบที่วัดโดย porometer รุ่น SC-1 กับในผักบุ้งที่โคนแคด โดยตรง ที่ลําใน จำนวน 5 ใบในแต่ละชั้นของแต่ละวิธีการให้น้ำนั้นผันแปรตาม microclimate ของอากาศในโรงเรือนแต่ละวันมากกว่าความเครียดของน้ำในพืช



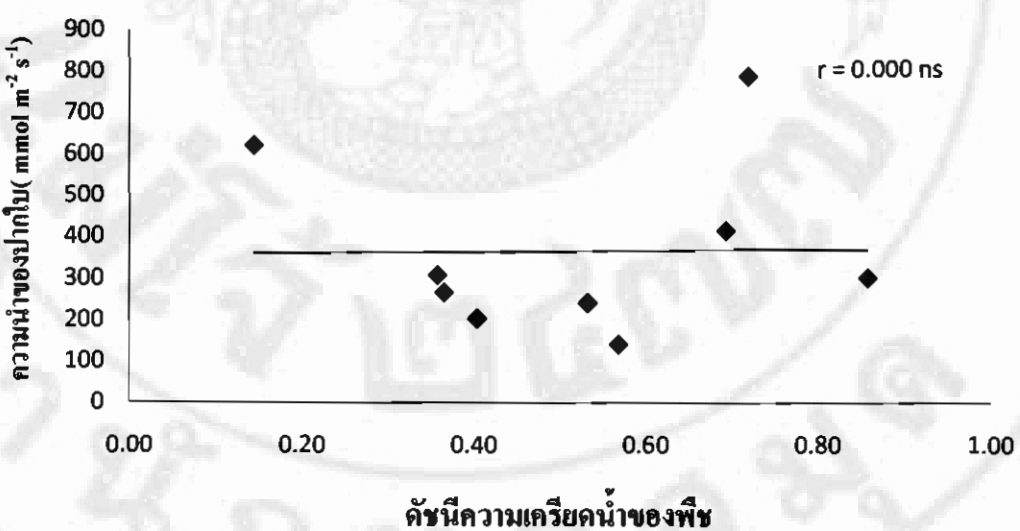
ภาพ 26 ความนำของป่ากใบ (Stomata Conductance) ของแปลงที่ให้น้ำเต็มที่เปรียบเทียบกับแปลงที่หดการให้น้ำ รายวันเฉลี่ย 3 คืน

#### ความสัมพันธ์ ดัชนีความเครียดนำของพืช กับ ความนำของป่ากใบ

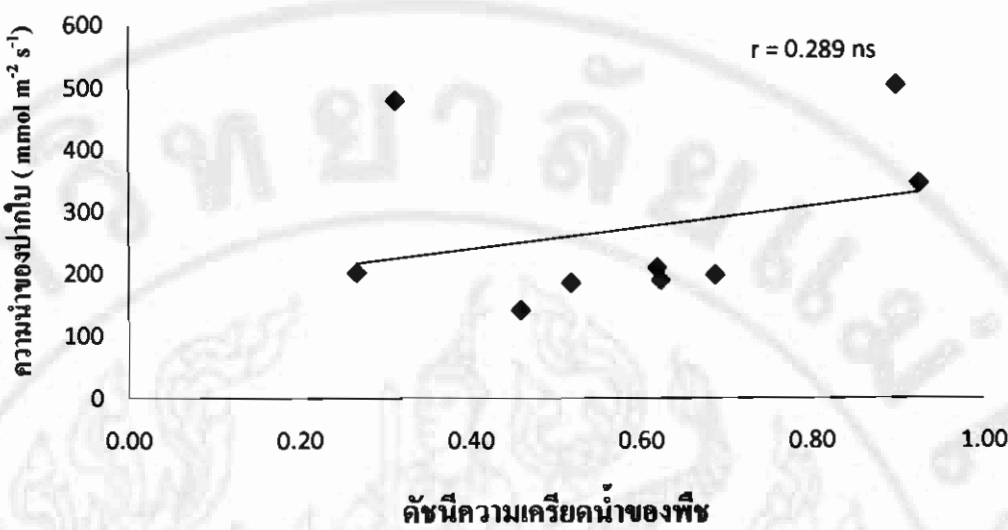
ภาพ 27–29 แสดงความสัมพันธ์ระหว่างดัชนีความเครียดนำของพืชกับความนำของป่ากใบของใบผักบุ้งในแต่ละชุดคืน พบว่าความสัมพันธ์ระหว่างดัชนีความเครียดนำของพืชกับความนำของป่ากใบของใบผักบุ้งในคืนทั้ง 3 ชุดคืน ไม่มีนัยสำคัญทางสถิติเลย



ภาพ 27 ความสัมพันธ์ระหว่าง ดัชนีความเครียคน้ำของพืช กับ ความนำของปากใบของพืชในชุดคืนน้ำพอง ( $ns$  = ความสัมพันธ์ไม่มีนัยสำคัญทางสถิติ)



ภาพ 28 ความสัมพันธ์ระหว่าง ดัชนีความเครียคน้ำของพืช กับ ความนำของปากใบของพืชใน คืนตะกอนน้ำพาเพิงซ้อน ( $ns$  = ความสัมพันธ์ไม่มีนัยสำคัญทางสถิติ)



ภาพ 29 ความสัมพันธ์ระหว่าง ดัชนีความเครียคน้ำของพืช กับ ความนำของป่ากินของพืชใน ชุด คืนอยุป ( ns = ความสัมพันธ์ไม่มีนัยสำคัญทางสถิติ)

#### ความเครียดเมทริกของความชื้นดินในแปลงที่ถูกตัดให้น้ำ

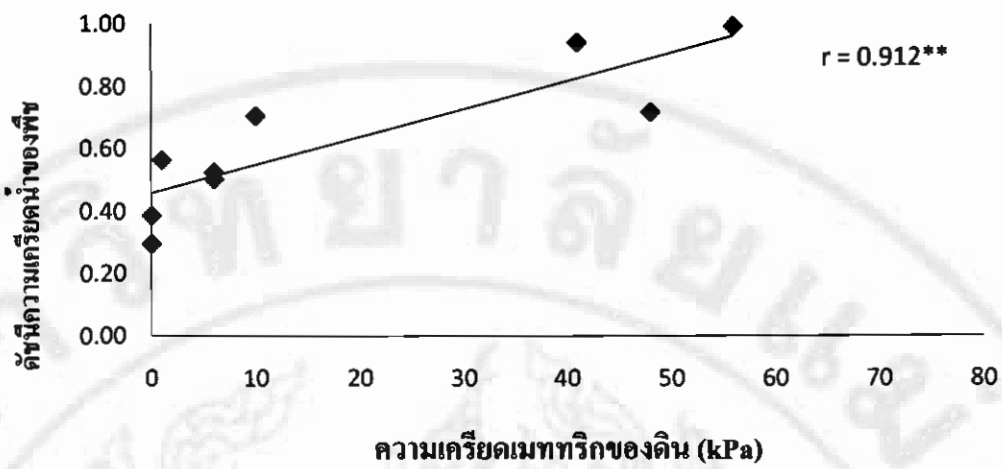
ความเครียดเมทริกของความชื้นดินในแปลงถูกตัดให้น้ำ (วิกฤติ) ของคินทั้ง 3 ชุด คินแสดงเป็นรายวันในตาราง 28 ภาพ 27 - 29 แสดงแนวโน้มการเปลี่ยนแปลงของความเครียดเมทริกของความชื้นดินของคินทั้ง 3 ชุดคิน เมื่อระยะเวลาการตัดให้น้ำนานขึ้น ตาราง 28 และภาพ 27 - 29 แสดงให้เห็นว่าเมื่อระยะเวลาการตัดให้น้ำนานขึ้นความเครียดของความชื้นดินทั้ง 3 ชุดคิน เพิ่มขึ้นอย่างสม่ำเสมอ

ตาราง 28 ความเครียดเมททริก (metric suction) ก่อนให้น้ำ จากแปลงความคูมและแปลงวิกฤติ (kPa)

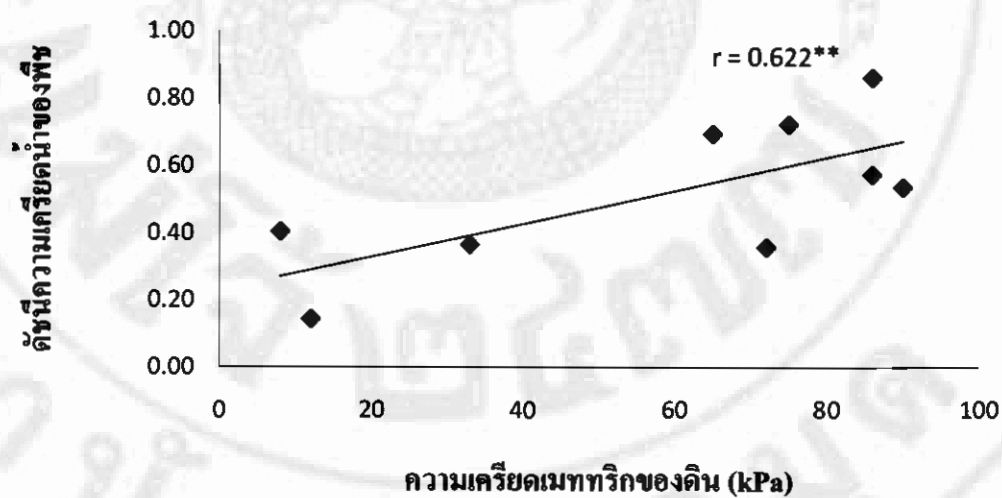
วันที่ทดลอง (วันที่)	ชุดคินน้ำพอง	คินตะกอนน้ำพอง เชิงซ้อน	ชุดคินคออยปุย
1 (28/4/54)	1	8	1
2 (29/4/54)	0	33	3
3 (30/4/54)	0	12	3
4 (2/4/54)	6	65	10
5 (3/4/54)	6	72	20
6 (4/4/54)	10	75	38
7 (9/4/54)	41	86	70
8 (10/4/54)	48	86	72
9 (11/4/54)	56	90	75

ความสัมพันธ์ระหว่างดัชนีความเครียดน้ำของพืชกับความความเครียดเมททริกของคิน (metric - suction)

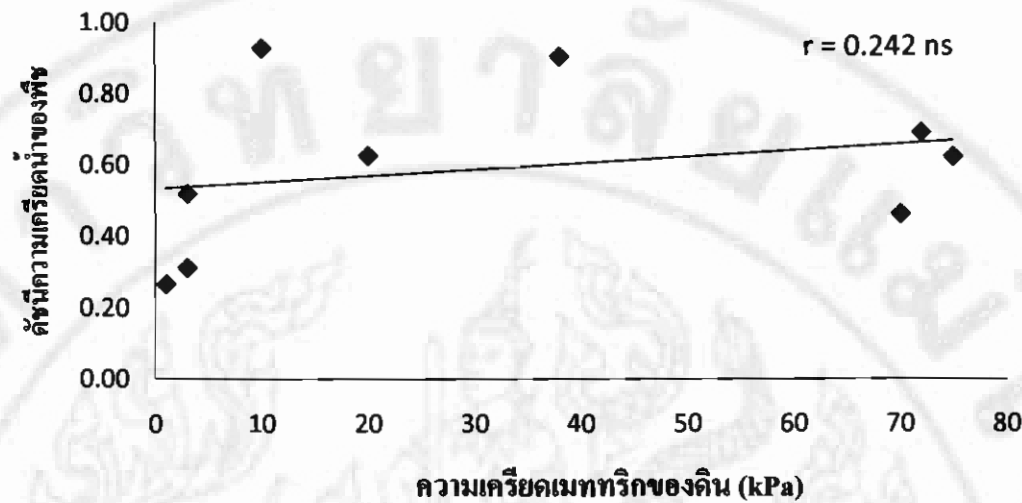
ภาพ 30-32 แสดงความสัมพันธ์ระหว่างดัชนีความเครียดน้ำของพืชกับความเครียดเมททริกของคินในแต่ละชุดคินพบว่า ความสัมพันธ์ระหว่างดัชนีความเครียดน้ำของพืชกับความเครียดเมททริกของคินในคินทั้ง 3 ชุดคินมีนัยสำคัญทางสถิติ ยกเว้น ชุดคินคออยปุยไม่มีนัยสำคัญกับทางสถิติ



ภาพ 30 ความสัมพันธ์ระหว่าง ดัชนีความเครียดน้ำของพิชกับความเครียดเนทติกจากแบล็งวิกฤติ ในชุดคินน้ำพอง (\*\* = ความสัมพันธ์มีนัยสำคัญทางสถิติที่ระดับความน่าจะเป็น 0.99)



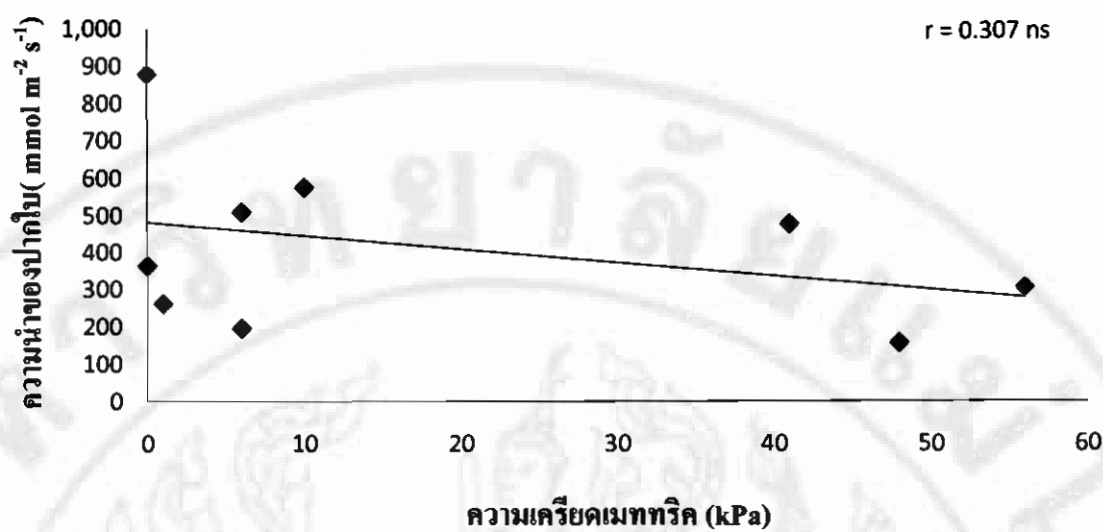
ภาพ 31 ความสัมพันธ์ระหว่าง ดัชนีความเครียดน้ำของพิชกับความเครียดเนทติกจากแบล็งวิกฤติ ในคินตะกอนน้ำพาเชิงซ้อน (\*\* = ความสัมพันธ์มีนัยสำคัญทางสถิติที่ระดับความน่าจะเป็น 0.99)



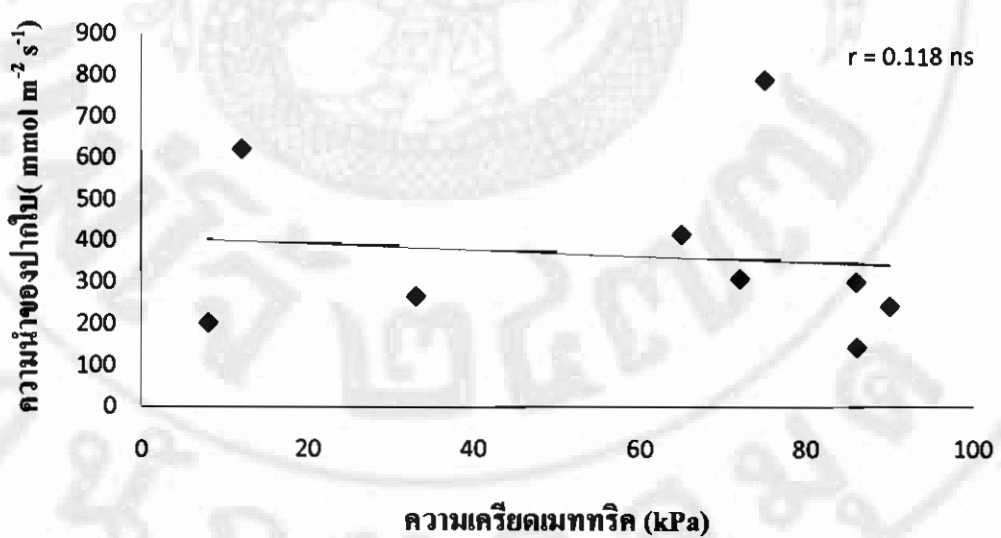
ภาพ 32 ความสัมพันธ์ระหว่าง ค่านีความเครียดน้ำของพืชกับความเครียดเมททริกจากแปลงวิกฤติในชุดดินดอยบุป (ns = ความสัมพันธ์ไม่มีนัยสำคัญทางสถิติ)

#### ความสัมพันธ์ ความนำของปากใบกับ ความเครียดเมททริก (metric suction)

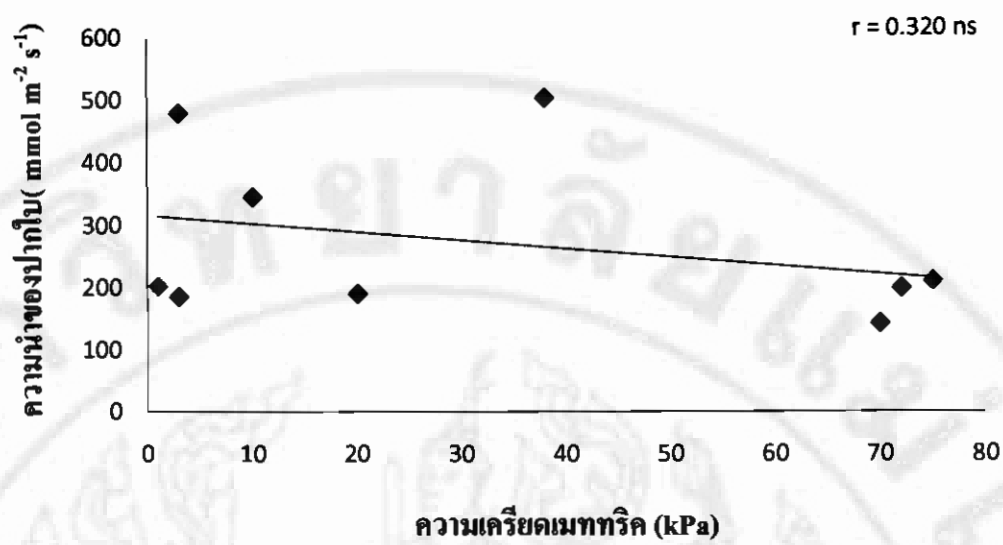
ภาพ 33 -35 แสดงความสัมพันธ์ระหว่างความนำของปากใบของพืชกับความเครียดเมททริกของดินในแต่ละชุดดิน พบร่วมกัน ความสัมพันธ์ระหว่างความนำของปากใบของพืชกับความเครียดเมททริกของดินในดินทั้ง 3 ชุดดิน ไม่มีนัยสำคัญทางสถิติเลย



ภาพ 33 ความสัมพันธ์ ความนำของปากในกับ ความเครียดเมททริก ในชุดคินน้ำพอง ( $\text{ns} =$  ความสัมพันธ์ไม่มีนัยสำคัญทางสถิติ)



ภาพ 34 ความสัมพันธ์ ความนำของปากในกับ ความเครียดเมททริก ในคินตะกอนน้ำพาเชิงซ้อน ( $\text{ns} =$  ความสัมพันธ์ไม่มีนัยสำคัญทางสถิติ)



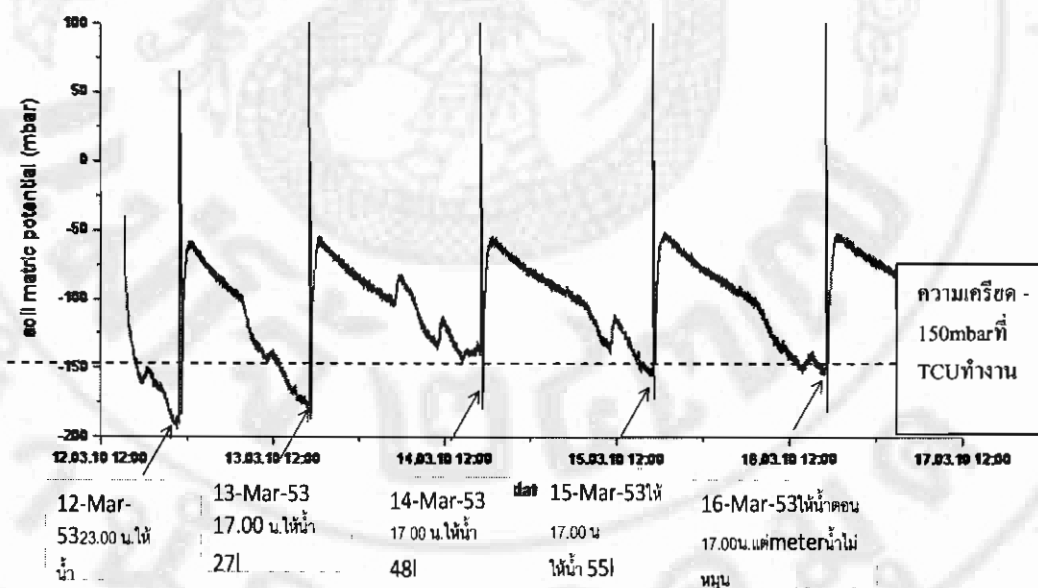
ภาพ 35 ความสัมพันธ์ ความนำของปากใบกับ ความเครียดเมททริก ในชุดคินคอยบุป (ns = ความสัมพันธ์ไม่มีนัยสำคัญทางสถิติ)

**ผลการทดลองที่ 3 การทดสอบประสิทธิภาพของหน่วยควบคุมการให้น้ำโดยเทนเซกซิโอมิเตอร์ (Tensiometer Control Unit, TCU)**

**การทดลองกับกระหลาปปี**

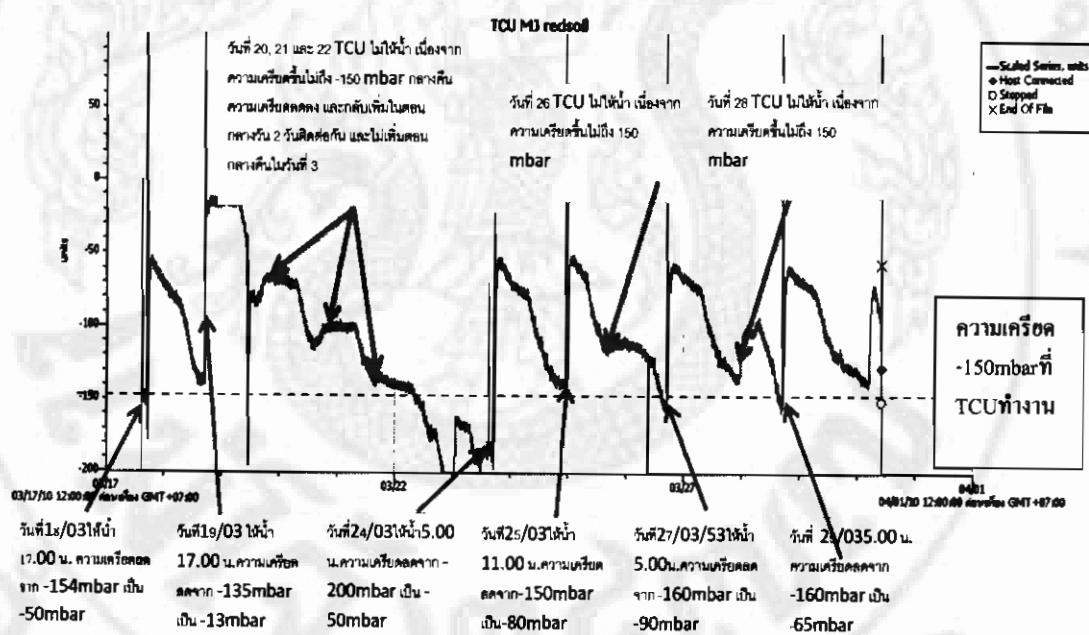
**1. การทดลองในชุดคิดดอยบุญ**

ผลการบันทึกความเครียดของความชื้นคินและการปิดเปิดประคูน้ำของระบบดอยบุญ 3 ช่วงเวลา คือ 12 -17 มีนาคม, 17 – 30 มีนาคม และ 30 มีนาคม– 8 เมษายน 2553 แสดงในภาพ 35-37 โดยภาพรวมหน่วยควบคุมการให้น้ำโดยเทนเซกซิโอมิเตอร์สามารถควบคุมการเปิดน้ำเมื่อความเครียดที่วัดได้เกิน -15 kPa เล็กน้อยได้เป็นอย่างดี จะมีคลาดเคลื่อนบ้างเพียงเล็กน้อย ที่การเปิดน้ำเมื่อความเครียดไม่ถึง -15 kPa สำหรับการปิดให้น้ำเมื่อความเครียดเกิน -15 kPa นั้น เนื่องจาก เมื่อถึงเวลา timer switch ครั้งหนึ่งนั้น ความเครียดไม่ถึง -15 kPa แต่พื้นที่การใช้น้ำตลอด ดังนั้นเมื่อถึงเวลาครั้งต่อไป ความเครียดจะเกิน 15 kPa หลังจากให้น้ำประมาณ 30 นาที ความเครียดของน้ำในคินลดลงอยู่ที่ประมาณ -50 ถึง -60 kPa

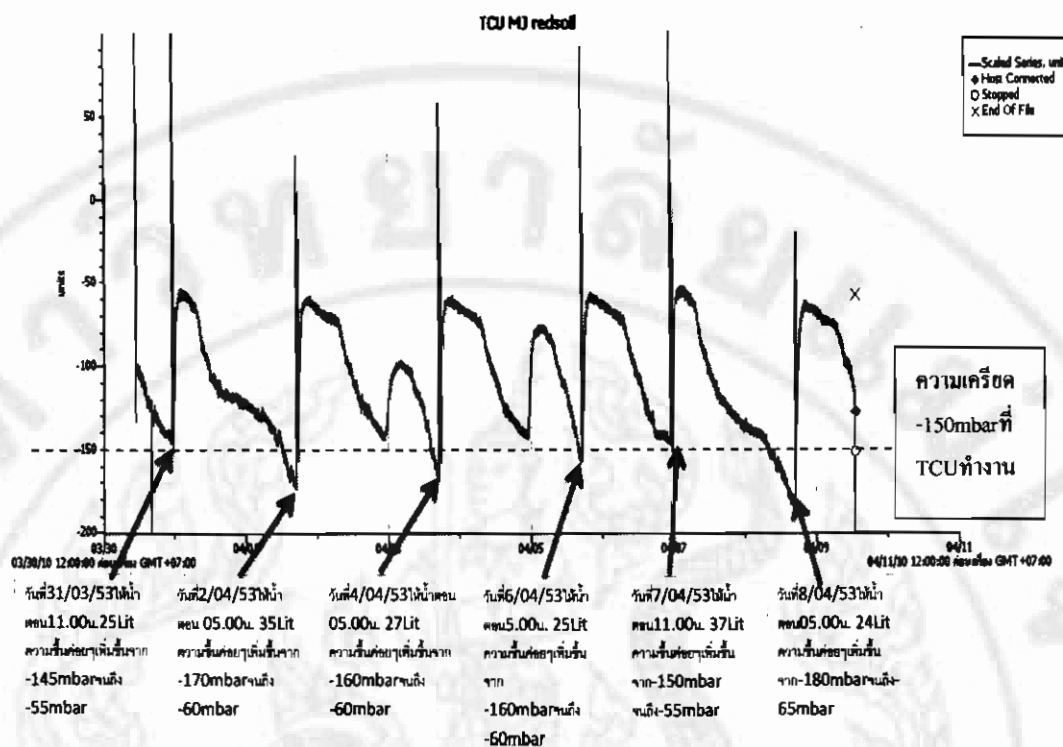


ภาพ 36 ความเครียดของความชื้นคินและการปิดเปิดประคูน้ำของระบบดอยบุญ ระหว่าง 12 -17 มีนาคม 2553

วันที่ 19 มีนาคม มีการให้น้ำเมื่อ 17.00 -17.30 น. และให้น้ำมากจนความเครียดลดลงอยู่ที่ -13 kPa ประกอบกับในช่วงวันที่ 21 – 22 มีนาคมมีฝนตกเล็กน้อย และพื้นหลัง อากาศชื้นต่อเนื่อง (ข้อมูลจากสถานีอุตุนิยมวิทยาของแม่ส่าไห่ ทำให้พื้นใช้น้ำอย่างต่อเนื่อง ตลอด 3 วัน (20 – 20 มีนาคม) ความเครียดคงที่ไม่ถึง -15 kPa ทำให้หน่วยควบคุมการให้น้ำโดยเท็นซิโอมิเตอร์ไม่เปิดประตุน้ำให้ให้น้ำ (ภาพ 37) นอกจากนี้ยังสังเกตได้ว่าในวันที่ 20 และ 21 มีนาคมที่ความเครียดคงที่ไม่ถึง -15 kPa ไม่มีการให้น้ำอีก พอกลับเพิ่มขึ้นในตอนกลางวัน แต่เมื่อถึงวันที่ 22 มีนาคม ความเครียดกลับไม่เพิ่มขึ้นในตอนกลางคืน น่าจะเนื่องจากเหลือน้ำอยู่ในดินน้อย



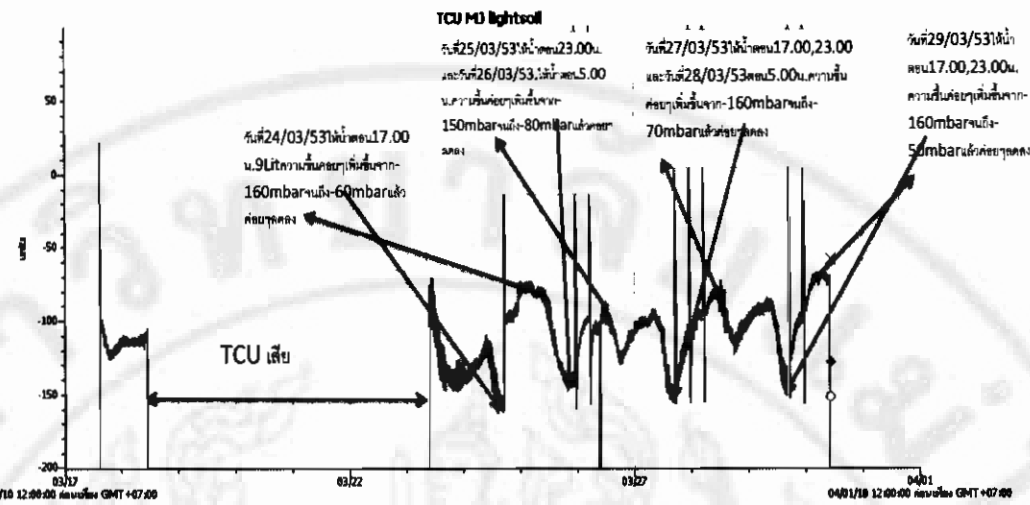
ภาพ 37 ความเครียดของความชื้นดินและการปิดเปิดประตุน้ำของระบบทดลองปลุก ระหว่าง 17 -30 มีนาคม 2553



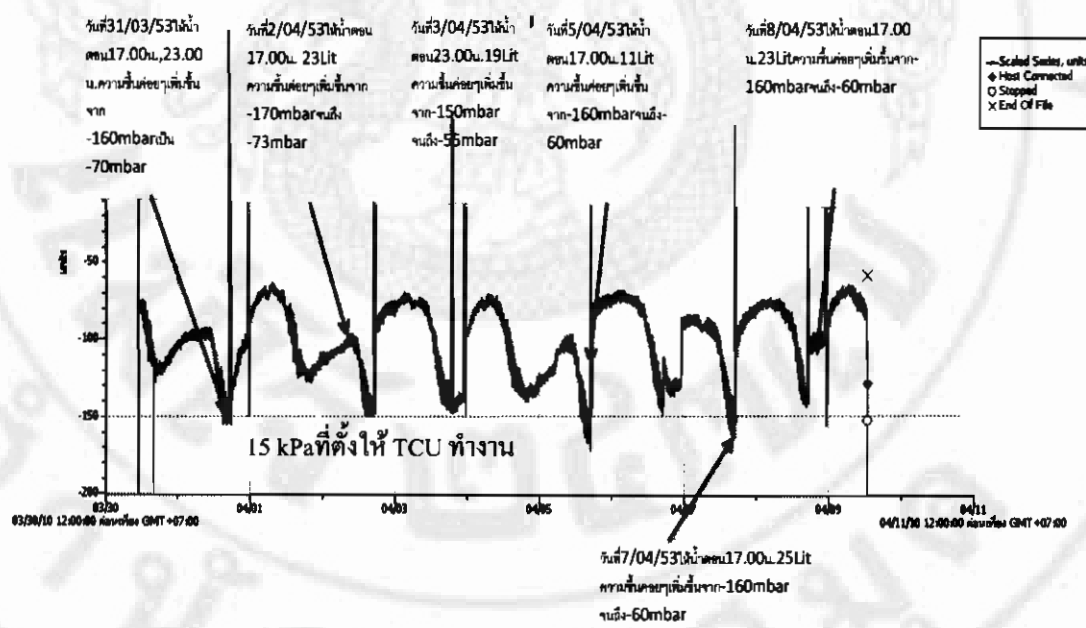
ภาพ 38 ความเครียดของความชื้นดินและการปิดเปิดประตูน้ำของระบบดินโดยอุป ระหว่าง 30 มีนาคม – 8 เมษายน 2553

## 2. การทดลองในชุดดินน้ำพอง

ผลการบันทึกความเครียดของความชื้นดินและการปิดเปิดประตูน้ำของระบบดินชุดดินน้ำพอง 2 ช่วงเวลา 17 - 30 มีนาคม และ 30 มีนาคม – 8 เมษายน 2553 แสดงในภาพที่ 38-40 ในช่วงแรก หน่วยควบคุมการให้น้ำโดยเท็นซิโอมิเตอร์ที่ใช้กับชุดดินน้ำพองขั้ตข้อง จึงไม่มีข้อมูลจนถึงวันที่ 25 มีนาคม 2553 หลังจากนั้นก็ทำงานได้ดี เปิดให้น้ำเมื่อความเครียดขึ้นถึง -15 kPa



ภาพ 39 ความเครียดของความชื้นดินและการปิดเปิดประตูน้ำของระบบทรัพศินน้ำพองระหว่าง 17 - 30 มีนาคม 2553



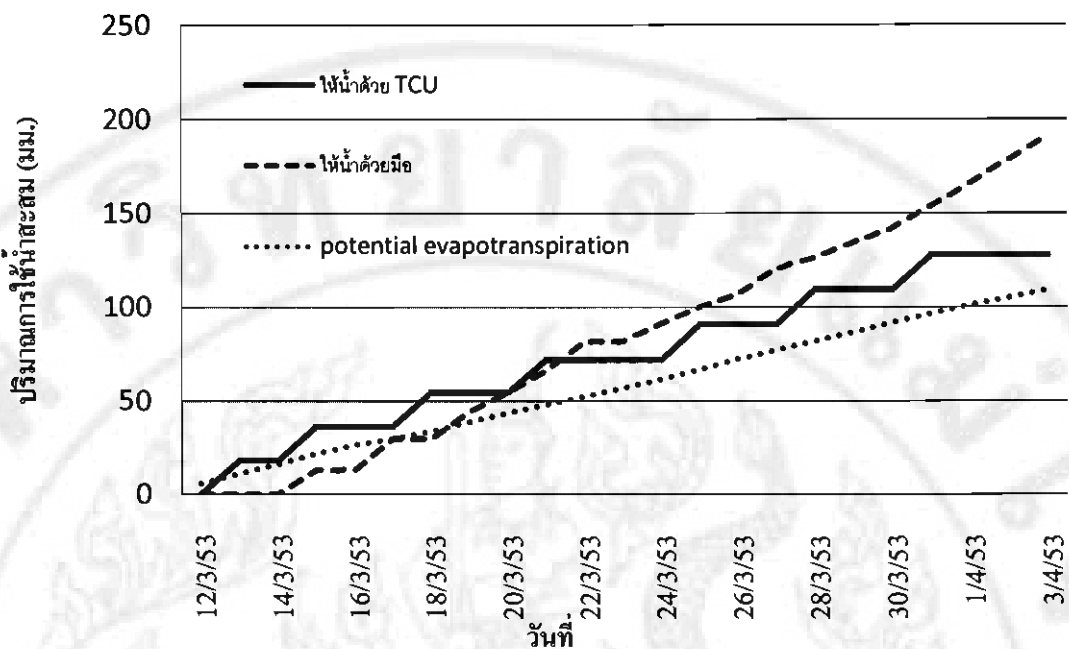
ภาพ 40 ความเครียดของความชื้นดินและการปิดเปิดประตูน้ำของระบบทรัพศินน้ำพองระหว่าง 30 มีนาคม – 8 เมษายน 2553

## ปริมาณน้ำที่ให้รายวันและปริมาณการให้น้ำสะสมของการทดลองในชุดดินโดยปุ๋ย

ปริมาณน้ำที่ให้รายวันต่อกระบวนการทดลองระหว่างวันที่ 22 มีนาคม – 13 เมษายน 2553 แสดงในตาราง 26 และภาพ 41 มาตรวัดน้ำของกระบวนการให้น้ำด้วยมือของดินจะก่อนน้ำพา เชิงซ้อน และกระบวนการให้น้ำด้วยหน่วยความคุณการให้น้ำโดยเท็นชิโอมิเตอร์ของชุดดินน้ำพองไม่ค่อย หมุนทำให้ข้อมูลคาดคะเนมาก แต่จากข้อมูลที่เหลือในชุดดินโดยปุ๋ยพอเห็นแนวโน้มว่าการให้น้ำด้วยหน่วยความคุณการให้น้ำโดยเท็นชิโอมิเตอร์ ให้น้ำมากกว่าการให้น้ำด้วยมือและการให้น้ำทั้ง 2 แบบให้น้ำมากกว่าค่า potential evapotranspiration ( $ET_o$ ) ที่คำนวณได้จากข้อมูลภูมิอากาศในเรือนทดลองค่าวัสดุการของ Penman Monteith(Allen et al., 1998) ในเรือนทดลอง

ตาราง 29 ปริมาณน้ำที่ให้ต่อกระบวนการผลิต

วันที่	ชุดคินดอยปุย		คินดอกอนนำพา		ชุดคินนำพอง	
	ให้น้ำโดย	ให้น้ำด้วยมือ	ให้น้ำโดย	ให้น้ำด้วย	ให้น้ำโดย	ให้น้ำด้วย
	TCU	ตัวบัญชี	TCU	ตัวบัญชี	TCU	มือ
คิดร วัน <sup>-1</sup> แปลง <sup>-1</sup>						
22/3/53	0	17	0			28
23/3/53	24	20	0			10
24/3/53	65	20	75			10
25/3/53	57	14	74			6
26/3/53	47	6	4			6
27/3/53	32	12	17			11
28/3/53	68	12	19			10
29/3/53	31	12	23			10
30/3/53	46	13	13	มาตรฐานน้ำเสีย ข้อมูล คลาดเคลื่อนมาก		12
31/3/53	25	28	24			29
1/4/53	51	16	23			17
2/4/53	35	23	13			23
3/4/53	0	22	23			24
4/4/53	27	23	24			24
5/4/53	0	13	0			16
6/4/53	25	27	24			24
7/4/53	37	23	63			24
8/4/53	0	20	79			19
9/4/53	24	24	0			25
10/4/53	15	27	4			27
11/4/53	27	18	8.5			18
12/4/53	8	22	12			21
13/4/53	25	24	0			24
รวม	669	436	523			418



ภาพ 41 ปริมาณการใช้น้ำสะสม ระหว่างวันที่ 12 กรกฎาคม – 3 สิงหาคม 2553

### น้ำหนักสดของกล้าม

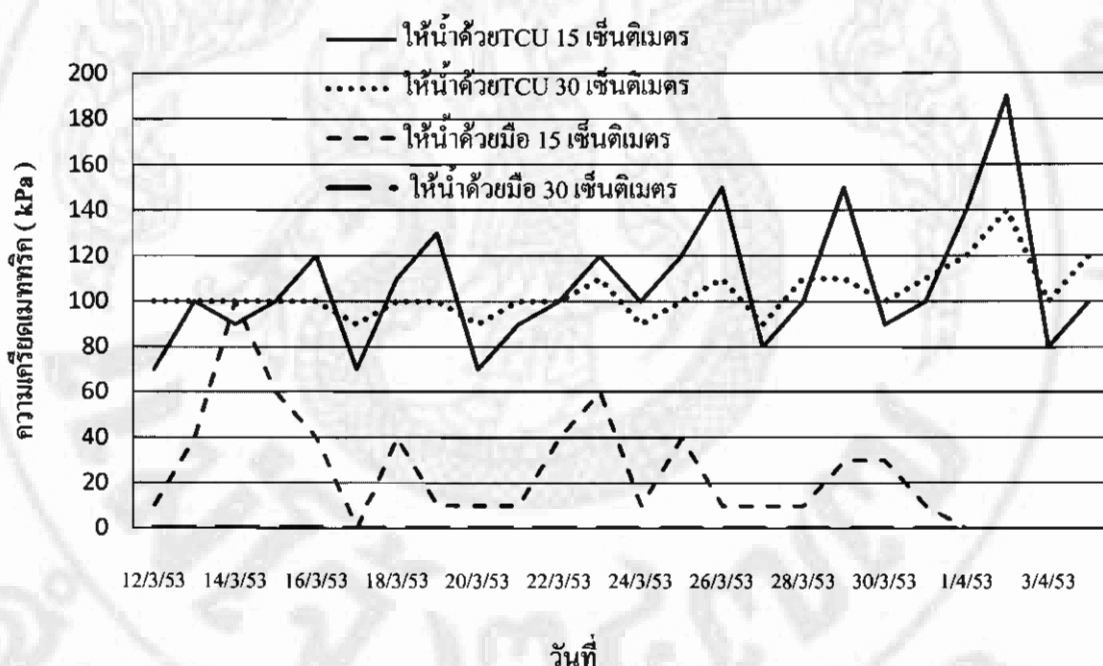
น้ำหนักสดของกล้ามที่เก็บเกี่ยวเมื่อวันที่ 20 เมษายน 2553 แสดงในตาราง 30 พบว่าในคืนตะกอนน้ำพาเชิงช้อน และคืนน้ำพอง น้ำหนักของต้นกล้ามที่กว้างให้น้ำ ทั้ง 2 ระบบ ใกล้เคียงกัน แต่ในคืนดอยปุย มีแนวโน้มว่าน้ำหนักของต้นกล้ามที่ให้น้ำโดย หน่วยความคุณการ ให้น้ำโดยเท็นซิโอมิเตอร์ให้น้ำหนักมากกว่า ทั้งๆ ที่ปริมาณการให้น้ำโดยระบบ หน่วยความคุณการ ให้น้ำโดยเท็นซิโอมิเตอร์ ใช้น้ำมากกว่า จึงต้องปรับปรุงวิธีให้น้ำโดย หน่วยความคุณการ ให้น้ำโดย เท็นซิโอมิเตอร์ต่อไป

ตาราง 30 น้ำหนักสดของกระหล่ำ

ต้นที่	ชุดคินดอยบุญ		คินตะกอนน้ำพานเชิงช้อน		ชุดคินน้ำพอง	
			(กรัม/ต้น)			
	TCU	Manual	TCU	Manual	TCU	Manual
1	777	400	685	890	690	825
2	244	310	1,080	915	690	570
3	527	361	940	625	430	735
4	544	402	810	715	1,050	600
5	512	456	1,030	960	1,190	770
6	403	441	1,070	810	710	590
7	409	401	975	915	515	400
8	653	410	785	925	930	510
9	570	489	1,260	800	935	985
10	635	301	755	720	1,110	1,025
11	405	416	520	1,030	800	760
12	570	490	265	335	650	775
13	659	396	1,110	1,140	1,185	1,000
14	495	388	840	310	935	710
15	536	445	1,290	670	790	1,055
16	510	450	505	950	1,010	440
17	625	457	410	840	1,450	800
18	506	432	750	940	620	860
19	511	322	670	970	710	980
20	650	282	1,035	1,000	810	915
21	191	291	710	1,220	690	760
22	440	388	950	420	625	1,070
23	621	297	1,140	920	800	860
24	-	377	1,150	890	715	815
เฉลี่ย	522	392	864	830	835	784

### ความเครียดของความชื้นดินวัดโดยเท็นซิโอมิเตอร์ (ธรรมชาติ)

ความเครียดของความชื้นดินที่ระดับความลึก 15 และ 30 ซม. ของการให้น้ำทั้ง 2 ระบบแสดงในภาพ 31 พบว่าการให้น้ำระบบ หน่วยควบคุมการให้น้ำโดยเท็นซิโอมิเตอร์ ความเครียดของความชื้นที่ผันแปรอยู่ที่ประมาณ 10 kPa หรือประมาณระดับความชื้นในสนาม (field capacity) ของดิน โดยที่ระดับความลึก 30 ซม. ผันแปรมากกว่าระดับความลึก 15 ซม. การให้น้ำ ด้วยมือ ที่ระดับความลึก 15 ซม. มีความเครียดของความชื้นดินผันแปรอยู่ที่ประมาณ 30 kPa และที่ ระดับความลึก 30 ซม. ความเครียดของความชื้นดินเป็นสูนย์ตลอดเวลา แสดงให้เห็นว่า การให้น้ำ ด้วยมือ ความชื้นดินสูงกว่าระดับความชื้นในสนามอยู่ตลอดเวลา



ภาพ 42 ความเครียดของความชื้นดิน จากการให้น้ำทั้ง 2 ระบบ

## บทที่ 5

### สรุปและวิจารณ์

#### การทดลองที่ 1 การศึกษาดัชนีความเครียดของน้ำในพืชของผักบูร โดยใช้กล้อง Thermocamera รุ่น InfraCAM SD (FLIR, Sweden)

จากการวัดอุณหภูมิร่องรอย (ใบ) ของผักบูร เพื่อคำนวณดัชนีความเครียดของน้ำในพืชตามวิธีการที่พัฒนาโดย Jones (1999) เฉลี่ยราย 3 วันของข้อมูลตลอดช่วงการทดลอง 12 วัน พบว่าผักบูรที่อยู่ในภาวะวิกฤติ คือถูกงดให้น้ำ มีดัชนีความเครียดของน้ำในพืชมากกว่าผักบูรที่อยู่ได้รับน้ำตามปกติวันละครั้ง ตั้งแต่ระยะ 3 วันแรกของการทดลองน้ำ จนเสร็จสิ้นการทดลอง ยกเว้นเพียงช่วงวันที่ 4-6 ของการทดลอง ส่วนปัจจัยด้านชนิดที่ใช้ปลูกพืชไม่มีผลให้ดัชนีความเครียดของน้ำในพืช ต่างกัน ยกเว้นเพียงช่วงวันที่ 4-6 ของการทดลอง โดยค่าเฉลี่ยรายวันของดัชนีความเครียดของน้ำในใบผักบูรที่ได้รับน้ำทุกวันค่อนข้างคงที่อยู่ที่ประมาณ 0.40 ขณะที่ค่าเฉลี่ยรายวันของดัชนีความเครียดของน้ำในใบผักบูรที่ถูกงดให้น้ำมีแนวโน้มเพิ่มขึ้นเกือบตลอดเวลาของการทดลอง 12 วัน ทำให้ความแตกต่างของค่าเฉลี่ยรายวันของดัชนีความเครียดของน้ำในพืชระหว่างพืชที่ให้น้ำทุกวันและที่ถูกงดให้น้ำแตกต่างกันมากขึ้นตามระยะเวลาการทดลอง ทั้งหมดแสดงให้เห็นว่ากล้องถ่ายภาพรังสีความร้อน Thermocamera รุ่น InfraCAM SD (FLIR, Sweden) มีประสิทธิภาพสูงในระดับที่สามารถใช้วัดอุณหภูมิใบพืช เพื่อประเมินดัชนีความเครียดของน้ำในพืชได้ดี

ค่าเฉลี่ยรายวันของความนำของปากใบของผักบูรที่ให้น้ำทุกวันและที่ถูกงดให้น้ำ ใกล้เคียงกันมากในช่วง 6 วันแรกของการทดลอง และเริ่มแตกต่างกันเด่นชัด (อย่างไม่มีนัยสำคัญทางสถิติ) ในช่วง 6 วันหลังของการทดลอง แต่ความแตกต่างนี้ยังน้อยกว่าความผันแปรของค่าเฉลี่ยรายวันที่ผันแปรระหว่างวันต่อวัน จึงพบว่าความนำของปากใบของผักบูรราย 3 วันสุดท้ายของการทดลอง 12 วันเท่านั้นที่ต่างกันทางสถิติ แสดงให้เห็นว่า ความนำของปากใบที่วัดโดย porometer รุ่น SC-1 กับใบผักบูรที่โคนడดโดยตรง ที่จะในจำนวน 5 ใบในแต่ละชั้นของแต่ละวิธีการให้น้ำนั้น ผันแปรตาม micro-climate ของอากาศในโรงเรือนแต่ละวันมากกว่าความเครียดของน้ำในพืชความนำของปากใบของใบผักบูรในคืนทั้ง 3 ชุดคืน ไม่มีความสัมพันธ์อย่างมีนัยสำคัญทางสถิติกับดัชนีความเครียดน้ำของพืชเลย

ความเครียดเมทริกของความชื้นคินในแปลงถูกงดให้น้ำในคืนทั้ง 3 ชุดคืน เพิ่มขึ้นอย่างสม่ำเสมอเมื่อระยะเวลาการงดให้น้ำนาน และยังพบว่าความสัมพันธ์ระหว่างดัชนี

ความเครียดน้ำของพืชกับความเครียดเมททริกของดินในดินทั้ง 3 ชุดดินมีนัยสำคัญทางสถิติ ซึ่งสอดคล้องกับรายงานของ Pinter and Reginato (1982) พบความสัมพันธ์ที่ดียิ่งระหว่าง CWSI ที่คำนวณจากคำนวณจากอุณหภูมิใบพืช อุณหภูมิอากาศ และ vapor pressure deficit กับ ความเครียดของน้ำในไชเดิม (xylem) ของใบฝ่ายแต่ความสัมพันธ์ระหว่างความนำของปากใบของพืชกับความเครียดเมททริกของดินในดินทั้ง 3 ชุดดินไม่มีนัยสำคัญทางสถิติเลย

จากผลการทดลองทั้งหมดที่กล่าวมาข้างต้นนี้ สรุปได้ว่ากล้อง Thermocamera รุ่น InfraCAM SD (FLIR, Sweden) สามารถใช้วัดอุณหภูมิเรือนยอดของพืช เพื่อหาค่าดัชนีความเครียดของน้ำในพืชคำนวณตามวิธีการที่พัฒนาโดย Jones (1999) ได้อย่างมีประสิทธิภาพ ขณะที่ค่าความนำของปากใบที่วัดโดย porometer รุ่น SC-1 ไม่สามารถระบุความเครียดของน้ำในพืชได้อย่างมีประสิทธิภาพเท่ากับกล้อง Thermocamera รุ่น InfraCAM SD (FLIR, Sweden)

### การทดลองที่ 2 การศึกษาดัชนีความเครียดของน้ำในพืชของผักบุ้ง

โดยใช้กล้อง Thermocamera รุ่น VarioCAMHiRes 384 sI

(Infratec, Germany)

จากการวัดอุณหภูมิเรือนยอด (ใบ) ของผักบุ้ง เพื่อคำนวณดัชนีความเครียดของน้ำในพืช ตามวิธีการที่พัฒนาโดย Jones (1999) เฉลี่ยราย 3 วันของข้อมูลตลอดช่วงการทดลอง 12 วัน พบว่าผักบุ้งที่อยู่ในภาวะวิกฤต คือถูกงดให้น้ำ มีดัชนีความเครียดของน้ำในพืชใกล้เคียงกับดัชนีความเครียดของน้ำในพืชของผักบุ้งที่อยู่ได้รับน้ำตามปกติวันละครึ่ง ดังแพร่ยะ 3 วันแรกของการทดลอง จนเสร็จสิ้นการทดลอง ยกเว้นเพียงช่วง 3 วันสุดท้าย คือระหว่างวันที่ 10-12 ของการทดลอง ที่ผักบุ้งที่อยู่ในภาวะวิกฤต คือถูกงดให้น้ำ มีดัชนีความเครียดของน้ำในพืชมากกว่าดัชนีความเครียดของน้ำในพืชของผักบุ้งที่อยู่ได้รับน้ำตามปกติวันละครึ่ง อย่างมีนัยสำคัญทางสถิติ ส่วนปัจจัยด้านชนิดที่ใช้ปลูกพืชไม่มีผลให้ ดัชนีความเครียดของน้ำในพืชต่างกัน โดยค่าเฉลี่ยรายวันของดัชนีความเครียดของน้ำในใบผักบุ้งทั้งที่ได้รับน้ำทุกวันและที่ถูกงดให้น้ำมีแนวโน้มเพิ่มขึ้น จากประมาณ 0.40 เมื่อวันเริ่มต้นการทดลองเป็นประมาณ 0.60 ในช่วง 4 วันสุดท้ายของ การทดลอง

ค่าเฉลี่ยรายวันของความนำของปากใบของผักบุ้งที่ให้น้ำทุกวันและที่ถูกงดให้น้ำ ใกล้เคียงกันมากตลอดช่วงการทดลอง 12 วัน และผันแปรระหว่างวันต่อวันมากกว่าความแตกต่างระหว่างการให้น้ำกับที่ถูกงดให้น้ำมาก แสดงให้เห็นว่าความนำของปากใบที่วัดโดย porometer รุ่น SC-1 กับใบผักบุ้งที่โคนแคడโดยตรง ที่ลงทะเบียนจำนวน 5 ใบในแต่ละชั้องแต่ละวิธีการให้น้ำนั้น

ผันแปรตาม microclimate ของอากาศในโรงเรือนแต่ละวันมากกว่าความเครียดของน้ำในพืชความนำของปากใบของใบผักบุ้งในคืนทั้ง 3 ชุดคืนไม่มีความสัมพันธ์อย่างมีนัยสำคัญทางสถิติกับคืนนี้ ความเครียดน้ำของพืชเลย

ความเครียดเมทริกของความชื้นคืนในแปลงถูกงดให้น้ำในคืนทั้ง 3 ชุดคืน เพิ่มขึ้นอย่างสໍาเเพนอยู่ระหว่างเวลาการงดให้น้ำนาน และยังพบว่าความสัมพันธ์ระหว่างคืนนี้ ความเครียดน้ำของพืชกับความเครียดเมทริกของคืนในชุดคืนนี้ของอย่างมีนัยสำคัญทางสถิติแต่ไม่มีนัยสำคัญทางสถิติในชุดคืนดอยปุยและกะgonน้ำพารเชช้อน แต่ความสัมพันธ์ระหว่างความนำของปากใบของพืชกับความเครียดเมทริกของคืน ในคืนทั้ง 3 ชุดคืน ไม่มีนัยสำคัญทางสถิติเลย

จากการทดลองทั้งหมดที่กล่าวมาข้างต้นนี้ สรุปได้ว่ากล้อง Thermocamera รุ่น VarioCAMHiRes 384 sl (Infratec, Germany) สามารถใช้วัดอุณหภูมิเรือนยอดของพืช เพื่อหาค่าดัชนีความเครียดของน้ำในพืชคำนวณตามวิธีการที่พัฒนาโดย Jones (1999) ได้อย่างมีประสิทธิภาพ ดีกว่าความนำของปากใบที่วัดโดย porrometer รุ่น SC-1 แต่ไม่มีประสิทธิภาพเท่ากับกล้อง Thermocamera รุ่น InfraCAM SD (FLIR, Sweden) ซึ่งมีราคาถูกกว่ามาก

### การทดลองที่ 3 การทดสอบประสิทธิภาพของหน่วยควบคุมการให้น้ำโดยเท็นซิโอมิเตอร์ (Tensiometer Control Unit, TCU)

หน่วยควบคุมการให้น้ำโดยเท็นซิโอมิเตอร์ (Tensiometer Control Unit, TCU) ยังมีปัญหาอยู่บ้าง แต่โดยหลักการ เมื่อแก้ปัญหาแล้ว การควบคุมการให้น้ำก็ทำได้ดี สามารถควบคุมการให้น้ำที่อิงหลักการทำงานวิชาการ สามารถใช้ได้กับระบบน้ำที่มีแรงดันต่ำ ไม่ต้องใช้กระแสไฟฟ้า ราคาถูก สามารถควบคุมการให้น้ำจากตัวระบบท่อที่น้ำมีแรงดันต่ำ คือ 0.5 – 1.0 MPa ได้ตามต้องการ เมื่อทำงานร่วมกับ timer หน่วยควบคุมการให้น้ำโดยเท็นซิโอมิเตอร์จะเปิดให้น้ำทันทีที่ความเครียดของความชื้นคืนเกิน 15 kPa เป็นเวลา 10-30 นาที ซึ่งจะทำให้พืชที่ทดลอง ได้แก่ กะหล่ำปลีและผักบุ้งเจ็บได้น้ำจากระบบน้ำหยด 1 ลิตรต่อหัวน้ำหยด เมื่อความดันของน้ำในท่ออยู่ที่ประมาณ 0.05 – 0.20 MPa ทำให้พืชที่ปลูกในโรงเรือน 2 ชนิดคือกะหล่ำปลีและผักบุ้งเจ็บ ได้รับน้ำเพียงอย่างเหมาะสม ใช้น้ำน้อยกว่าการให้น้ำด้วยมือ 49.29 % โดยที่มีผลผลิตไม่ต่างกัน แต่ในการทดลองที่โรงเรือนทดลองในสาขาไม้ผล ภาควิชาพืชสวน คณะผลิตกรรมการเกษตร มหาวิทยาลัยแม่โจ้ มีปัญหาที่ความดันของน้ำในระบบประปาที่เป็นแหล่งน้ำดันทุนของการทดลอง ไม่คงที่อย่างมาก เนื่องจากมีการใช้น้ำรดพืชต่างๆ ของสาขาไม้ผลมากในระหว่างการทดลอง จนแรงดันต้านน้ำในท่อต่ำกว่า 0.05 MPa ซึ่งมีผลกระทบต่อการทำงานของ TCU เป็นระยะๆ

## บรรณานุกรม

- วิญลัย บุญยัง โทรกุล. 2526. หลักการชลประทาน. กรุงเทพฯ : ภาควิชาวิศวกรรมชลประทาน คณะวิศวกรรมศาสตร์ มหาวิทยาลัยเกษตรศาสตร์. 274 น.
- สถาบันสสคด. 2537. สภาพวงแค้นในการผลิตพืช. สงขลา : ภาควิชาพืชศาสตร์ คณะทรัพยากรธรรมชาติ มหาวิทยาลัยสงขลานครินทร์ วิทยาเขตหาดใหญ่. 202 น.
- อิทธิสุนทร นันทกิจ. 2544. เครื่องวัดความชื้นในดินแบบTensiometer. [ระบบออนไลน์]. แหล่งที่มา <http://www.kmitl.ac.th/soilkmitl/SoilRes/Tesiometer.htm> (15 พฤษภาคม 2554).
- Alharthi, A. and J. Lanje. 1987. Soil water saturation: dielectric determination. **Water Resour. Res.** 23 (4): 591-595.
- Alon, B.G., A. Nurit and D. Armon. 2009. Evaluating water stress in irrigated olives: correlation of soil water status, tree water status, and thermal imagery. **Irrigation Science** 27: 367–376.
- Dry, P.R., B.R. Loveys and M. Stoll. 2001. Strategic irrigation management in Australian vineyards. **Journal International des Sciences de la Vigne et du Vin** 35: 129–139.
- Evans, D.E., E.J. Sadler and J.A. Millen. 2000. Spatial canopy temperature measurements using central pivot mounted IRTs. Cited by Alchanatis, V., Y. Cohan and E. Sela. 2010. Evaluation of different approaches for estimating and mapping crop water status in cotton with thermal imaging. **Precision Agriculture** 11: 27–41.
- Fuchs, M. 1990. Infrared measurement of canopy temperature and detection of plant water stress. **Theoretical and Applied Climatology** 42: 253–261.
- Giuliani, R., E. Magnanini and J.A. Flore. 2001. **Potential use of infrared thermometry for the detection of water deficit in apple and peach orchards.** USA: Department of Horticulture, Michigan State University, East Lansing. 557p.
- Grant, M. O., L.Tronina, H. G. Jones and M. M. Chaves. 2006. Exploring thermal imaging variables for the detection of stress responses in grapevine under different irrigation regimes. **Physiologia Plantarum** 127: 507–518.

- Idso, S.B., R.D. Jackson and J. L. Hatfield. 1981. Normalizing the stress-degree-day for environmental variability. *Agricultural Meteorology* 24: 45-55.
- Jackson, R.D. 1982. Canopy temperature and crop water stress. pp. 43-85. In D.I. Hillel. (ed.) *Advances in Irrigation*. USA: Academic Press.
- Jackson, R.D., S.B. Idso and R.J. Reginato. 1981. Canopy temperature as a crop water stress indicator. *Water Resources Research* 17: 1133-1138.
- Jackson, R. D., P. K. William and J. C. Bhaskar. 1988. A Reexamination of the Crop Water Stress Index. *Irrigation Science* 9: 309-317.
- Jones, H. G. 1999. Use of infrared thermometry for estimation of stomatal conductance as a possible aid to irrigation scheduling. *Journal of Agricultural and Forest Meteorology* 95: 139-149.
- Li, Y., H. Bryan and T. Olczek. 1998. Optimized irrigation schedule to conserve water and reduce nutrient leaching for tomato grown on calcareous gravelly soil. *Proc. Fla. State Hort. Soc.* 111: 58-61.
- Metin, S. S., A. Yazar and S. Eker. 2005. Effect of drip irrigation regimes on yield and quality of field grown bell pepper. *Agricultural Water Management* 81(1-2): 115-131.
- Pinmanee, S., W. Spreer and J. Müller. 2010. Development of a low-cost tensiometer driven irrigation control unit and evaluation of its suitability for irrigation of lychee trees in the uplands of Northern Thailand in a participatory approach. *Journal of Horticulture and Forestry* 3(7): 226-230.
- Pinter, P.J. and R.J. Reginato. 1982. A thermal infrared technique for monitoring cotton water stress and scheduling irrigations. *Transaction of the ASAE* 25: 1651-1655.
- Shull, H. and A.S. Dylla. 1980. Irrigation automation with a soil moisture sensing system. *Transactions of the ASAE* 23(3): 649-652.
- Slatyer, R. O. 1969. Physiological Significance of Internal Water Relations to Crop Yield. *Agronomy Faculty Publications Paper* 186: 53-83.
- Smajstrla, A.G and S.J. Locascio. 1994. Irrigation cutback effects on drip-irrigated tomato yields. *Proc. Fla. State Hort. Soc.* 107: 113-118.

- Smart, D.R., L. Taryn and D.M. Eissenstat. 2004. Root survivorship under deficit and dryland farming conditions for 1103P and 101-14MGT rootstocks in the Oakville region of the Napa Valley. *Cited by* Grant, M. O., L. Tronina, H. G. Jones and M. M. Chaves. 2006. Exploring thermal imaging variables for the detection of stress responses in grapevine under different irrigation regimes. *Physiologia Plantarum* 127: 507–518.
- Tanner, C B. 1963. Plant temperatures. *Agronomy Journal* 55: 210-219.
- Theodore, J.K. R., D. K. Matthew and E. L. Rachel. 2005. Triangle tests indicate that irrigation timing affects fresh cabbage sensory quality. *Food Quality and Preference* 15: 471–476.
- Wanjura, D.F., D.R. Upchurch and J.R. Mahan. 1995. Control of irrigation scheduling using temperature - time thresholds. *Trans. ASAE* 38(2): 403-409.
- Yuan, G., Y. Luo and D. Tang. 2004. Evaluation of a crop water stress index for detecting water stress in winter wheat in the North China Plain. *Agricultural Water Management* 64: 29–40.
- Zia, S., K. Sopher and J. Muller. 2010. Effect of Wind and Radiation on the Crop Water Stress Index Derived by Infrared Thermography. *International Journal of Agricultural and Biological Engineering* 4(3).

ภาคผนวก

ภาคผนวก ก

ตารางผนวก



**ตารางผนวก 1 ค่าความชื้นดินที่วัดได้จาก Tensiometer ก่อนให้น้ำ ช่วงก่อนเกิดวิกฤต และ หลัง  
วิกฤตของการทดลองที่ 1**

	ชุดคินเนอร์ห้อง 1	ชุดคินเนอร์ห้อง 2	คินตะกอนน้ำหนา เชิงช้อน 1	คินตะกอนน้ำหนาเชิงช้อน 2	ชุดคินคอบปุ๋ย 1	ชุดคินคอบปุ๋ย 2
9/1/2011	1	18	60	62	24	30
10/1/2011	0	9	48	57	1	6
11/1/2011	0	11	3	1	4	12
12/1/2011	3	11	2	2	1	11
13/1/2011	5	9	3	2	2	12
14/1/2011	2	9	1	1	0	8
15/1/2011	4	9	3	3	3	6
16/1/2011	4	9	20	20	5	7
17/1/2011	5	9	4	4	4	5
18/1/2011	5	8	24	22	4	5
19/1/2011	6	9	5	5	7	6
20/1/2011	8	11	28	24	0	4
21/1/2011	6	9	3	5	0	7
22/1/2011	6	11	32	28	3	9
23/1/2011	4	9	11	8	1	6
24/1/2011	7	9	1	3	0	8
25/1/2011	8	11	1	2	0	14
26/1/2011	6	9	12	3	0	8
27/1/2011	0	9	0	0	0	8
28/1/2011	0	12	18	16	0	14
29/1/2011	0	11	16	14	0	12
30/1/2011	0	10	21	12	3	11
31/1/2011	0	12	62	64	5	16
1/2/2011	0	10	9	11	1	11
2/2/2011	0	9	1	7	0	9
3/2/2011	0	11	21	40	0	4
4/2/2011	0	9	2	8	1	4
5/2/2011	0	10	6	31	1	4
6/2/2011	0	9	4	12	1	4
7/2/2011	0	10	1	1	5	4
8/2/2011	0	9	13	48	11	57
9/2/2011	0	11	4	7	0	11
10/2/2011	0	19	1	21	0	9
11/2/2011	6	11	1	9	0	8

**ตารางผนวก 1 (ต่อ)**

วัน/เดือน/ปี	คิดคืนน้ำเพียง 1		คิดคืนน้ำเพียง 2		คิดจะก่อนน้ำ เพียงช้อน 1	คิดจะก่อนน้ำ เพียงช้อน 2	คิดคืนดอยปุบ	คิดคืนดอยปุบ 2
	ชุดคืนน้ำเพียง 1	ชุดคืนน้ำเพียง 2	ชุดคืนดอยปุบ 1	ชุดคืนดอยปุบ 2				
12/2/2011	13	9	0	7	3	11		
13/2/2011	19	11	0	9	0	8		
14/2/2011	29	9	0	31	0	11		
15/2/2011	38	11	14	12	0	9		
16/2/2011	42	13	55	13	0	14		
17/2/2011	46	17	70	10	0	7		
18/2/2011	51	21	72	4	6	8		
19/2/2011		26	76	22	11	23		
20/2/2011		33	78	9	1	11		
21/2/2011		47	71	5	0	9		
22/2/2011		60	75	22	1	11		
23/2/2011		69	78	5	0	9		
24/2/2011		74	78	9	0	13		
25/2/2011		77	68	8	0	8		
26/2/2011		79		7	0	8		
27/2/2011				2	2	10		
28/2/2011				9	0	10		
1/3/2011				32	1	10		
2/3/2011				62	7	15		
3/3/2011				70	21	38		
4/3/2011				78	34	51		
5/3/2011				80	55	69		
6/3/2011				64	64	76		
7/3/2011				71	71	82		
8/3/2011				80	72	83		
9/3/2011				83	77	85		
10/3/2011				83	79	85		
11/3/2011				85	80	85		
12/3/2011				85	83	85		

**ตารางผนวก 2 ค่าความชื้นดินที่วัดได้จาก Tensiometer (เซ็นติบาร์) ก่อนให้น้ำของการทดลองที่ 2**

วัน/เดือน/ปี	ชุดคิน้ำพอง		คินตะกอนสำน้ำเรืองช้อน		ชุดคินดอยบุญ	
	ควบคุม	วิกฤติ	ควบคุม	วิกฤติ	ควบคุม	วิกฤติ
29/3/2554	10	11	3	19	6	0
30/3/2554	12	10	8	18	8	3
31/3/2554	12	0	1	6	8	3
1/4/2554	11	0	1	3	8	3
2/4/2554	10	0	2	4	9	3
3/4/2554	11	0	2	3	9	3
4/4/2554	11	0	1	2	8	2
5/4/2554	11	0	2	3	8	2
6/4/2554	8	0	2	5	10	4
7/4/2554	10	0	0	2	7	0
8/4/2554	9	0	1	8	7	1
9/4/2554	12	0	7	27	9	2
10/4/2554	9	0	3	10	10	4
11/4/2554	8	0	5	26	11	6
12/4/2554	9	0	3	18	8	1
13/4/2554	11	0	34	29	11	6
14/4/2554	9	0	2	3	6	0
15/4/2554	10	0	6	9	11	4
16/4/2554	10	0	37	38	11	6
17/4/2554	11	0	19	29	9	1
18/4/2554	11	0	14	19	11	4
19/4/2554	9	0	20	30	11	14
20/4/2554	10	10	8	10	8	1
21/4/2554	9	0	12	12	9	1
22/4/2554	9	0	17	15	16	18
23/4/2554	11	0	24	19	12	1
24/4/2554	11	0	9	9	5	1
25/4/2554	13	0	34	26	8	4

**ตารางผนวก 2 (ต่อ)**

วัน/เดือน/ปี	ชุดคืนน้ำพอง		คินตะกอนล้ำน้ำชิงช้อน		ชุดคืนคอขุ่น	
	ควบคุม	วิกฤติ	ควบคุม	วิกฤติ	ควบคุม	วิกฤติ
26/4/2554	9	0	6	3	9	1
27/4/2554	10	0	34	28	8	4
28/4/2554	9	1	6	8	8	1
29/4/2554	14	0	25	33	9	3
30/4/2554	12	0	10	12	9	3
1/5/2554	11	0	5	48	6	5
2/5/2554	11	6	3	65	7	10
3/5/2554	11	6	4	72	9	20
4/5/2554	8	10	4	75	8	38
5/5/2554	8	12	4	79	7	41
6/5/2554	8	15	7	80	10	60
7/5/2554	11	22	8	80	9	65
8/5/2554	10	30	1	80	6	69
9/5/2554	12	41	18	86	12	70
10/5/2554	10	48	2	86	9	72
11/5/2554	10	56	3	90	9	75

**ตารางผนวก 3 ข้อมูลภูมิอากาศรายวันจาก data logger ที่ติดตั้งไว้ของกราฟคลองที่ 1**

วัน/เดือน/ปี	පෝර්ເශේන ක්වෘත්ස්ම්පත්			ອຸນຫະກົມ(°C)			ຄວາມເຮົາ ສມ(ນ./ ວິນາທີ)
	ສູງສຸດ	ຕໍ່ສຸດ	ເນັດຍື	ສູງສຸດ	ຕໍ່ສຸດ	ເນັດຍື	
8/1/54	91.00	54.00	79.71	30.10	20.80	25.78	0.03
9/1/54	91.00	47.00	75.71	33.90	21.60	27.53	0.01
10/1/54	87.00	72.00	80.00	24.70	21.90	24.85	0.04
11/1/54	93.00	69.00	84.42	26.30	20.90	24.08	0.18
12/1/54	92.00	42.00	76.17	31.80	19.10	24.81	0.11
13/1/54	91.00	40.00	75.92	31.90	17.90	24.30	0.11
14/1/54	91.00	38.00	74.46	32.80	16.80	24.21	0.07
15/1/54	91.00	38.00	74.21	32.80	17.10	24.48	0.05
16/1/54	90.00	42.00	72.21	31.10	17.60	24.34	0.14
17/1/54	88.00	47.00	71.08	29.10	17.60	23.78	0.13
18/1/54	90.00	48.00	76.33	30.40	16.60	23.27	0.07
19/1/54	91.00	42.00	74.75	32.40	17.30	24.44	0.07
20/1/54	90.00	34.00	72.00	34.30	16.60	24.58	0.05
21/1/54	87.00	41.00	63.56	33.20	18.30	25.73	0.04
22/1/54	91.00	42.00	73.13	32.90	16.70	23.38	0.08
23/1/54	91.00	40.00	71.71	34.50	16.10	23.46	0.07
24/1/54	89.00	32.00	69.04	35.00	16.50	23.92	0.07
25/1/54	90.00	32.00	70.79	35.00	16.50	24.02	0.07
26/1/54	90.00	34.00	70.96	38.60	17.80	25.17	0.01
27/1/54	90.00	40.00	71.88	36.00	17.90	24.61	0.01
28/1/54	90.00	29.00	67.46	37.60	17.70	25.55	0.04
29/1/54	87.00	42.00	68.63	35.00	18.10	25.03	0.01
30/1/54	91.00	42.00	69.21	34.20	18.70	24.99	0.00
31/1/54	90.00	51.00	72.29	28.50	19.50	23.33	0.05
1/2/54	90.00	45.00	69.97	32.80	19.40	24.57	0.10
2/2/54	91.00	38.00	71.50	34.80	17.50	23.83	0.05
3/2/54	91.00	36.00	70.46	35.00	17.20	23.93	0.08
4/2/54	90.00	31.00	68.92	36.00	16.80	24.20	0.04
5/2/54	90.00	35.00	68.67	35.30	16.70	24.03	0.04

**ตารางผนวก 3 (ต่อ)**

วัน/เดือน/ปี	เปอร์เซ็นความชื้นสัมพัทธ์			อุณหภูมิ(°C)			ความเร็ว ลม(ม./ วินาที)
	สูงสุด	ต่ำสุด	เฉลี่ย	สูงสุด	ต่ำสุด	เฉลี่ย	
7/2/54	88.00	29.00	64.75	35.00	15.10	23.00	0.08
8/2/54	87.00	30.00	65.04	34.80	14.90	22.97	0.07
9/2/54	89.00	24.00	63.29	36.20	14.70	23.29	0.03
10/2/54	87.00	28.00	63.79	38.90	15.00	24.10	0.00
11/2/54	82.00	34.00	66.00	36.30	16.90	24.25	0.01
12/2/54	90.00	34.00	64.63	38.00	16.50	25.28	0.00
13/2/54	83.00	36.00	62.13	37.80	15.80	25.15	0.03
14/2/54	83.00	36.00	65.96	35.40	17.50	24.43	0.07
15/2/54	86.00	32.00	61.92	36.70	15.00	24.13	0.05
16/2/54	85.00	29.00	61.33	38.80	14.50	24.42	0.00
17/2/54	81.00	32.00	63.33	38.60	16.90	24.96	0.00
18/2/54	92.00	52.00	75.08	32.00	19.60	24.27	0.00
19/2/54	93.00	32.00	66.67	39.70	18.70	26.58	0.01
20/2/54	80.00	27.00	58.50	41.70	17.90	27.20	0.00
21/2/54	80.00	27.00	59.50	38.10	18.10	26.20	0.00
22/2/54	83.00	27.00	61.75	38.60	18.80	26.51	0.10
23/2/54	84.00	28.00	60.75	38.00	17.20	26.13	0.03
24/2/54	83.00	31.00	60.75	37.70	17.70	26.11	0.04
25/2/54	83.00	29.00	60.71	38.60	17.80	26.36	0.03
26/2/54	80.00	32.00	61.96	38.10	21.00	27.36	0.01
27/2/54	85.00	43.00	68.42	37.90	21.70	27.93	0.08
28/2/54	89.00	38.00	68.63	37.10	22.10	28.13	0.01
1/3/54	83.00	28.00	60.08	40.90	20.40	29.43	0.01
2/3/54	84.00	44.00	65.92	35.80	22.60	28.59	0.09
3/3/54	90.00	39.00	68.96	38.00	21.90	28.04	0.12
4/3/54	91.00	46.00	69.46	36.70	20.60	28.13	0.08
5/3/54	90.00	32.00	67.21	38.80	22.10	29.03	0.05
6/3/54	88.00	28.00	61.88	40.00	21.40	28.85	0.05

ตารางผนวก 3 (ต่อ)

วัน/เดือน/ปี	เบอร์เชื่อมความร้อนสัมพัทธ์			อุณหภูมิ(°C)			ความเร็ว ลม(ม./ วินาที)
	สูงสุด	ต่ำสุด	เฉลี่ย	สูงสุด	ต่ำสุด	เฉลี่ย	
7/3/54	80.00	24.00	58.88	40.10	21.20	28.65	0.00
8/3/54	82.00	27.00	58.38	39.40	20.90	29.40	0.08
9/3/54	87.00	39.00	66.00	37.40	20.90	28.05	0.03
10/3/54	89.00	39.00	69.79	37.70	23.00	27.83	0.08
11/3/54	93.00	61.00	82.46	31.60	22.20	25.21	0.00

**ตารางผนวก 4 ข้อมูลน้ำระเหยจากภาควัดการคายระเหยรายวันของการทดลองที่ 1**

วัน/เดือน/ปี	การระเหย ของน้ำ(มม.)	ET <sub>0</sub> (ลิตร/ม <sup>2</sup> )	วัน/เดือน/ปี	การระเหย ของน้ำ(มม.)	ET <sub>0</sub> (ลิตร/ม <sup>2</sup> )
3/2/2011	3.37	4.89	22/2/2011	4.01	3.23
4/2/2011	3.66	5.05	23/2/2011	3.82	3.15
5/2/2011	3.18	4.95	24/2/2011	4.07	3.12
6/2/2011	3.9	4.87	25/2/2011	4.68	3.19
7/2/2011	4.04	4.97	26/2/2011	2.11	2.99
8/2/2011	3.83	4.96	27/2/2011	3.75	3.16
9/2/2011	4.2	5.13	28/2/2011	3.72	2.95
10/2/2011	3.92	5.58	1/3/2011	3.18	3.39
11/2/2011	3.35	5.04	2/3/2011	4.59	2.85
12/2/2011	3.9	5.40	3/3/2011	4.58	3.19
13/2/2011	3.94	5.42	4/3/2011	3.93	3.12
14/2/2011	4.73	2.95	5/3/2011	3.37	3.19
15/2/2011	4.01	3.13	6/3/2011	4.86	3.27
16/2/2011	4.24	3.31	7/3/2011	4.48	3.14
17/2/2011	4	3.22	8/3/2011	4.83	3.22
18/2/2011	1.96	2.54	9/3/2011	4.23	3.05
19/2/2011	4.57	3.39	10/3/2011	4.16	3.04
20/2/2011	4.71	3.50	11/3/2011	4.09	2.39
21/2/2011	4.92	3.05	12/3/2011	3.3	2.28

ตารางผนวก 5 ข้อมูลภูมิอากาศรายวันจาก data logger ที่ติดตั้งไว้ข่องการทดลองที่ 2

วัน/เดือน/ ปี	පෝර්เซ็นควաณ්‍යින්ස්මාජ්			อุณหภูมิ (°C)			ความเร็ว ลม (เมตร/ วินาที)
	สูงสุด	ต่ำสุด	เฉลี่ย	สูงสุด	ต่ำสุด	เฉลี่ย	
28/3/54	77.00	59.00	69.38	25.20	19.90	21.92	0.00
29/3/54	72.00	66.00	70.67	21.50	19.10	19.81	0.00
30/3/54	81.00	46.00	60.60	30.30	19.60	25.05	0.08
31/3/54	90.00	41.00	67.71	33.80	16.30	24.30	0.14
1/4/54	91.00	35.00	67.21	36.50	18.90	26.93	0.03
2/4/54	87.00	34.00	65.79	38.20	21.80	28.61	0.01
3/4/54	89.00	34.00	66.63	38.30	20.30	27.89	0.07
4/4/54	87.00	27.00	62.21	41.10	20.00	28.24	0.03
5/4/54	83.00	40.00	60.92	39.10	21.00	29.42	0.08
6/4/54	90.00	42.00	71.63	38.60	22.90	28.15	0.10
7/4/54	94.00	44.00	72.46	38.30	22.40	29.16	0.04
8/4/54	91.00	43.00	68.13	39.60	23.90	30.55	0.14
9/4/54	92.00	55.00	76.67	36.50	22.50	27.75	0.05
10/4/54	90.00	55.00	74.46	34.70	22.30	28.32	0.05
11/4/54	93.00	47.00	72.67	38.90	23.20	28.65	0.04
12/4/54	91.00	48.00	73.92	36.60	21.80	28.04	0.01
13/4/54	93.00	72.00	85.38	27.90	21.50	24.03	0.04
14/4/54	96.00	56.00	82.63	34.60	20.90	25.73	0.08
15/4/54	94.00	53.00	74.38	37.20	22.10	28.22	0.05
16/4/54	92.00	40.00	69.58	39.70	21.80	29.51	0.04
17/4/54	92.00	47.00	71.08	38.20	23.20	28.58	0.06
18/4/54	90.00	35.00	67.46	41.50	21.50	30.00	0.01
19/4/54	93.00	64.00	81.54	34.40	23.00	26.69	0.04
20/4/54	95.00	51.00	77.58	35.80	22.00	27.90	0.03
21/4/54	87.00	48.00	72.00	37.30	22.50	28.56	0.05
22/4/54	83.00	44.00	62.27	38.90	27.20	33.24	0.02
23/4/54	89.00	54.00	75.13	36.20	23.60	28.43	0.04
24/4/54	94.00	51.00	77.46	36.70	22.40	27.79	0.03

**ตารางผนวก 5 (ต่อ)**

วัน/เดือน/ ปี	ปรอต์เซ็นควัฒน์สัมพัทธ์				อุณหภูมิ (°C)		ความเร็ว ลม (เมตร/ วินาที)
	สูงสุด	ต่ำสุด	เฉลี่ย	สูงสุด	ต่ำสุด	เฉลี่ย	
25/4/54	93.00	66.00	81.00	31.70	21.90	26.05	0.03
26/4/54	94.00	53.00	82.29	36.90	22.00	26.37	0.03
27/4/54	96.00	56.00	80.25	36.10	23.20	27.38	0.01
28/4/54	94.00	64.00	83.58	34.30	23.10	26.75	0.00
29/4/54	95.00	52.00	79.08	36.10	23.50	28.14	0.05
30/4/54	96.00	49.00	79.25	38.90	23.40	28.20	0.06
1/5/54	97.00	59.00	83.33	35.50	23.30	27.63	0.00
2/5/54	97.00	61.00	83.42	38.00	23.90	27.92	0.01
3/5/54	97.00	53.00	83.25	39.50	23.60	28.12	0.03
4/5/54	98.00	55.00	82.79	39.30	23.20	28.44	0.01
5/5/54	97.00	54.00	84.38	37.80	22.90	27.30	0.00
6/5/54	97.00	57.00	84.21	36.60	23.10	27.30	0.03
7/5/54	98.00	52.00	82.08	39.60	23.20	28.50	0.01
8/5/54	97.00	54.00	78.58	37.40	22.90	28.94	0.04
9/5/54	96.00	71.00	86.42	32.20	25.00	27.48	0.00
10/5/54	98.00	69.00	88.33	35.00	23.30	26.84	0.01
11/5/54	98.00	51.00	76.92	38.60	22.80	29.39	0.04

ตารางผนวก 6 ข้อมูลน้ำรั่วจากถ้าค่าวัดการคายระบายน้ำวันของการทดลองที่ 2

วัน/เดือน/ปี	evaporation(mm)	ETo(ลิตร/m <sup>2</sup> )	วัน/เดือน/ปี	evaporation(mm)	ETo(ลิตร/m <sup>2</sup> )
28/3/54	2.1	1.70	20/4/54	5.1	2.97
29/3/54	2.45	1.28	21/4/54	5.1	3.09
30/3/54	1.87	2.32	22/4/54	5.6	2.88
31/3/54	2.54	2.94	23/4/54	3.42	2.91
1/4/54	5.42	3.04	24/4/54	3.63	3.05
2/4/54	4.1	3.06	25/4/54	2.35	2.48
3/4/54	4.23	3.22	26/4/54	3.6	3.12
4/4/54	4.77	3.45	27/4/54	2.6	2.93
5/4/54	3.2	3.28	28/4/54	2.41	2.73
6/4/54	3.81	3.23	29/4/54	1.73	2.93
7/4/54	4	3.22	30/4/54	4.31	3.33
8/4/54	4.5	3.36	1/5/54	1.66	2.89
9/4/54	5.3	3.04	2/5/54	3.42	3.22
10/4/54	3.6	2.82	3/5/54	2.84	3.45
11/4/54	1.5	3.25	4/5/54	3.8	3.46
12/4/54	3.8	3.03	5/5/54	3.7	3.22
13/4/54	3.1	2.01	6/5/54	2.7	3.06
14/4/54	1.2	2.92	7/5/54	2.4	3.48
15/4/54	2.74	3.15	8/5/54	2.7	3.18
16/4/54	3.8	3.41	9/5/54	3.5	2.30
17/4/54	4.4	3.15	10/5/54	2.5	2.88
18/4/54	5.8	3.60	11/5/54	3.07	3.34
19/4/54	5.31	2.76			

**ตารางผนวก 7 Analysis Two Factors Factorial** ของตัวชี้นีความเครียดนำ้ของพืชแล้วลี่ของวันที่ 1-3  
ของการทดลองที่ 1 โดยมีการให้น้ำ (ควบคุม, วิกฤติ) เป็นปัจจัย A และมีความ  
แตกต่างของชุดคิน (ชุดคินนำ้พอง ดินตะกอนนำ้พาเชิงซ้อน และ ชุดคินดอยบุญ) เป็น  
ปัจจัย B

SOURCE	df	SS	MS	F	F.05	F.01
Treatment	5	0.1285	0.0257	22.67	4.39	8.75
A	1	0.0096	0.0096	8.50	5.99	13.75
B	2	0.1086	0.0543	47.92	5.14	10.92
AXB	2	0.0102	0.0051	4.51	5.14	10.92
ERROR	6	0.0068	0.0011			
TOTAL	11	0.1353	0.0123			

Grand Mean = 0.3933 CV = 8.5589

**ตารางผนวก 8 Analysis Two Factors Factorial** ของตัวชี้นีความเครียดนำ้ของพืชแล้วลี่ของวันที่ 4-6  
ของการทดลอง โดยมีการให้น้ำ (ควบคุม, วิกฤติ) เป็นปัจจัย A และมีความแตกต่าง  
ของชุดคิน (ชุดคินนำ้พอง ดินตะกอนนำ้พาเชิงซ้อน และ ชุดคินดอยบุญ) เป็นปัจจัย  
B

SOURCE	df	SS	MS	F	F.05	F.01
Treatment	5	0.1809	0.0362	1.67	4.39	8.75
A	1	0.1045	0.1045	4.81	5.99	13.75
B	2	0.0049	0.0024	0.11	5.14	10.92
AXB	2	0.0715	0.0357	1.65	5.14	10.92
ERROR	6	0.1303	0.0217			
TOTAL	11	0.3112	0.0283			

Grand Mean = 0.4317 CV = 34.1388

**ตารางผนวก 9 Analysis Two Factors Factorial** ของค่านิความเครียดน้ำของพืชเฉลี่ยของวันที่ 7-9  
ของการทดลองที่ 1 โดยมีการให้น้ำ (ควบคุม, วิกฤติ) เป็นปัจจัย A และมีความ  
แตกต่างของชุดคิน (ชุดคินน้ำพอง ดินตะกอนน้ำพาน้ำแข็งซ้อน และ ชุดคินดอยบุย) เป็น  
ปัจจัย B

SOURCE	df	SS	MS	F	F.05	F.01
Treatment	5	0.2685	0.0537	2.82	4.39	8.75
A	1	0.2465	0.2465	12.94	5.99	13.75
B	2	0.0019	0.0009	0.05	5.14	10.92
AXB	2	0.0201	0.0100	0.53	5.14	10.92
ERROR	6	0.1143	0.0190			
TOTAL	11	0.3828	0.0348			

Grand Mean = 0.5817 CV = 23.7287

**ตารางผนวก 10 Analysis Two Factors Factorial** ของค่านิความเครียดน้ำของพืชเฉลี่ยของวันที่ 10-  
12 ของการทดลองที่ 1 โดยมีการให้น้ำ (ควบคุม, วิกฤติ) เป็นปัจจัย A และมีความ  
แตกต่างของชุดคิน (ชุดคินน้ำพอง ดินตะกอนน้ำพาน้ำแข็งซ้อน และ ชุดคินดอยบุย) เป็น  
ปัจจัย B

SOURCE	df	SS	MS	F	F.05	F.01
Treatment	5	0.4473	0.0895	9.20	4.39	8.75
A	1	0.3997	0.3997	41.10	5.99	13.75
B	2	0.0170	0.0085	0.87	5.14	10.92
AXB	2	0.0307	0.0153	1.58	5.14	10.92
ERROR	6	0.0584	0.0097			
TOTAL	11	0.5057	0.0460			

Grand Mean = 0.6308 CV = 15.6326

**ตารางผนวก 11 Analysis Two Factors Factorial** ของความนำของปากใบของพืชเฉลี่ยของวันที่ 1-3  
ของการทดลองที่ 1 โดยมีการให้น้ำ (ควบคุม, วิกฤติ) เป็นปัจจัย A และมีความ  
แตกต่างของชุดคิน (ชุดคินน้ำพอง ดินตะกอนน้ำพาน้ำแข็งซ้อน และ ชุดคินดอยบุย) เป็น  
ปัจจัย B

SOURCE	df	SS	MS	F	F.05	F.01
Treatment	5	27762.7000	5552.5400	0.76	4.39	8.75
A	1	85.3871	85.3871	0.01	5.99	13.75
B	2	27327.3456	13663.6728	1.88	5.14	10.92
AXB	2	349.9673	174.9837	0.02	5.14	10.92
ERROR	6	43622.4512	7270.4085			
TOTAL	11	71385.1512	6489.5592			

Grand Mean = 508.2275 CV = 16.7773

**ตารางผนวก 12 Analysis Two Factors Factorial** ของความนำของปากใบของพืชเฉลี่ยของวันที่ 4-6  
ของการทดลองที่ 1 โดยมีการให้น้ำ (ควบคุม, วิกฤติ) เป็นปัจจัย A และมีความ  
แตกต่างของชุดคิน (ชุดคินน้ำพอง ดินตะกอนน้ำพาน้ำแข็งซ้อน และ ชุดคินดอยบุย) เป็น  
ปัจจัย B

SOURCE	df	SS	MS	F	F.05	F.01
Treatment	5	67862.8273	13572.5655	1.65	4.39	8.75
A	1	21289.9737	21289.9737	2.60	5.99	13.75
B	2	20940.4576	10470.2288	1.28	5.14	10.92
AXB	2	25632.3960	12816.1980	1.56	5.14	10.92
ERROR	6	49208.7226	8201.4538			
TOTAL	11	117071.5500	10642.8682			

Grand Mean = 476.8692 CV = 18.9909

**ตารางผนวก 13 Analysis Two Factors Factorial** ของความนำของปากใบของพืชเฉลี่ยของวันที่ 7-9  
ของการทดลองที่ 1 โดยมีการให้น้ำ (ควบคุม, วิกฤติ) เป็นปัจจัย A และมีความ  
แตกต่างของชุดคิน (ชุดคินน้ำพอง ดินตะกอนน้ำพาราเซิงซ้อน และ ชุดคินดอยปุ่ย) เป็น  
ปัจจัย B

SOURCE	df	SS	MS	F	F.05	F.01
Treatment	5	289832.9737	57966.5947	3.88	4.39	8.75
A	1	56523.6704	56523.6704	3.79	5.99	13.75
B	2	214691.4445	107345.7222	7.19	5.14	10.92
AXB	2	18617.8588	9308.9294	0.62	5.14	10.92
ERROR	6	89533.9359	14922.3226			
TOTAL	11	379366.9095	34487.9009			

Grand Mean = 516.2150 CV = 23.6640

**ตารางผนวก 14 Analysis Two Factors Factorial** ของความนำของปากใบของพืชเฉลี่ยของวันที่ 10-  
12 ของการทดลองที่ 1 โดยมีการให้น้ำ (ควบคุม, วิกฤติ) เป็นปัจจัย A และมีความ  
แตกต่างของชุดคิน (ชุดคินน้ำพอง ดินตะกอนน้ำพาราเซิงซ้อน และ ชุดคินดอยปุ่ย) เป็น  
ปัจจัย B

SOURCE	df	SS	MS	F	F.05	F.01
Treatment	5	325166.4156	65033.2831	1.40	4.39	8.75
A	1	72477.0132	72477.0132	1.56	5.99	13.75
B	2	236926.6940	118463.3470	2.55	5.14	10.92
AXB	2	15762.7084	7881.3542	0.17	5.14	10.92
ERROR	6	278222.4765	46370.4127			
TOTAL	11	603388.8921	54853.5356			

Grand Mean = 425.8192 CV = 50.5703

**ตารางผนวก 15 Analysis Two Factors Factorial** ของคัชณีความเครียดน้ำของพืชเฉลี่ยของวันที่ 1-3  
ของการทดลองที่ 2 โดยมีการให้น้ำ (ควบคุม, วิกฤติ) เป็นปัจจัย A และมีความ  
แตกต่างของชุดคิน (ชุดคินน้ำพอง คินตะกอนน้ำพาเชิงซ้อน และ ชุดคินโดยปุ๋ย) เป็น  
ปัจจัย B

SOURCE	df	SS	MS	F	F.05	F.01
Treatment	5	0.0570	0.0114	1.55	4.39	8.75
A	1	0.0091	0.0091	1.24	5.99	13.75
B	2	0.0278	0.0139	1.89	5.14	10.92
AXB	2	0.0202	0.0101	1.37	5.14	10.92
ERROR	6	0.0441	0.0073			
TOTAL	11	0.1011	0.0092			

Grand Mean = 0.3892 CV = 22.0172

**ตารางผนวก 16 Analysis Two Factors Factorial** ของคัชณีความเครียดน้ำของพืชเฉลี่ยของวันที่ 4-6  
ของการทดลองที่ 2 โดยมีการให้น้ำ (ควบคุม, วิกฤติ) เป็นปัจจัย A และมีความ  
แตกต่างของชุดคิน (ชุดคินน้ำพอง คินตะกอนน้ำพาเชิงซ้อน และ ชุดคินโดยปุ๋ย)  
เป็นปัจจัย B

SOURCE	df	SS	MS	F	F.05	F.01
Treatment	5	0.0674	0.0135	1.16	4.39	8.75
A	1	0.0432	0.0432	3.72	5.99	13.75
B	2	0.0085	0.0043	0.37	5.14	10.92
AXB	2	0.0157	0.0078	0.67	5.14	10.92
ERROR	6	0.0697	0.0116			
TOTAL	11	0.1371	0.0125			

Grand Mean = 0.5467 CV = 19.7160

**ตารางผนวก 17 Analysis Two Factors Factorial** ของดัชนีความเครียดค่าน้ำของพืชเฉลี่ยของวันที่ 7-9  
ของการทดลองที่ 2 โดยมีการให้น้ำ (ควบคุม, วิกฤติ) เป็นปัจจัย A และมีความ  
แตกต่างของชุดคิน (ชุดคินน้ำพอง คินตะกอนน้ำพาเชิงช้อน และ ชุดคินคอขุ่น)  
เป็นปัจจัย B

SOURCE	df	SS	MS	F	F.05	F.01
Treatment	5	0.1440	0.0288	12.00	4.39	8.75
A	1	0.0320	0.0320	13.35	5.99	13.75
B	2	0.0435	0.0217	9.06	5.14	10.92
AXB	2	0.0685	0.0342	14.26	5.14	10.92
ERROR	6	0.0144	0.0024			
TOTAL	11	0.1584	0.0144			

Grand Mean = 0.7083 CV = 6.9162

**ตารางผนวก 18 Analysis Two Factors Factorial** ของความนำของปากใบของพืชเฉลี่ยของวันที่ 1-3  
ของการทดลองที่ 2 โดยมีการให้น้ำ (ควบคุม, วิกฤติ) เป็นปัจจัย A และมีความ  
แตกต่างของชุดคิน (ชุดคินน้ำพอง คินตะกอนน้ำพาเชิงช้อน และ ชุดคินคอขุ่น)  
เป็นปัจจัย B

SOURCE	df	SS	MS	F	F.05	F.01
Treatment	5	73879.7991	14775.9598	4.67	4.39	8.75
A	1	149.7426	149.7426	0.05	5.99	13.75
B	2	69616.1329	34808.0664	11.00	5.14	10.92
AXB	2	4113.9237	2056.9618	0.65	5.14	10.92
ERROR	6	18981.7742	3163.6290			
TOTAL	11	92861.5733	8441.9612			

Grand Mean = 380.8275 CV = 14.7695

**ตารางผนวก 19 Analysis Two Factors Factorial** ของความนำของปากใบของพืชแล้วของวันที่ 4-6  
ของการทดลองที่ 2 โดยมีการให้น้ำ (ควบคุม, วิกฤติ) เป็นปัจจัย A และมีความ  
แตกต่างของชุดคิน (ชุดคินน้ำพอง ดินตะกอนน้ำพาเชิงซ้อน และ ชุดคินดอยบุย)  
เป็นปัจจัย B

SOURCE	df	SS	MS	F	F.05	F.01
Treatment	5	56237.4238	11247.4848	2.58	4.39	8.75
A	1	6.0209	6.0209	0.00	5.99	13.75
B	2	54019.0828	27009.5414	6.20	5.14	10.92
AXB	2	2212.3201	1106.1601	0.25	5.14	10.92
ERROR	6	26143.0622	4357.1770			
TOTAL	11	82380.4860	7489.1351			

Grand Mean = 385.3950 CV = 17.1276

**ตารางผนวก 20 Analysis Two Factors Factorial** ของความนำของปากใบของพืชแล้วของวันที่ 7-9  
ของการทดลองที่ 2 โดยมีการให้น้ำ (ควบคุม, วิกฤติ) เป็นปัจจัย A และมีความ  
แตกต่างของชุดคิน (ชุดคินน้ำพอง ดินตะกอนน้ำพาเชิงซ้อน และ ชุดคินดอยบุย)  
เป็นปัจจัย B

SOURCE	df	SS	MS	F	F.05	F.01
Treatment	5	74125.8756	14825.1751	7.72	4.39	8.75
A	1	28149.4516	28149.4516	14.65	5.99	13.75
B	2	4635.7122	2317.8561	1.21	5.14	10.92
AXB	2	41340.7118	20670.3559	10.76	5.14	10.92
ERROR	6	11526.6954	1921.1159			
TOTAL	11	85652.5710	7786.5974			

Grand Mean = 341.7667 CV = 12.8247

ภาคผนวก ๖  
ประวัติผู้วิจัย

### ประวัติผู้วิจัย

ชื่อ-สกุล

นายวันวิสาข์ จันทิกา

เกิดเมื่อ

22 พฤษภาคม 2529

ประวัติการศึกษา

พ.ศ. 2547 นักยุมคีกษาตอนปลาย โรงเรียนนวมนินทรารชฎาพ จังหวัด เชียงใหม่

พ.ศ. 2551 ปริญญาตรี สาขาวิชาปฐพีศาสตร์ คณะผลิตกรรมการเกษตร มหาวิทยาลัยแม่โจ้ จังหวัดเชียงใหม่